

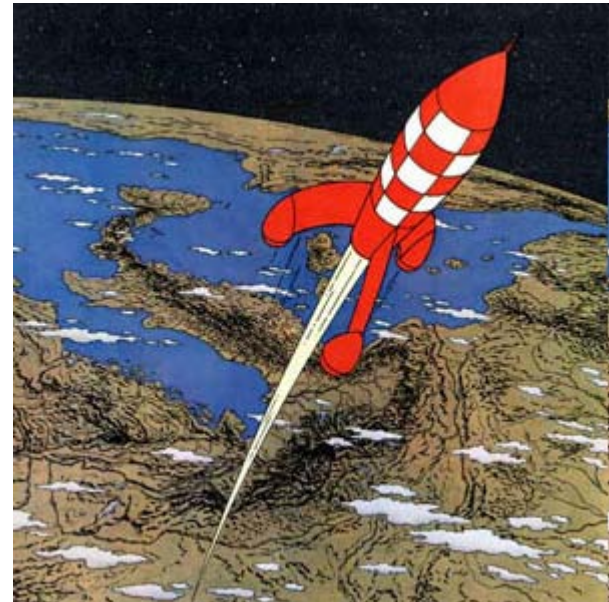


Nancy-Université



CRPG

Centre de Recherches
Pétrographiques
et Géochimiques

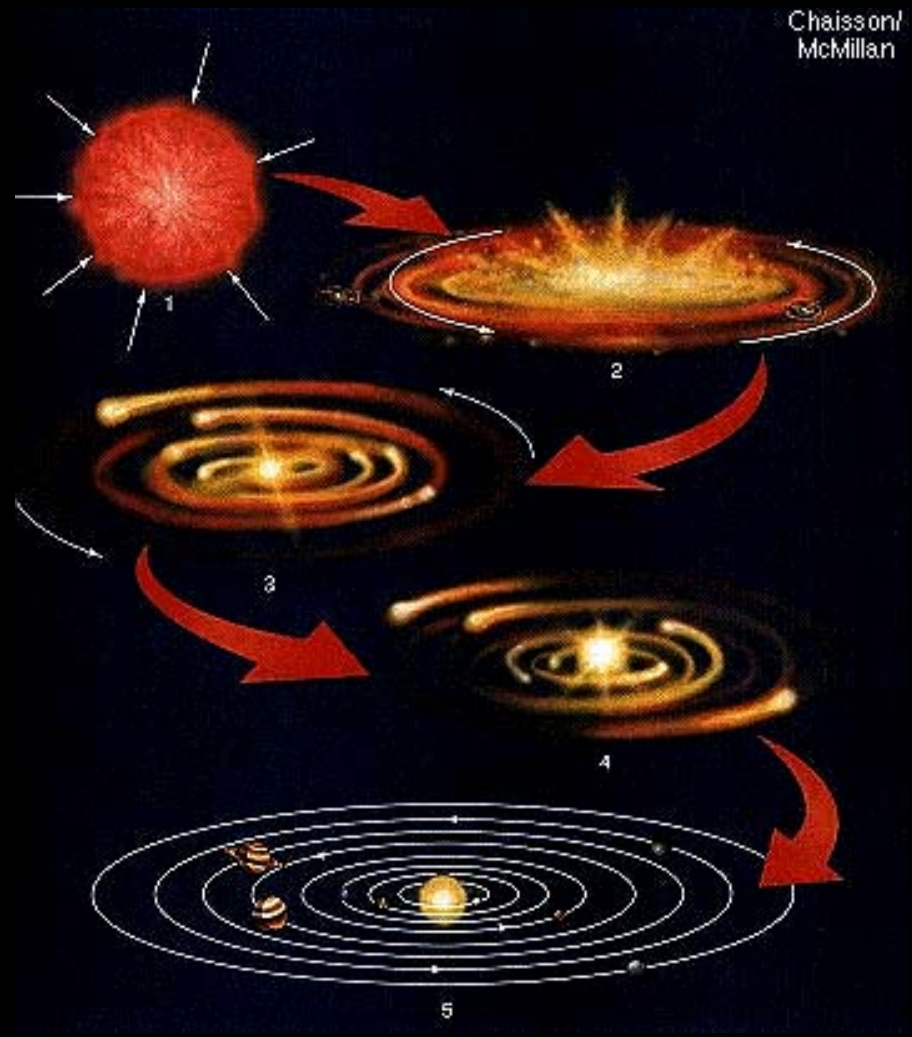


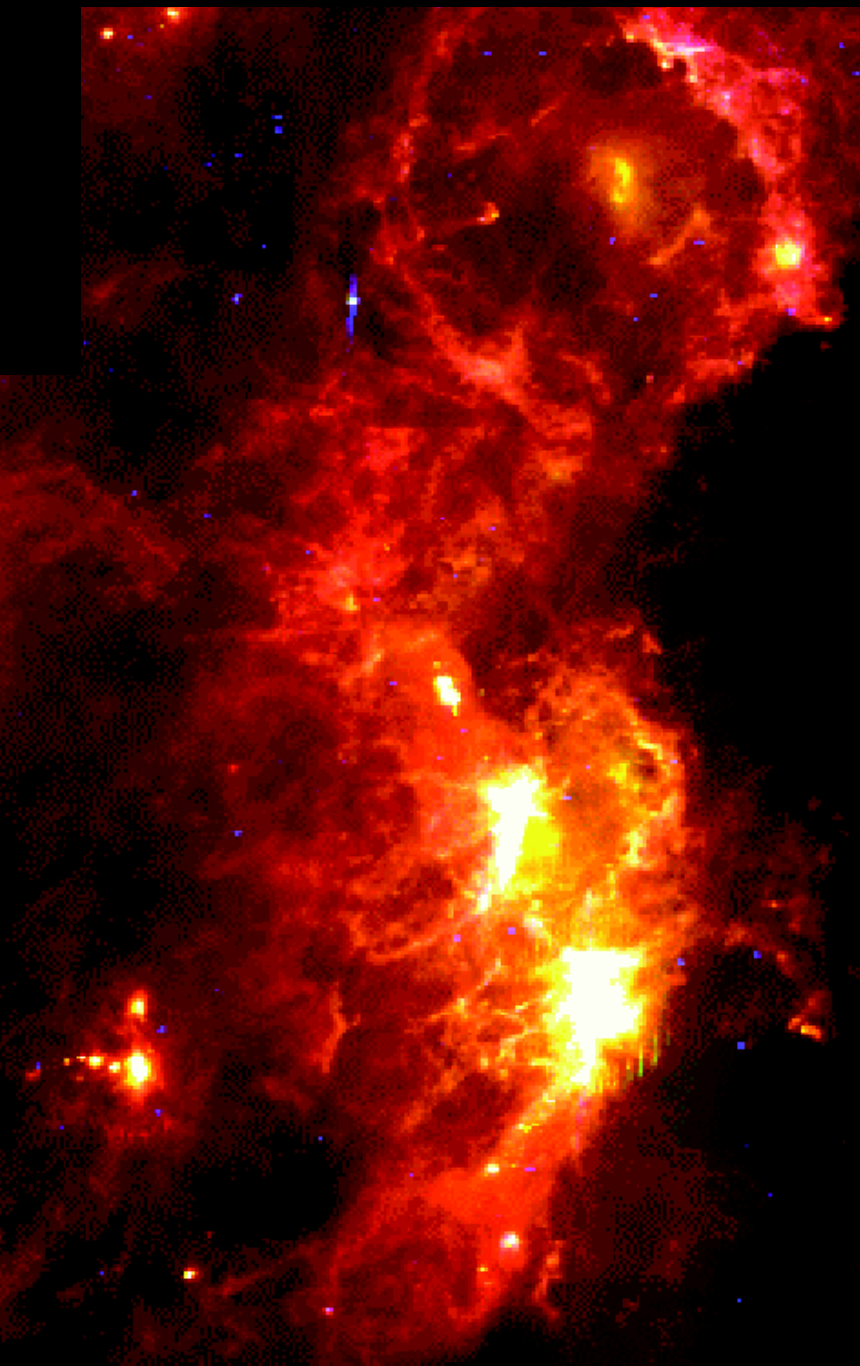
30 ans de missions
spatiales de retours
d'échantillons

Bernard Marty
bmarty@crpg.cnrs-nancy.fr

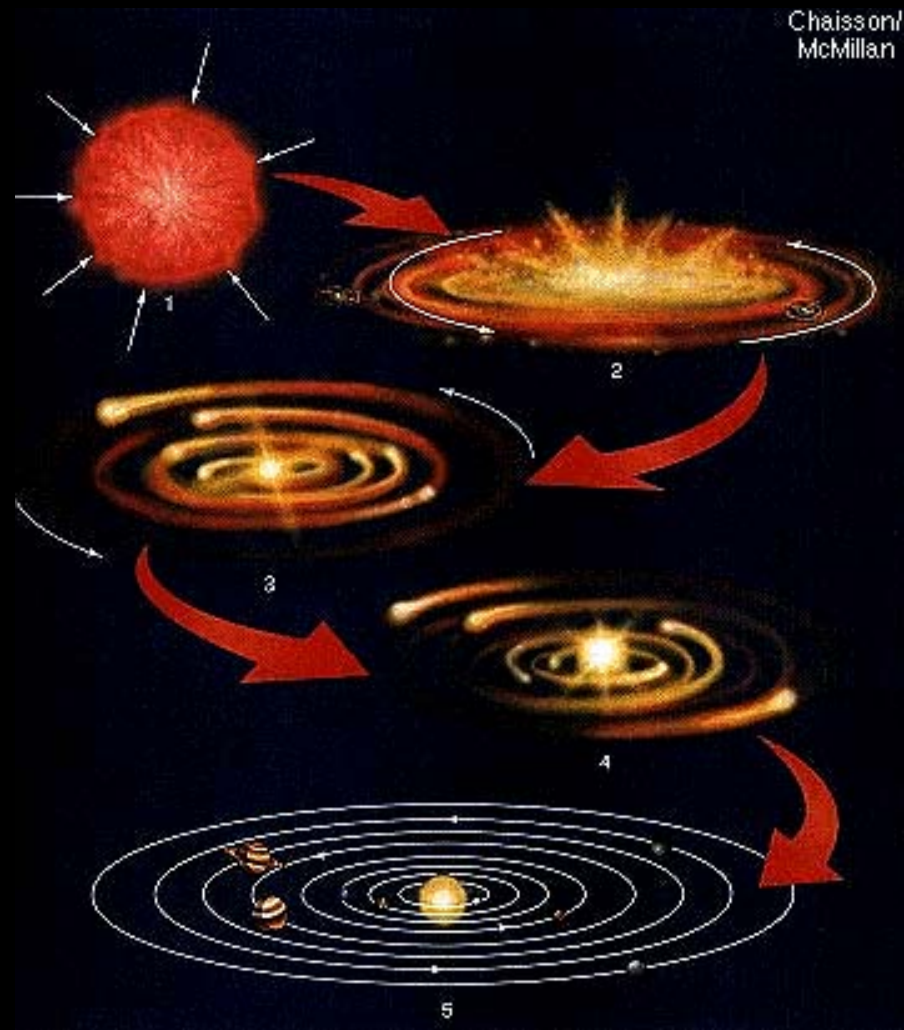


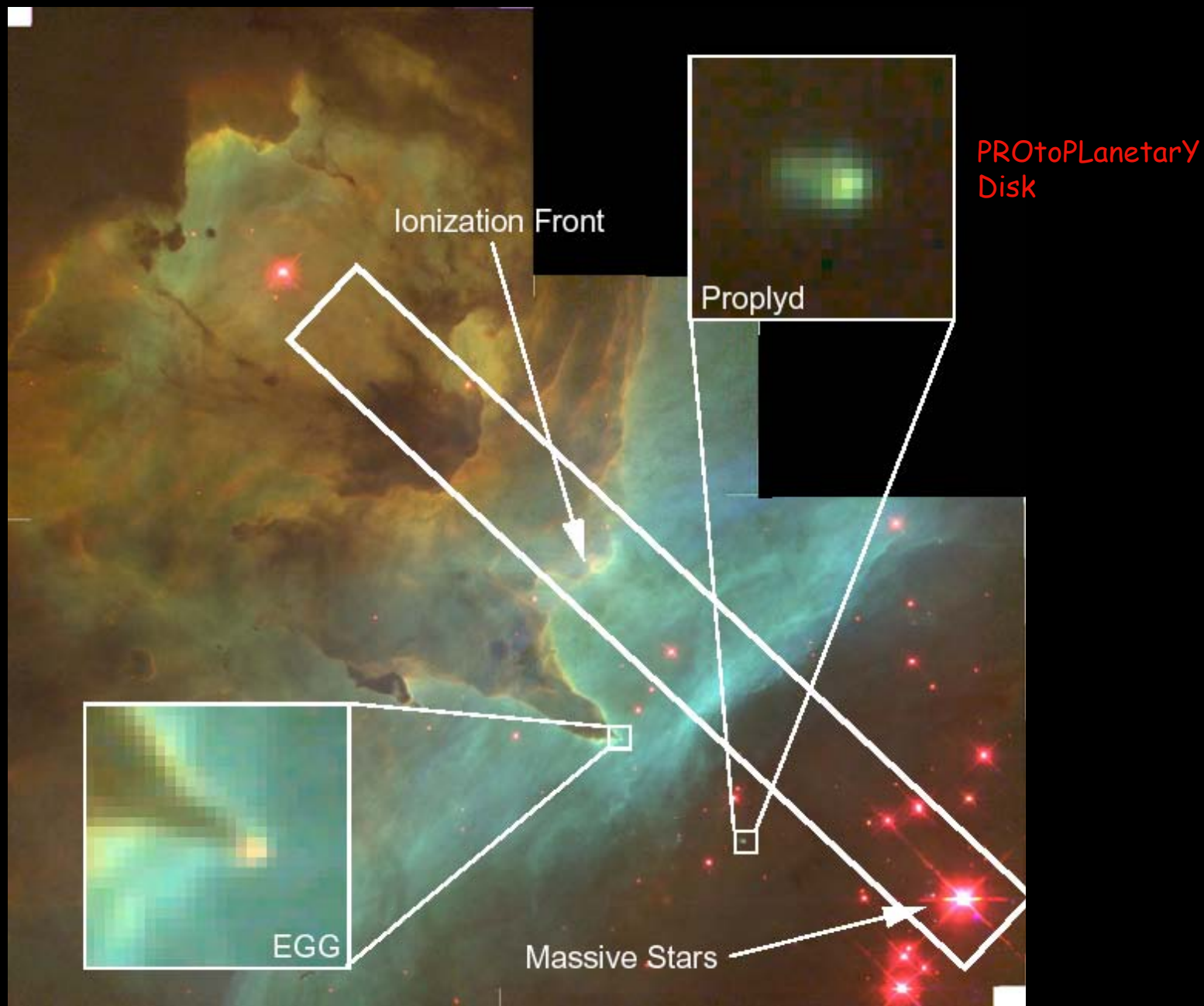
Hubble Space Telescope Orion Treasury Project Team





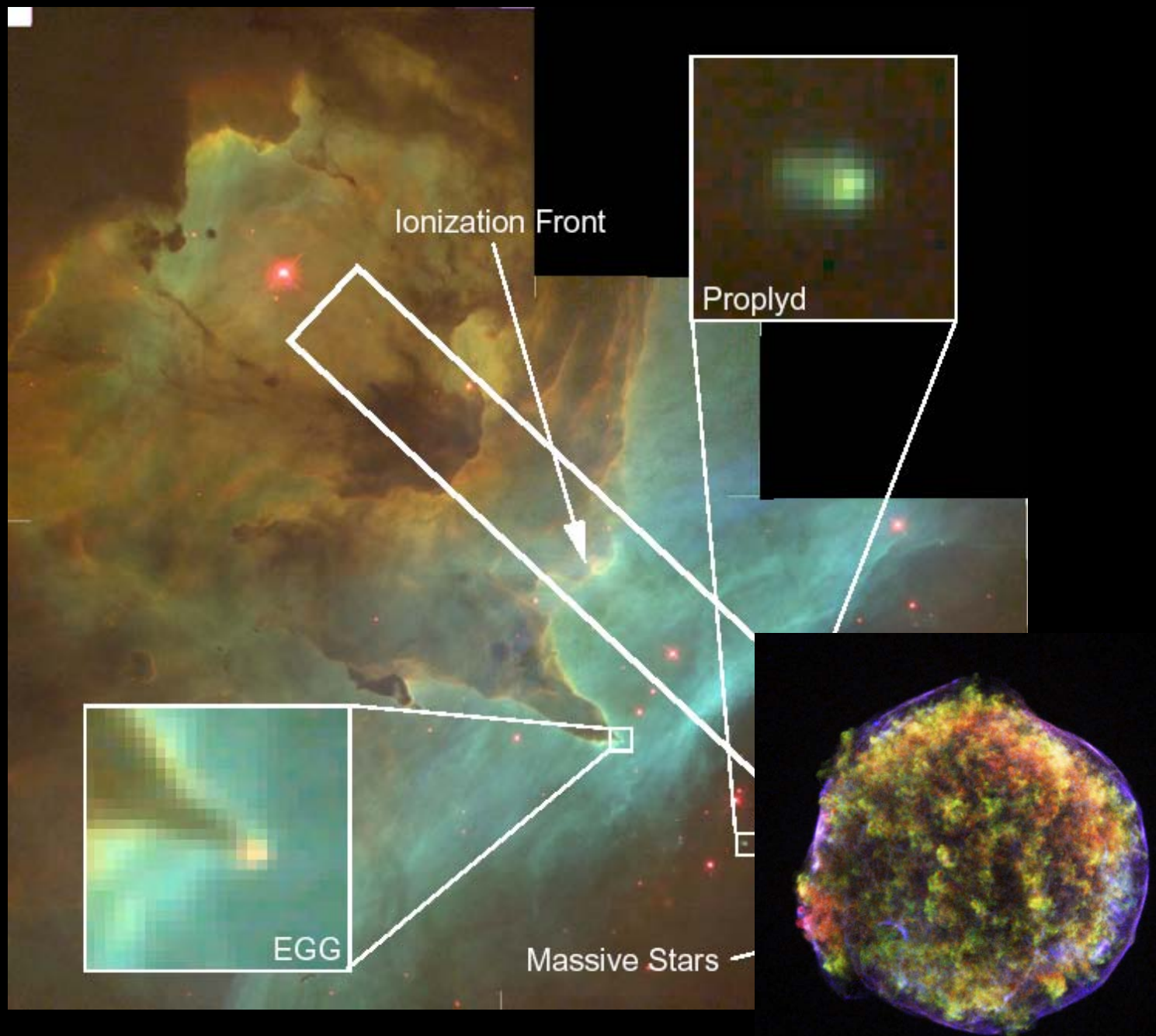
Orion





Evaporative Gaseous Globule

NGC 6357, Hester & Desch (2005)



NGC 6357, Hester & Desch (2005)

Les grandes questions sur la formation du système solaire et sur l'évolution des planètes

Origine de la matière

Processus de formation

Chronologie





Sonde ionique



ICP-MS



TIMS



Mars Science Laboratory, un robot qui analyse la surface de Mars



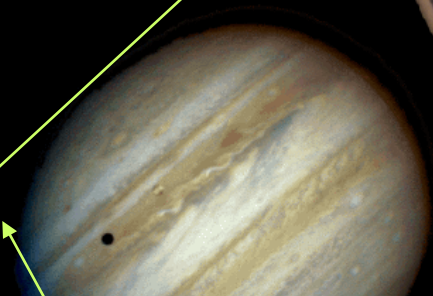
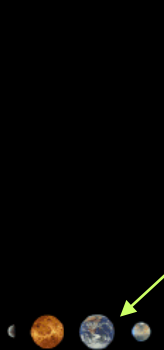
Genesis: Soleil



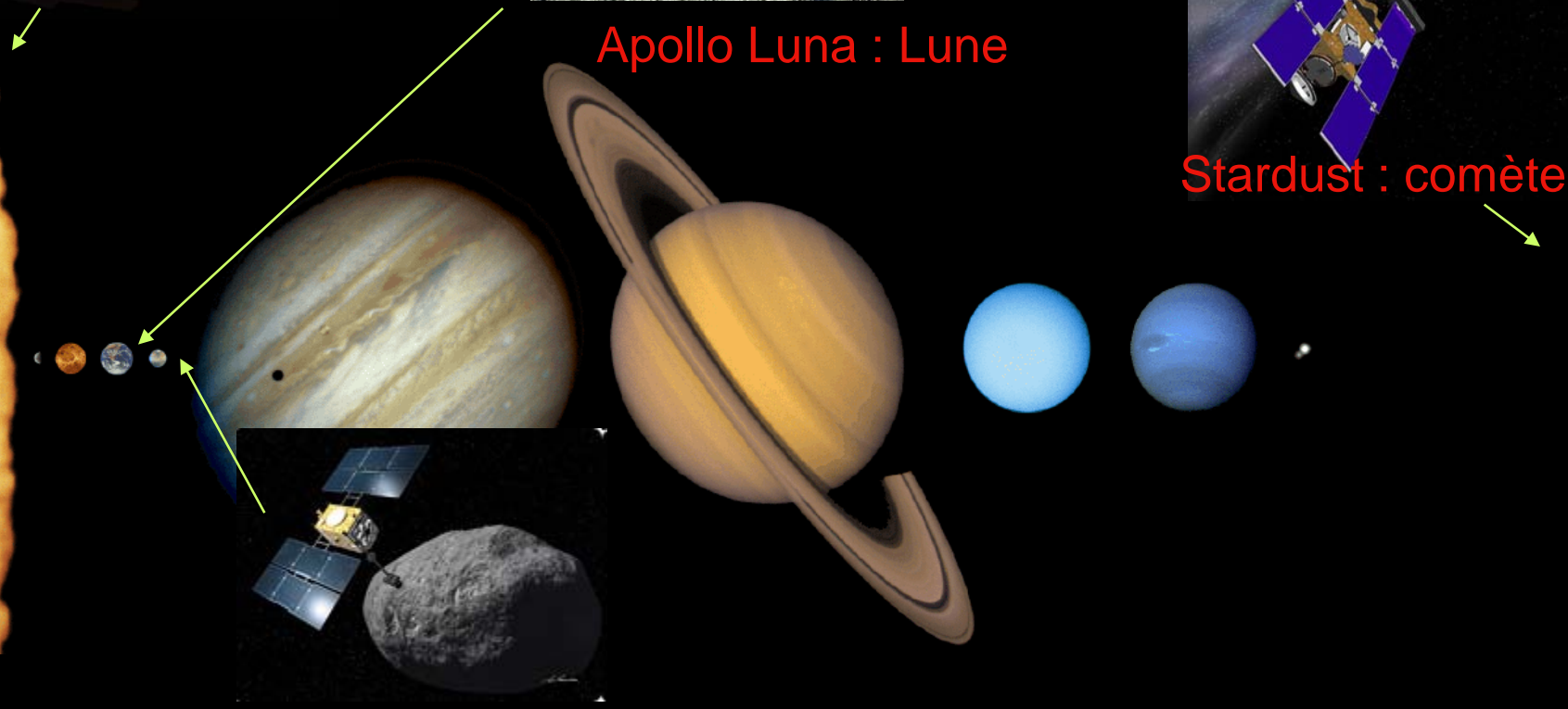
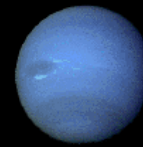
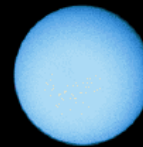
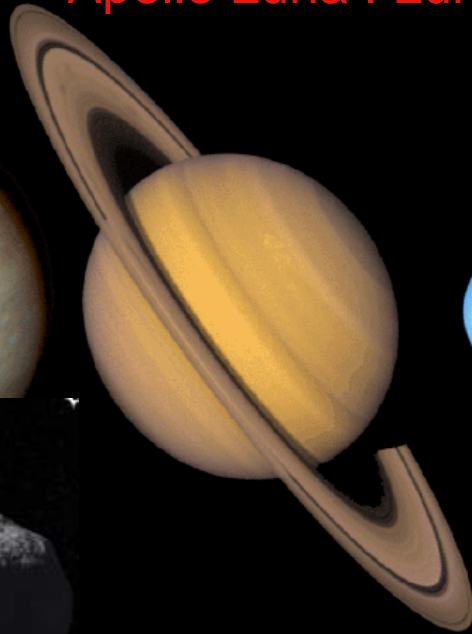
Apollo Luna : Lune



Stardust : comète

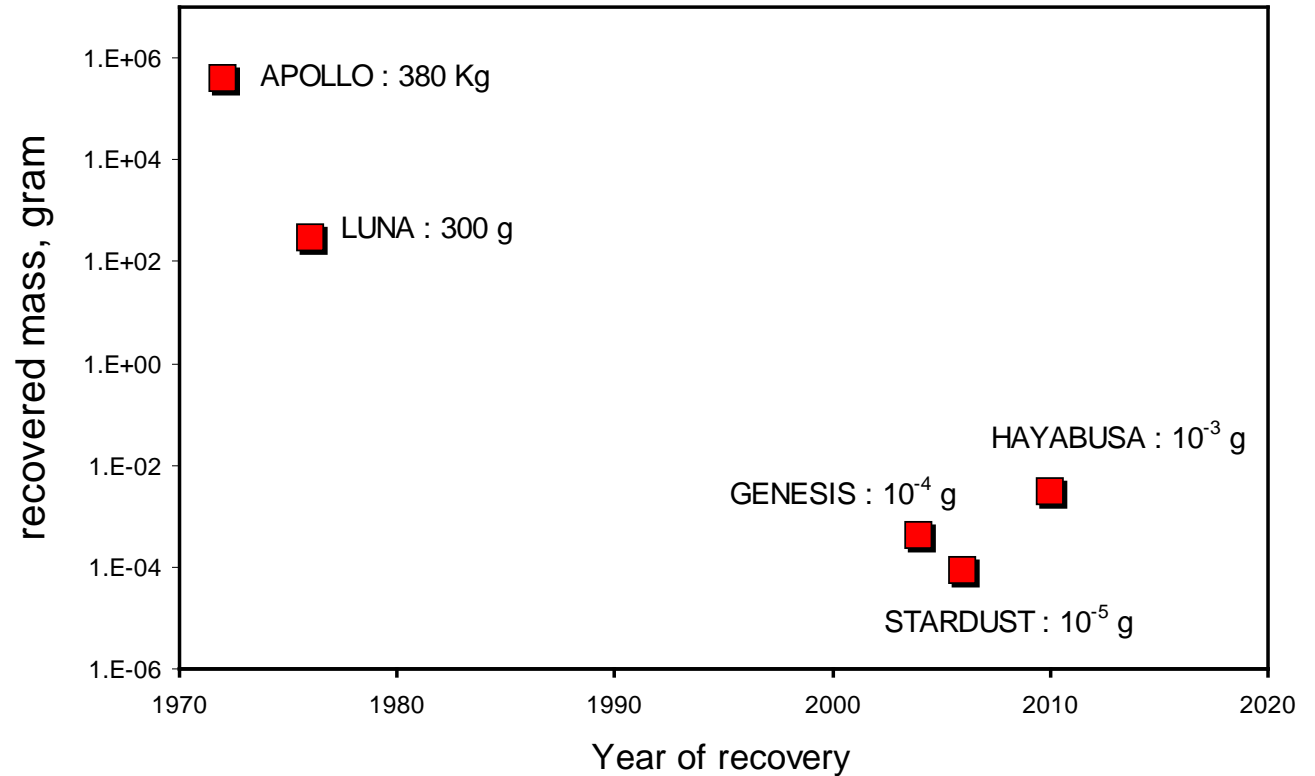


Hayabusa : astéroïde



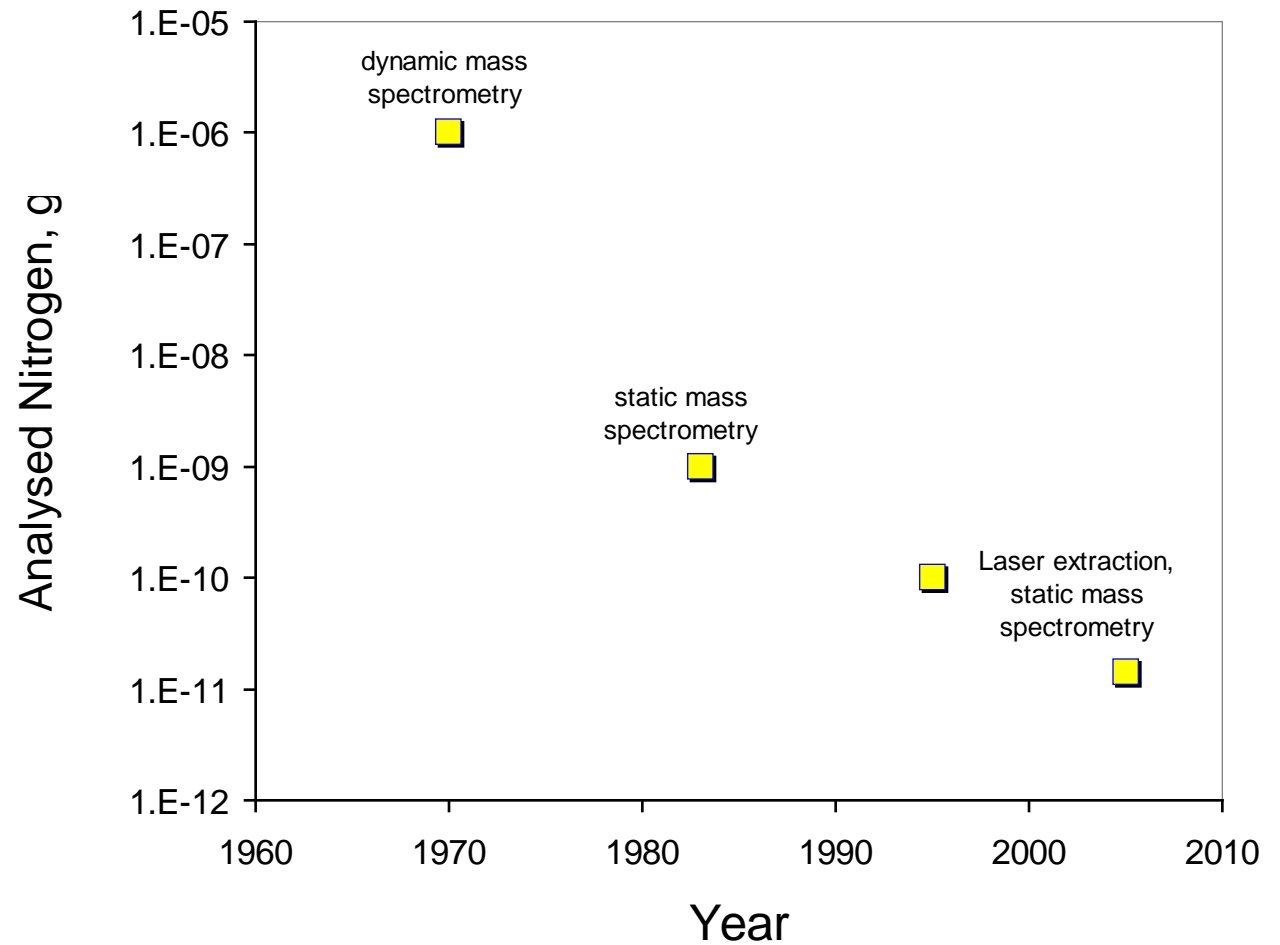


Quantité d'échantillons ET ramenées par les missions spatiales





Quantité d'azote nécessaire pour effectuer une analyse isotopique au niveau du pour mille



Composition du système solaire lointain : Stardust



NASA Program *Discovery*

PI : Don Brownlee

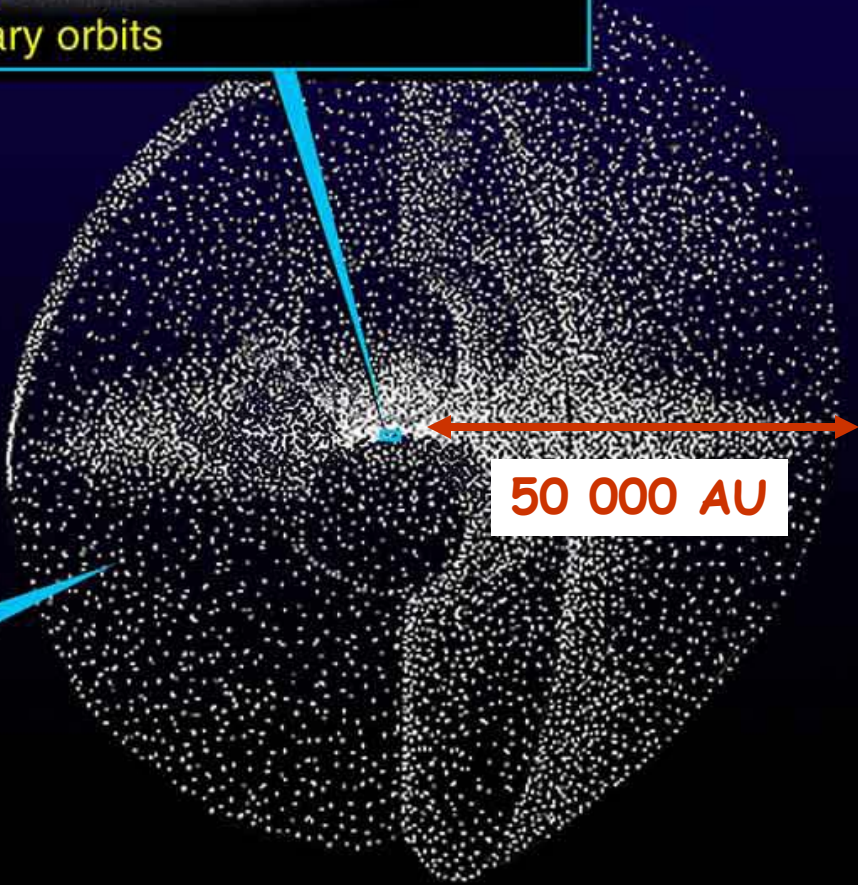
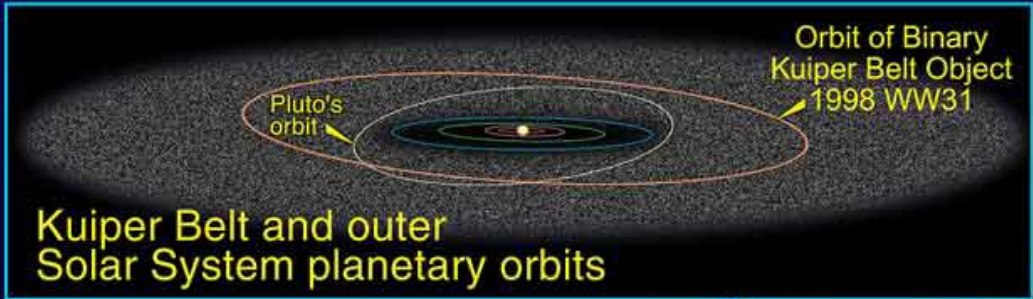
Questions

Matière cométaire solaire ou interstellaire ?

Avons nous déjà des échantillons de comète sur Terre (ex : Interplanetary Dust particles -IDPs) ?

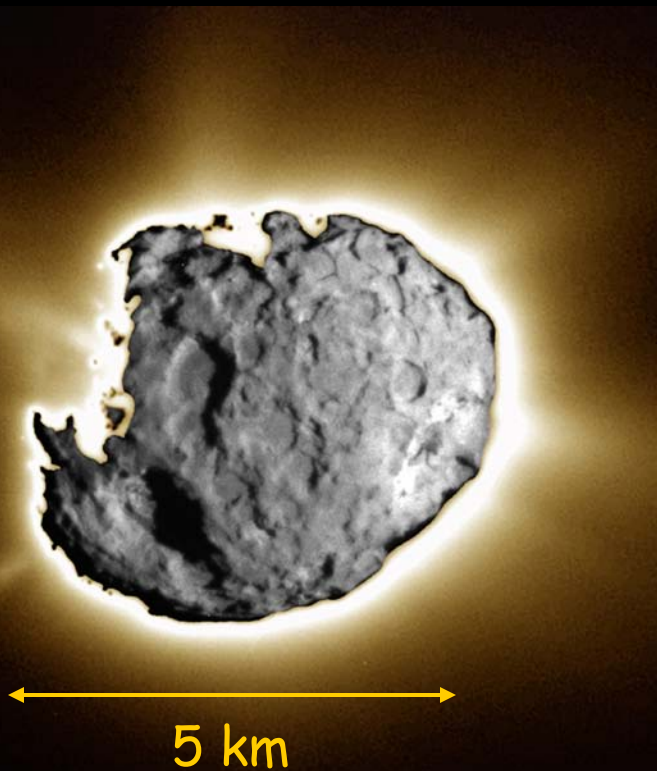
Relation entre comètes et atmosphères ?



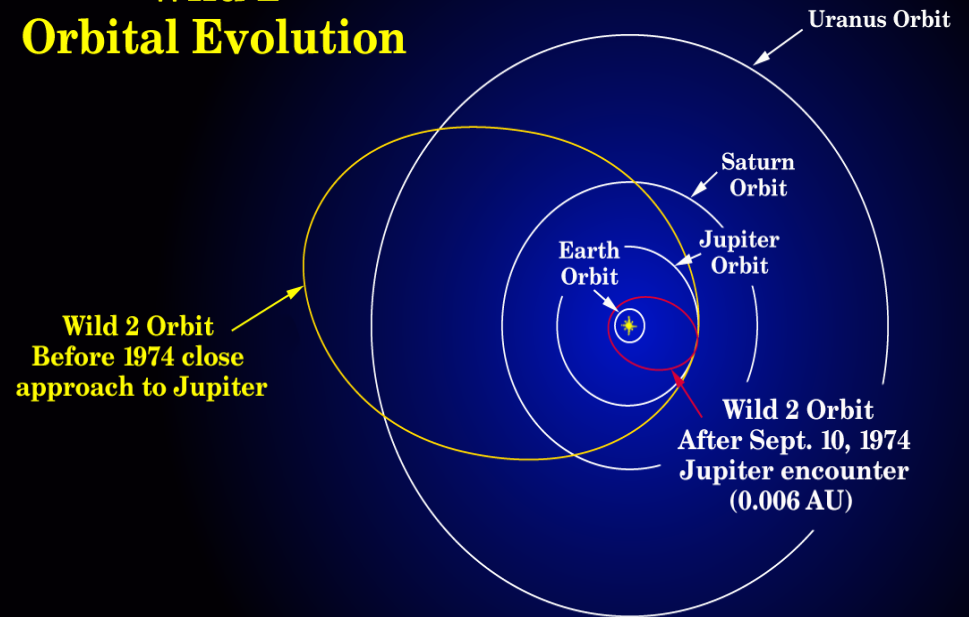


The Oort Cloud
(comprising many billions of comets)

Oort Cloud cutaway drawing adapted from Donald K. Yeoman's illustration (NASA, JPL)



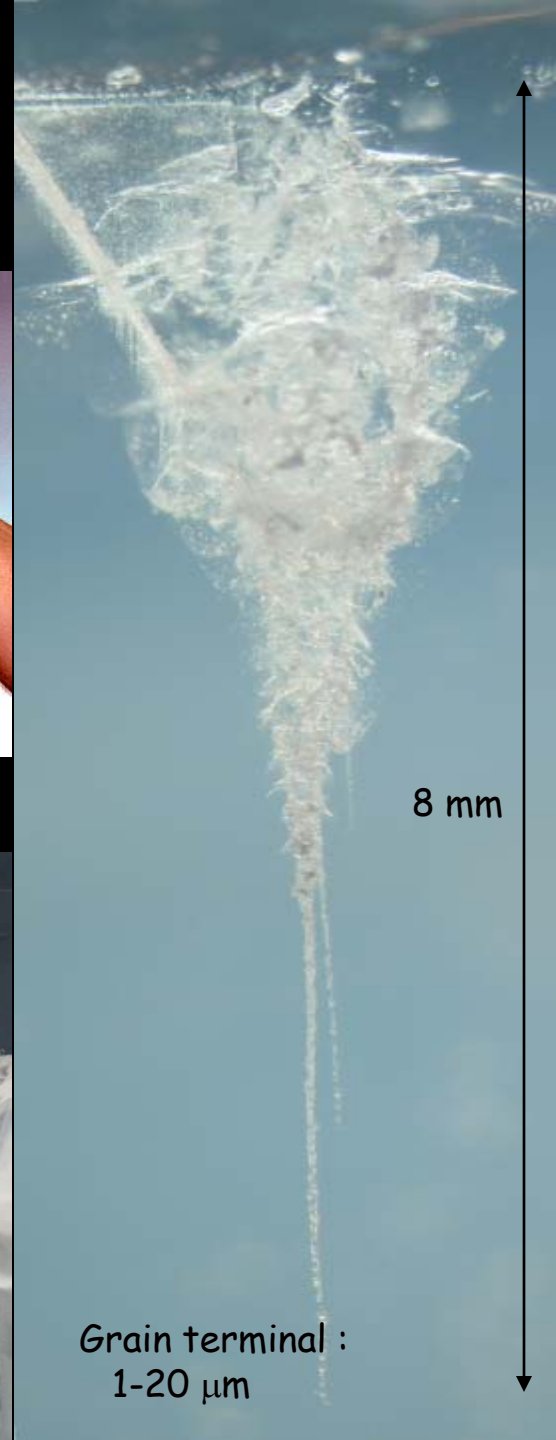
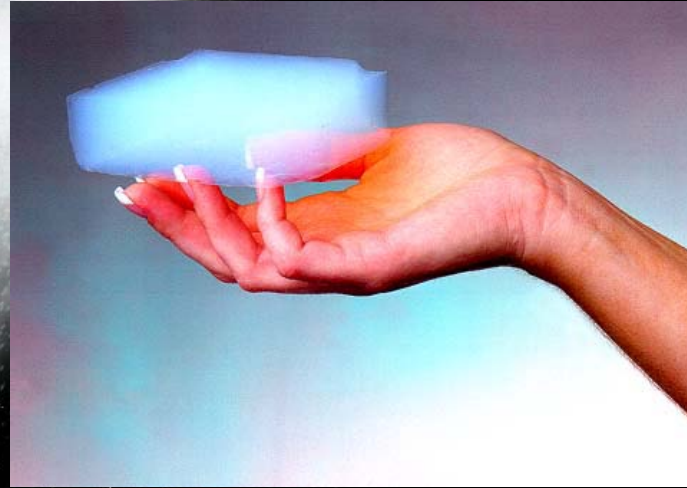
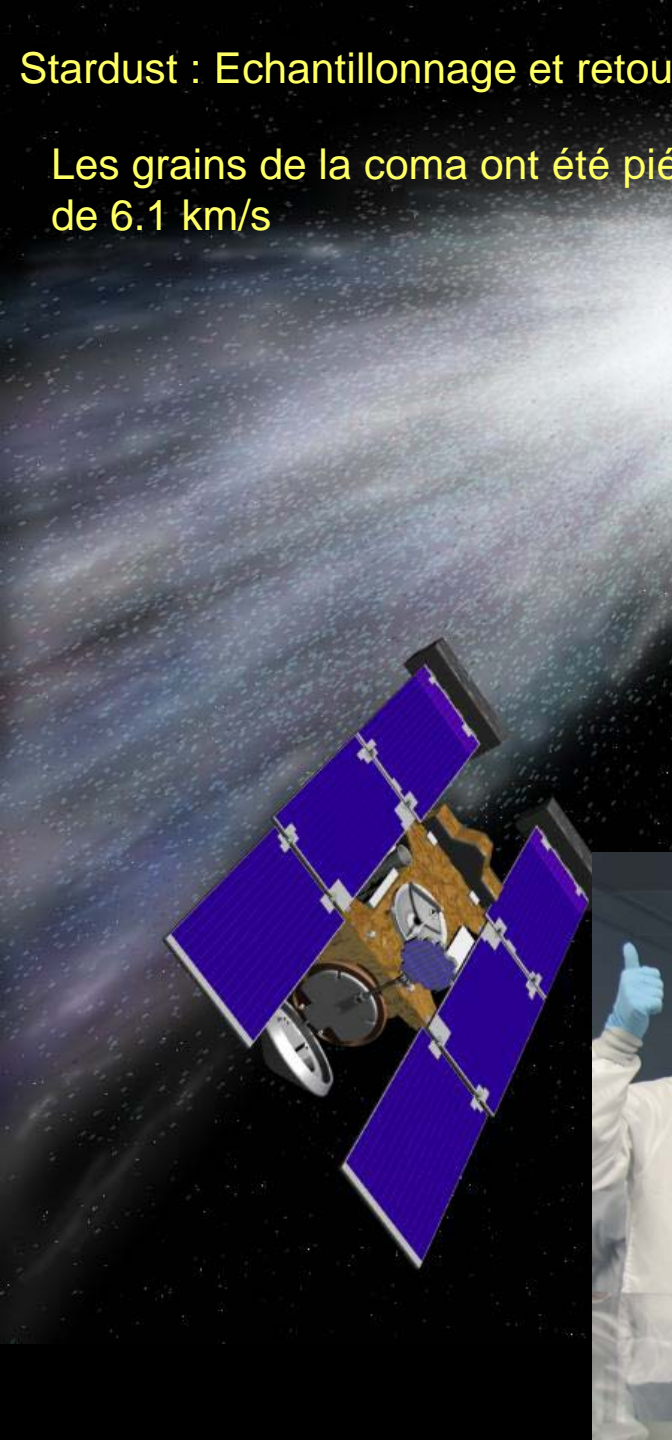
Wild 2 Orbital Evolution



Comète « fraîche » dans son orbite actuelle depuis seulement 30 ans
Proche de la Terre

Stardust : Echantillonnage et retour sur Terre le 15 Janvier 2006

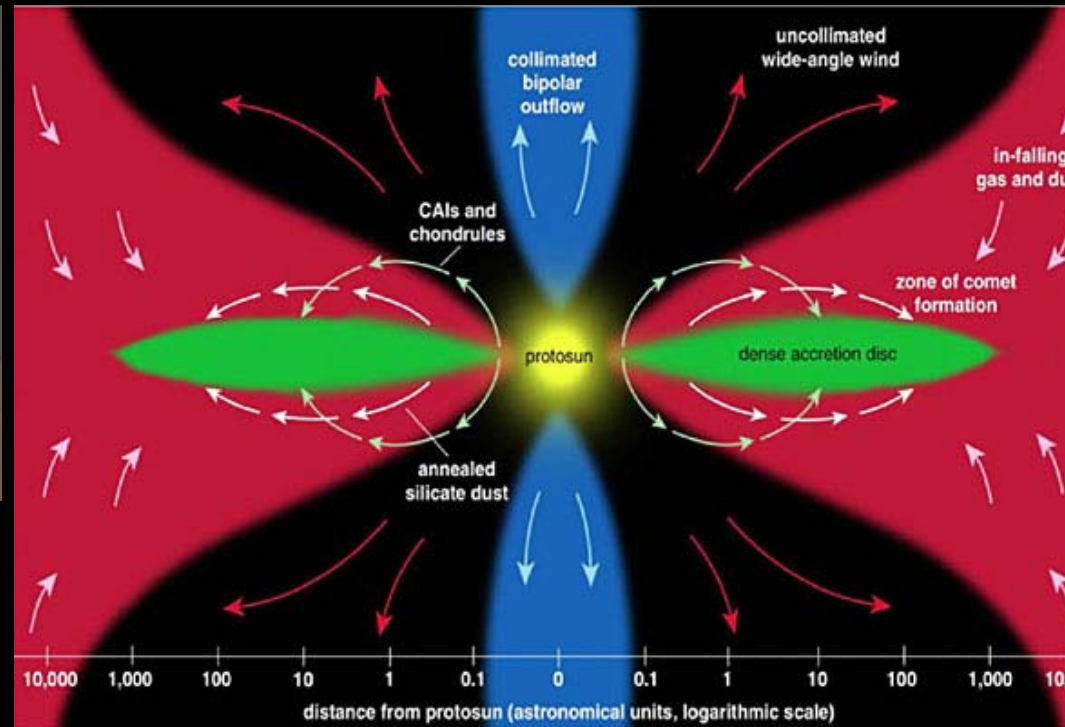
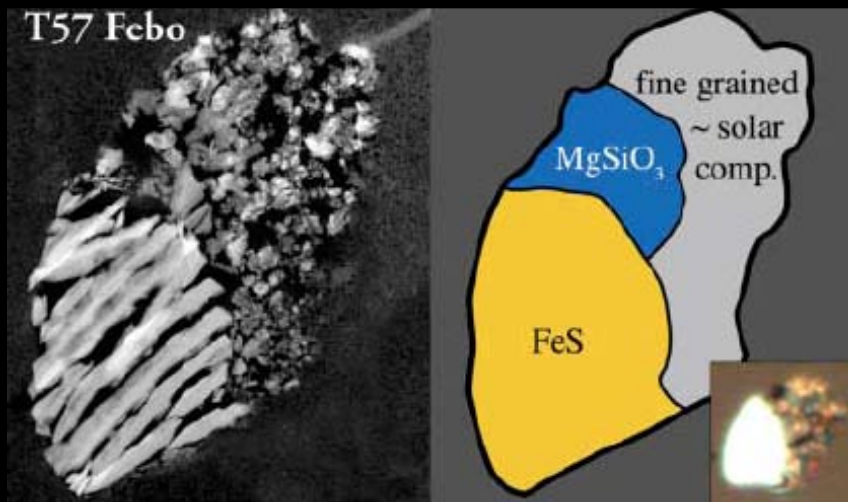
Les grains de la coma ont été piégés dans de l'aérogel à une vitesse de 6.1 km/s



8 mm

Grain terminal :
1-20 μm

La composition des grains de Stardust ressemble fortement à celle typique des météorites primitives – présence de phases réfractaires dont CAI, compositions isotopiques dans la même gamme : conforte les modèles de mélange de la matière à très grande échelle dans le système solaire naissant



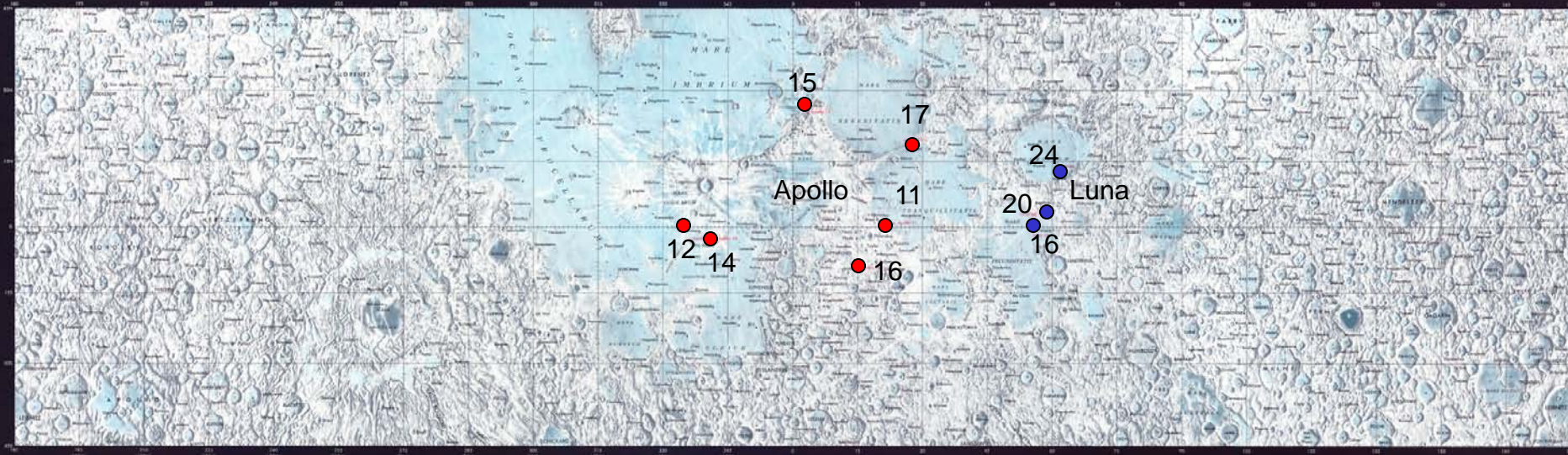
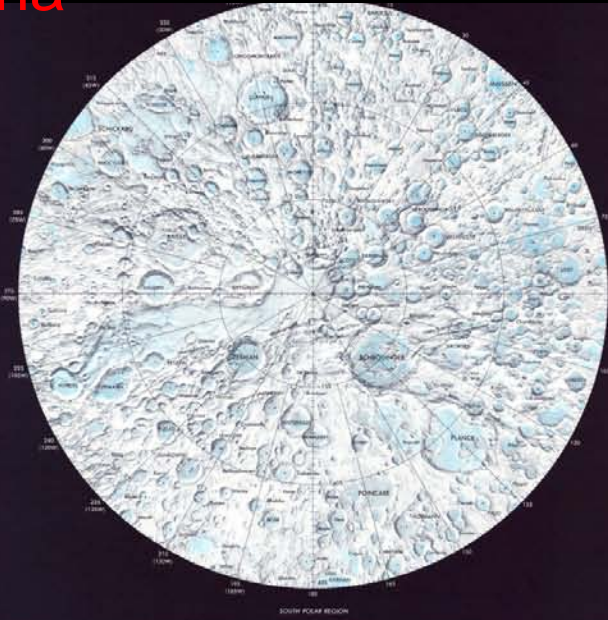
Mélange de phases haute température et de glaces

Apollo & Luna



NASA

LUNAR DATA	
Equatorial Mean Radius	1737.1 km
Equatorial Mean Radius to new Moon	39 130 km
Equatorial Mean Radius to old Moon	37 500 km
Acceleration of Lunar Orbit to Earth	0.0027 m/s ²
Perigee of Lunar Orbit to Earth	363 300 km
Apogee of Lunar Orbit to Earth	405 500 km
Distance from Earth to Lunar Orbit	384 400 km
Central Obliquity to Ecliptic	1.54°
Central Obliquity to Equator	1.54°
Mean Sidereal Rotation	27.321661 days
Mean Solar Rotation to Full Moon	29.530589 days
Temperature	-173°C
Escape Velocity	2.38 km/s
Surface Gravity	1.62 m/s ²
Surface Density	3.34 g/cm ³
Diameter of Moon	3476 km
Volume of Moon	22 037 103 km ³
Mass of Moon	7.347673 × 10 ²² kg
Gravitational Constant	6.67259 × 10 ⁻¹¹ m ³ /kg s ²
Mean Orbital Velocity	1.022 km/s
Mean Orbital Distance	384 400 km
Mean Orbital Period	27.321661 days
Mean Orbital Eccentricity	0.0549
Mean Orbital Inclination	5.145°
Mean Orbital Longitude	91.264°
Mean Orbital Argument	8.983°
Mean Orbital Anomaly	90.5296°
Mean Orbital Phase	90.5296°
Mean Orbital True Longitude	91.264°
Mean Orbital True Anomaly	90.5296°
Mean Orbital True Argument	8.983°
Mean Orbital True Inclination	5.145°
Mean Orbital True Longitude	91.264°
Mean Orbital True Anomaly	90.5296°
Mean Orbital True Argument	8.983°
Mean Orbital True Inclination	5.145°





Apollo



A one-kilogram (2.2 lb) Apollo 16 breccia rock formed from meteorite impact. Shiny, black, impact-generated glass was splashed on the side.

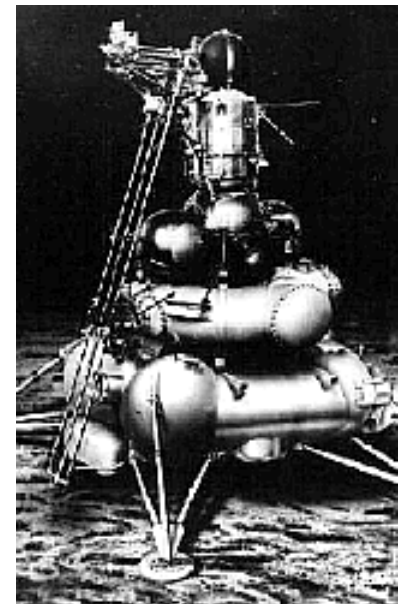
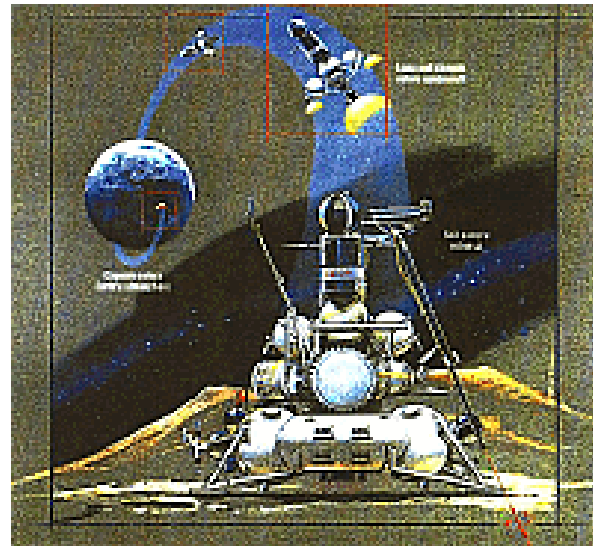
- Entre 1969 et 1972, six missions Apollo ont ramené sur Terre 382 Kg de roches, carottages, sables et poussières de la surface lunaire
- 2200 échantillons sont conservés dans un bâtiment spécial du Johnson Space Center





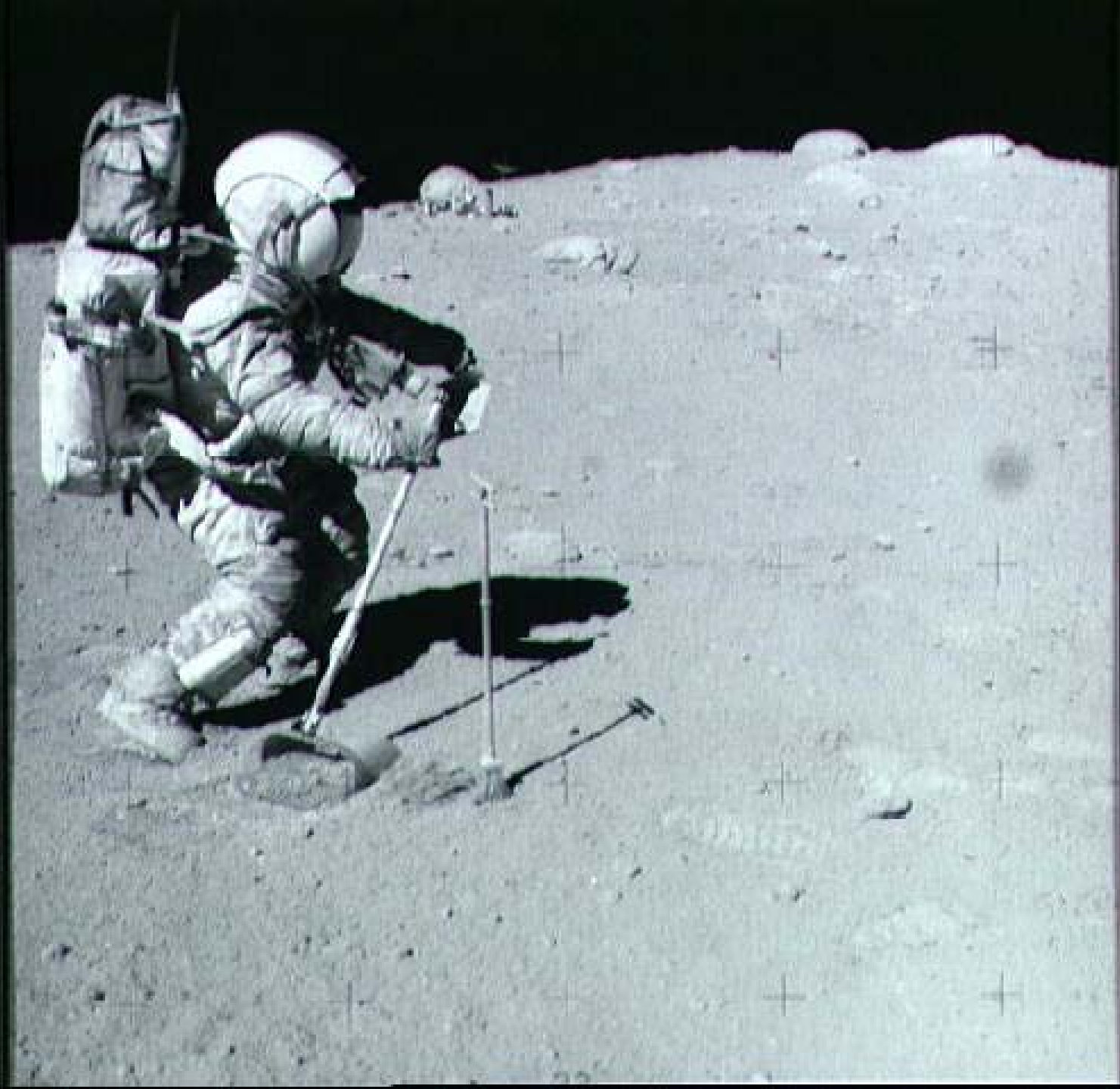
Luna

1970-1976



- 3 missions automatiques (Luna 16, 20 and 24) ont ramené 300 g de sols et brêches lunaires, notamment lors de carottages
- Les échantillons sont conservés à l'Institut Verdnasky à Moscou







Top Ten Scientific Discoveries Made During Apollo-Luna Exploration of the Moon

1. The Moon is not a primordial object; it is an evolved terrestrial planet with internal zoning
2. The Moon is ancient and still preserves an early history (the first billion years) that must be common to all terrestrial planets.
3. The youngest Moon rocks are virtually as old as the oldest Earth rocks.
4. The Moon and Earth are genetically related and formed from different proportions of a common reservoir of materials - Oxygen isotopes
5. The Moon is lifeless; it contains no living organisms, fossils, or native organic compounds.
6. All Moon rocks originated through high-temperature processes with little or no involvement with water. Three types: basalts, anorthosites, and breccias.
7. Early in its history, the Moon was melted to great depths to form a "magma ocean." The lunar highlands contain the remnants of early, low density rocks that floated to the surface of the magma ocean.
8. The lunar magma ocean was followed by a series of huge asteroid impacts that created basins which were later filled by lava flows.
9. The Moon is asymmetrical, possibly as a consequence of its evolution under Earth's gravitational influence. Its crust is thicker on the far side, while most volcanic basins -- and unusual mass concentrations -- occur on the near side.
10. The surface of the Moon is covered by a rubble pile of rock fragments and dust, called the lunar regolith, that contains a unique radiation history of the Sun

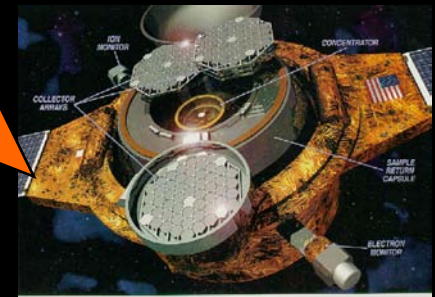
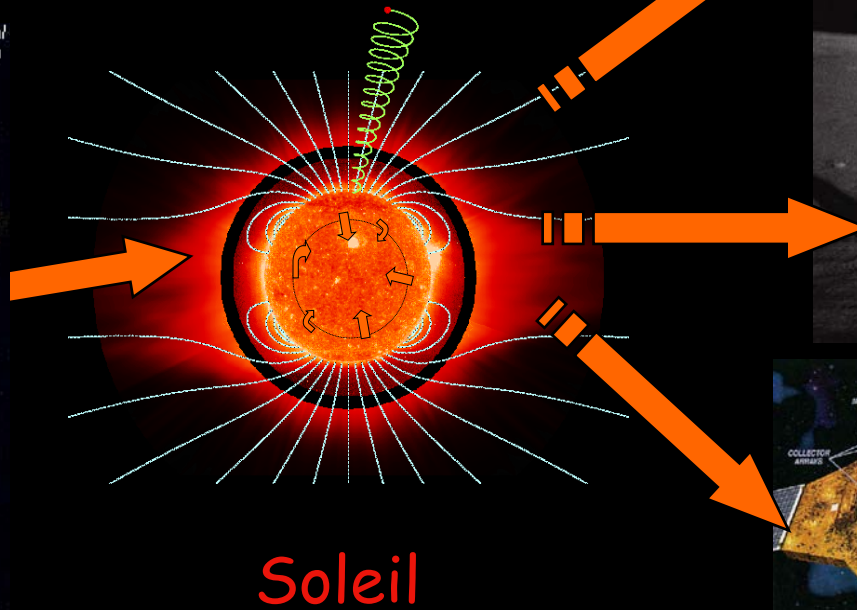
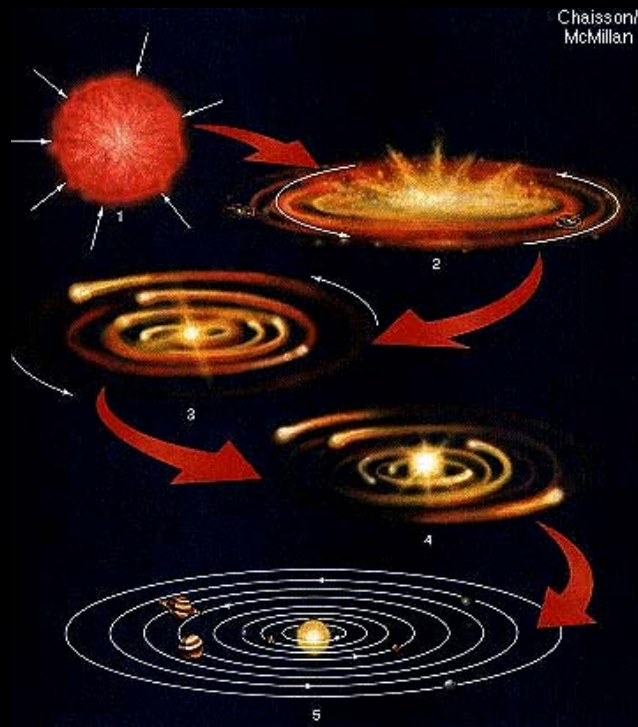


Priorités de la mission :

1- oxygène isotopique

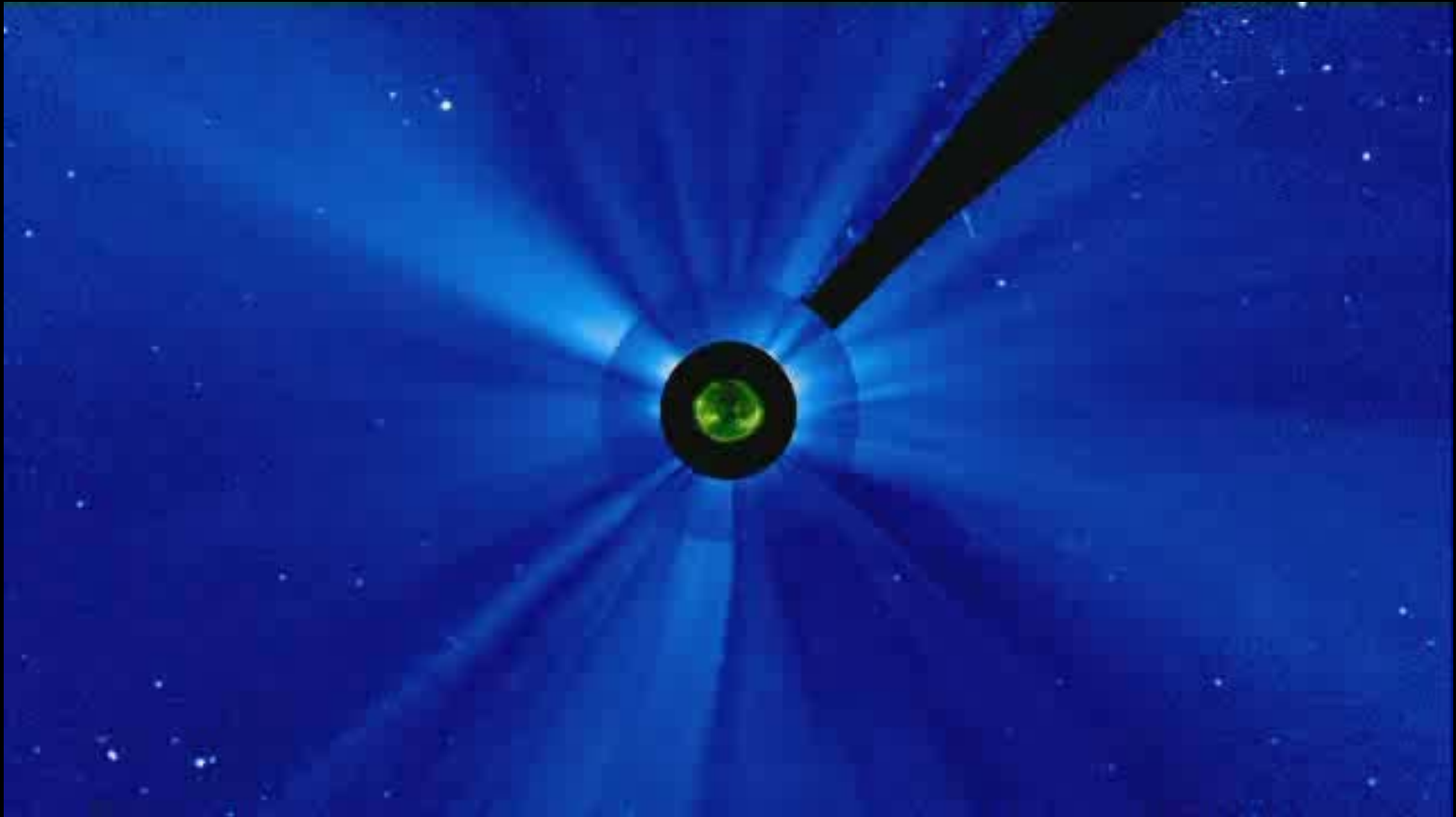
2- azote isotopique

3 – Gaz rares



Vent solaire

Vent solaire
&
flares solaires



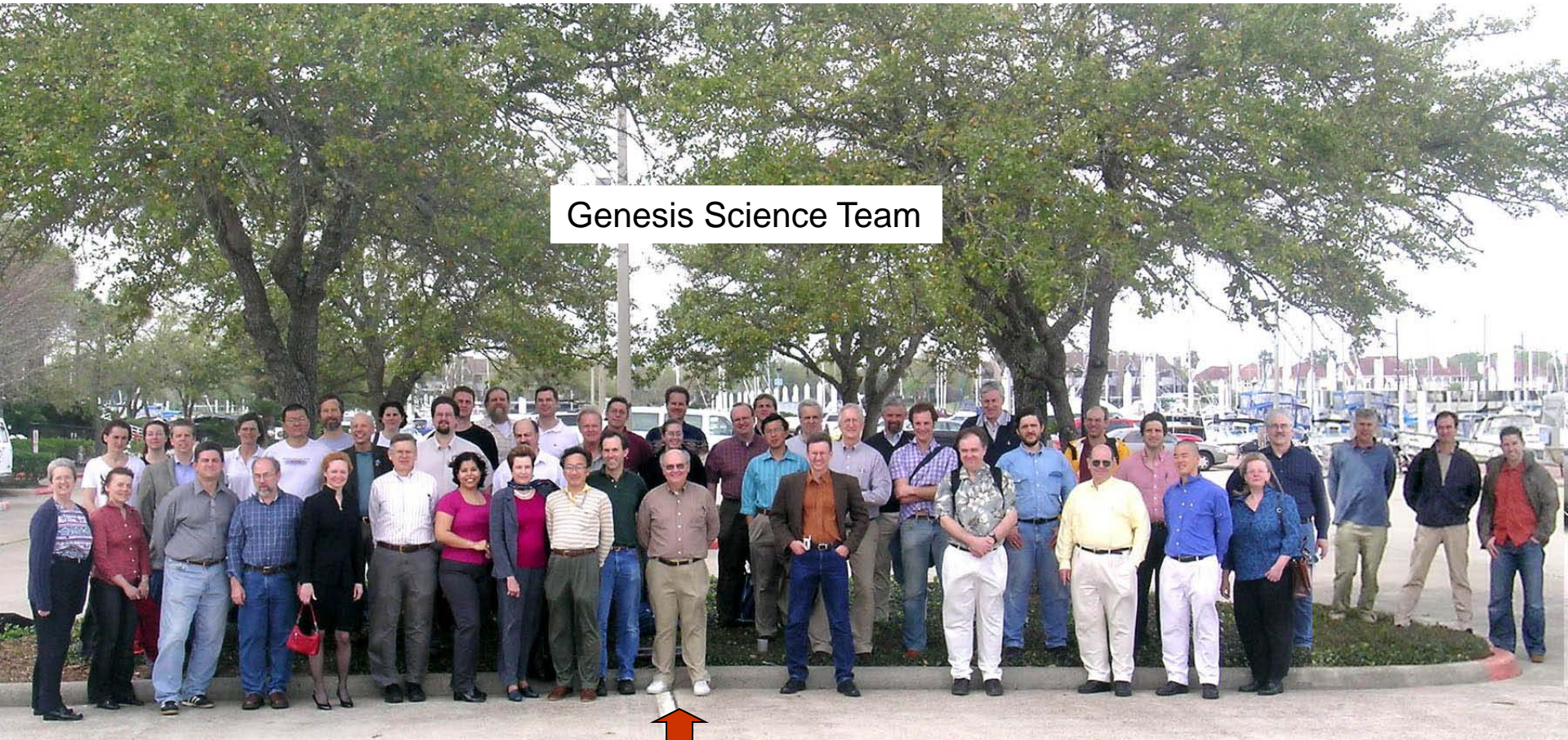


NASA discovery program

260 millions \$

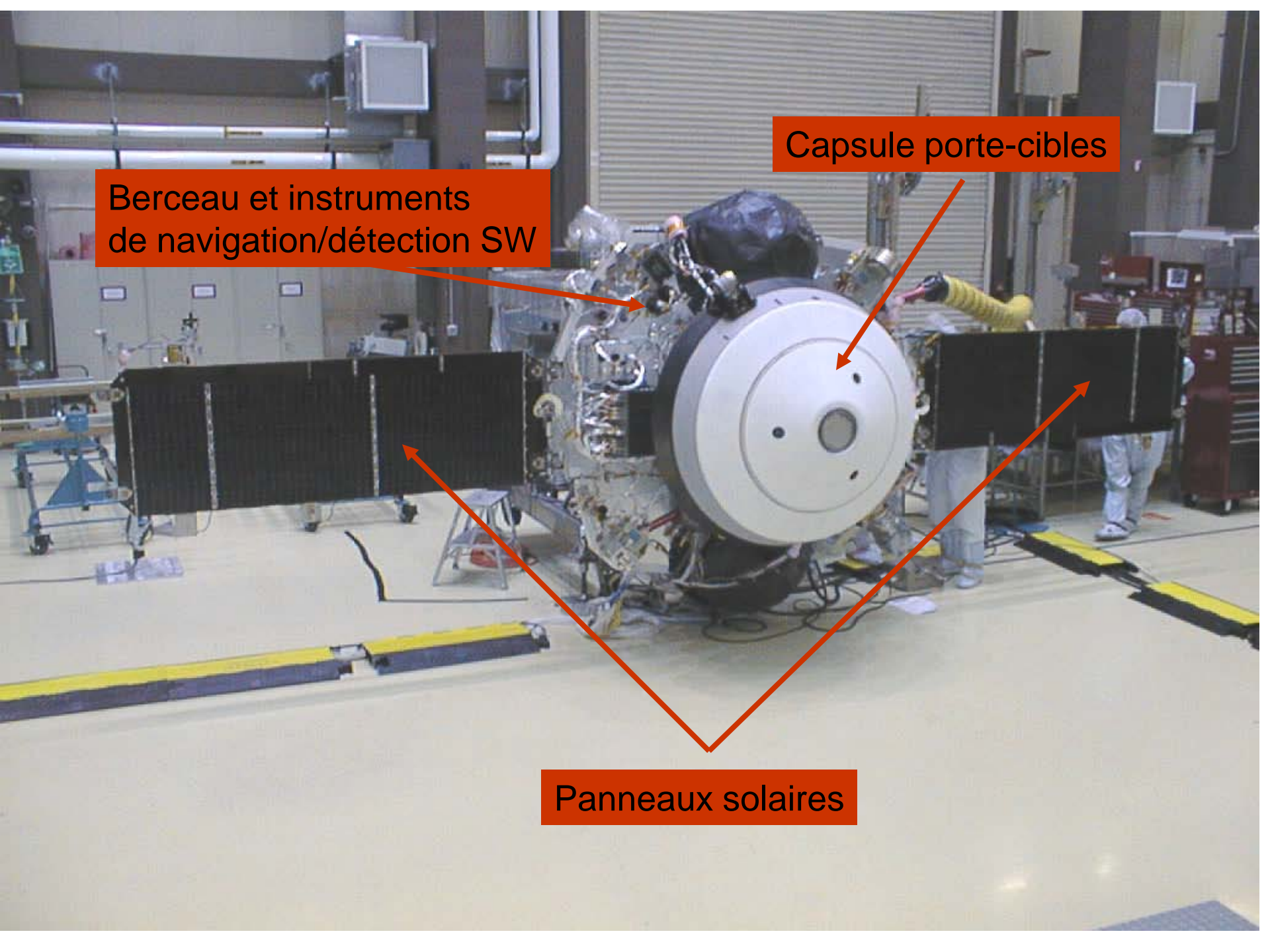
1 gramme de matière solaire : 650 milliards de dollars

- Genesis a échantillonné pendant 3 ans 10^{20} ions du vent solaire (=0.4 milligrammes) à 1.5 millions de km de la Terre
- Premiers échantillons ET ramenés depuis 3 décades



Genesis Science Team

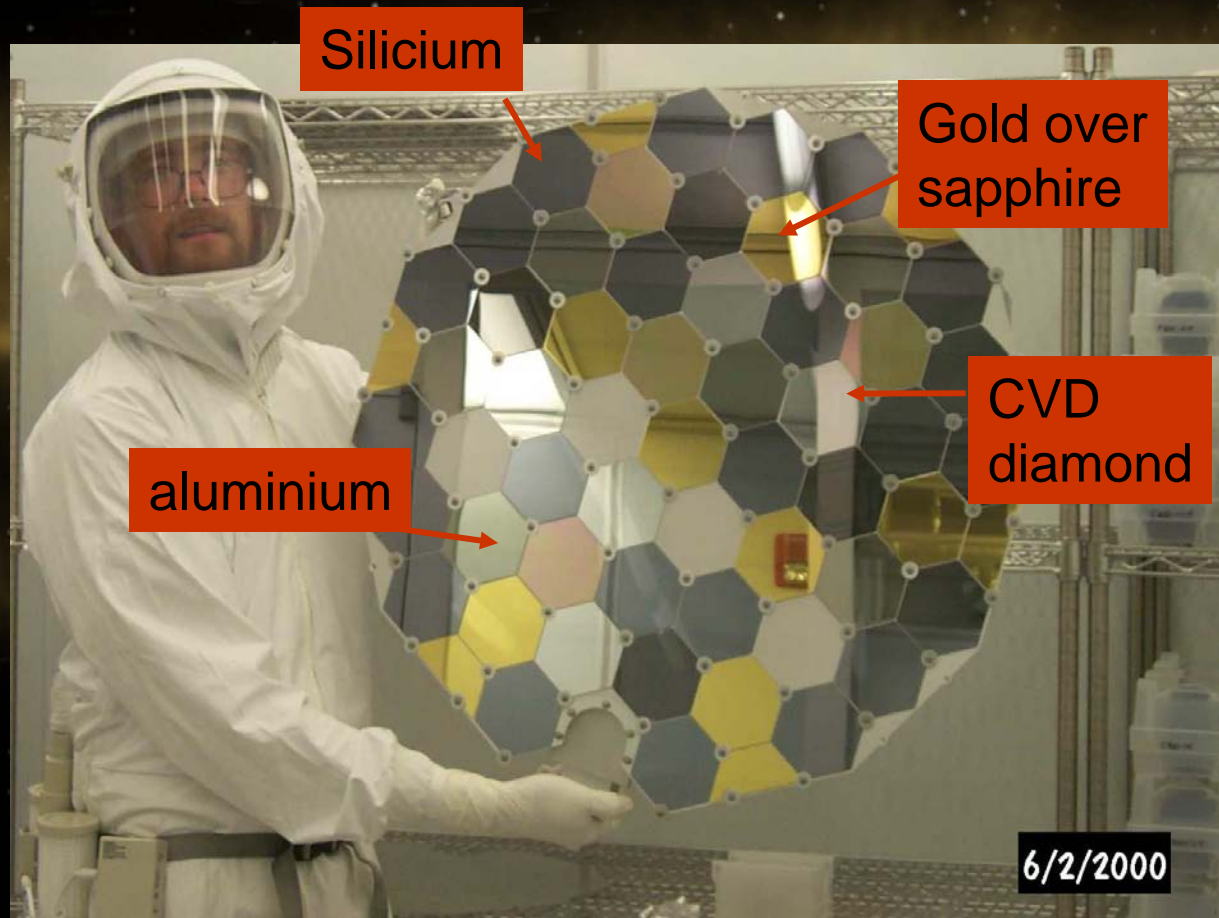
PI : Don Burnett, Caltech



Capsule porte-cibles

Berceau et instruments de navigation/détection SW

Panneaux solaires



Silicium

Gold over sapphire

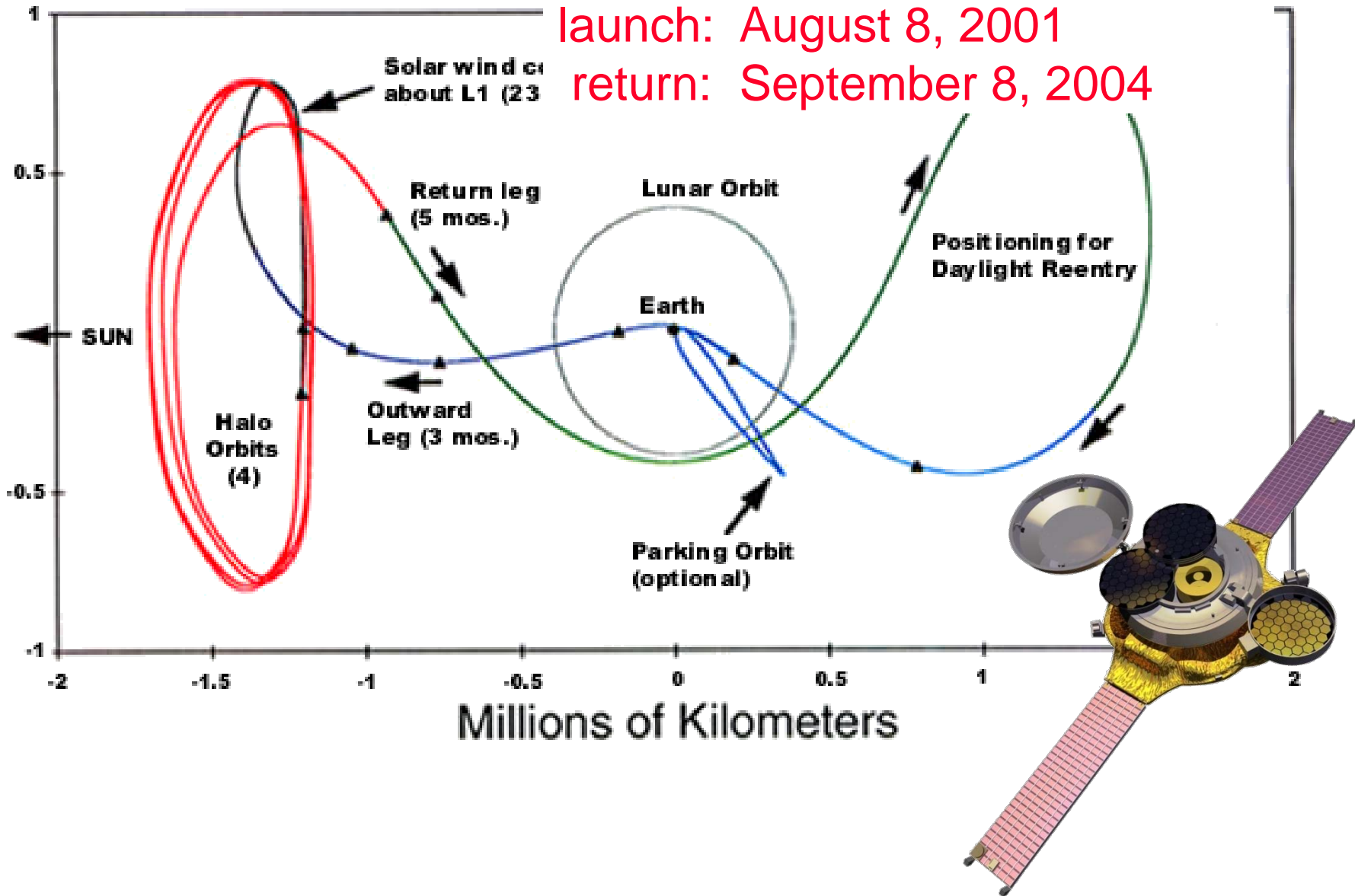
CVD diamond

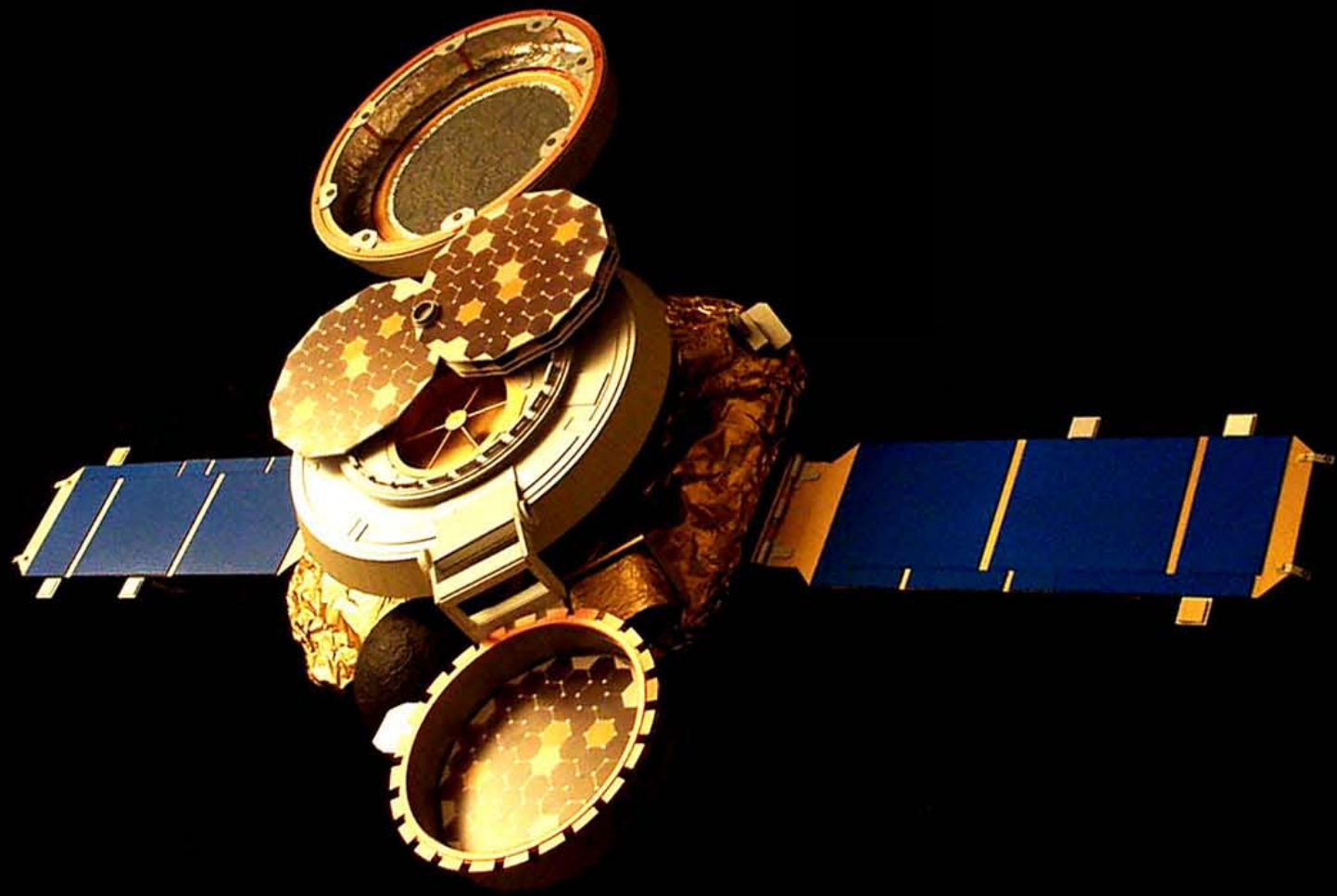
aluminium

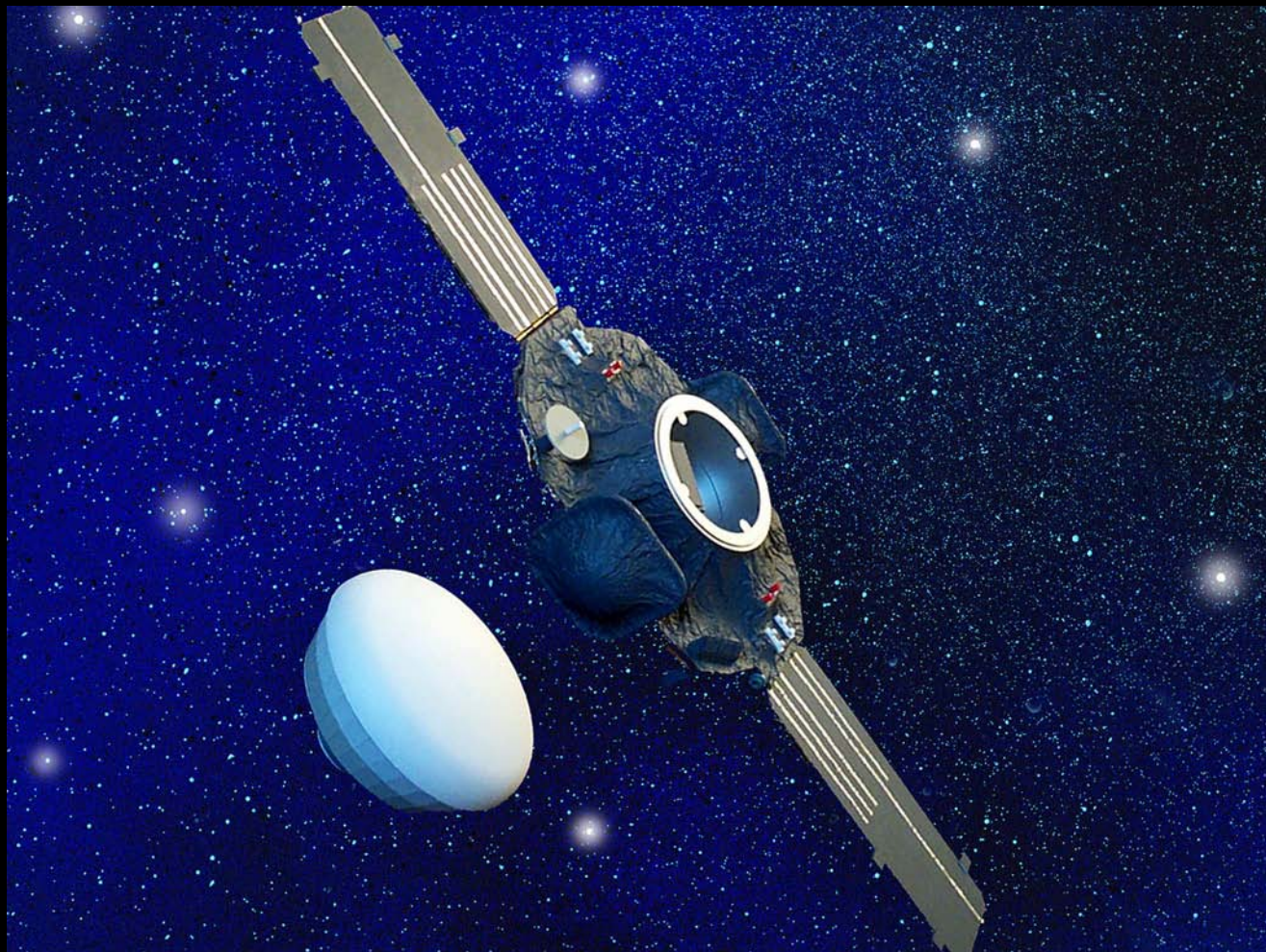
6/2/2000

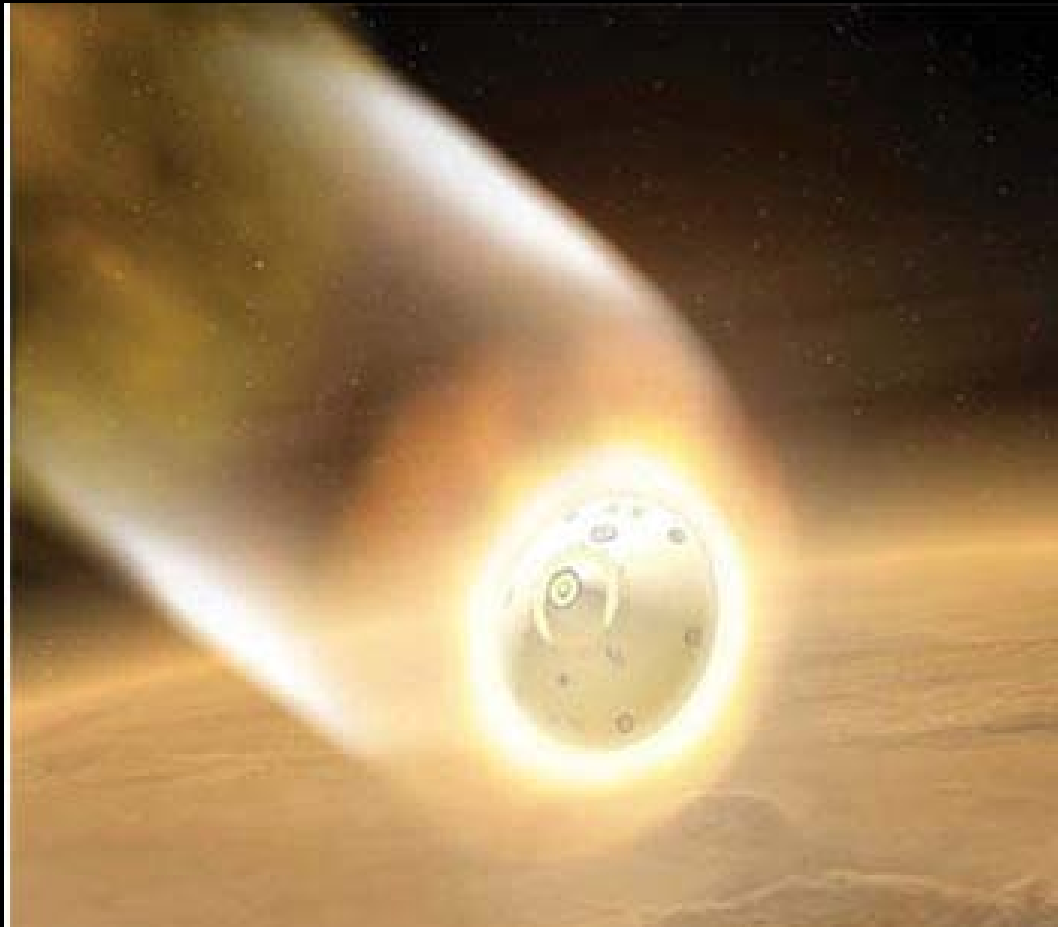
Genesis mission flight plan

launch: August 8, 2001
return: September 8, 2004







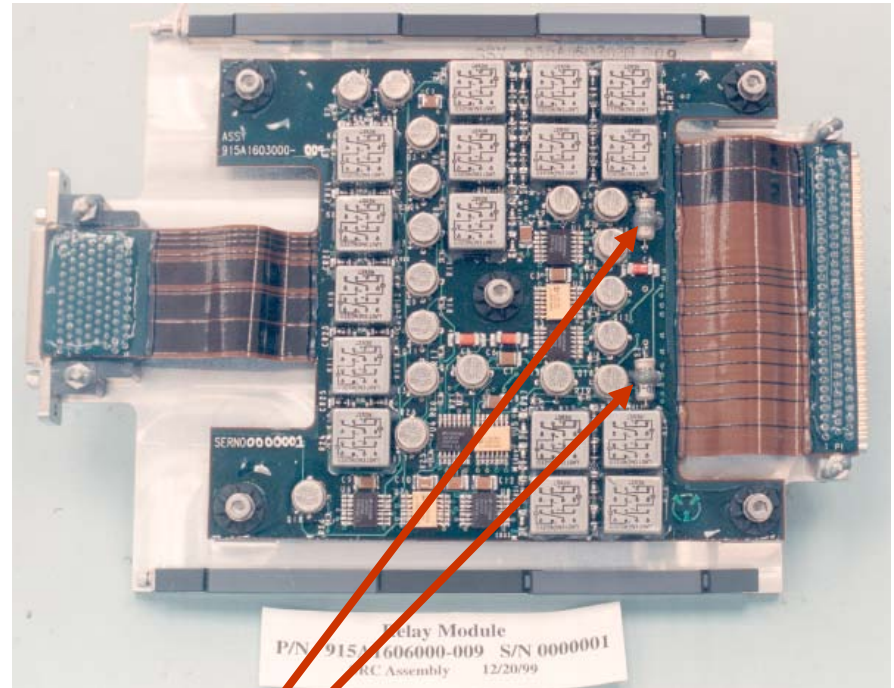
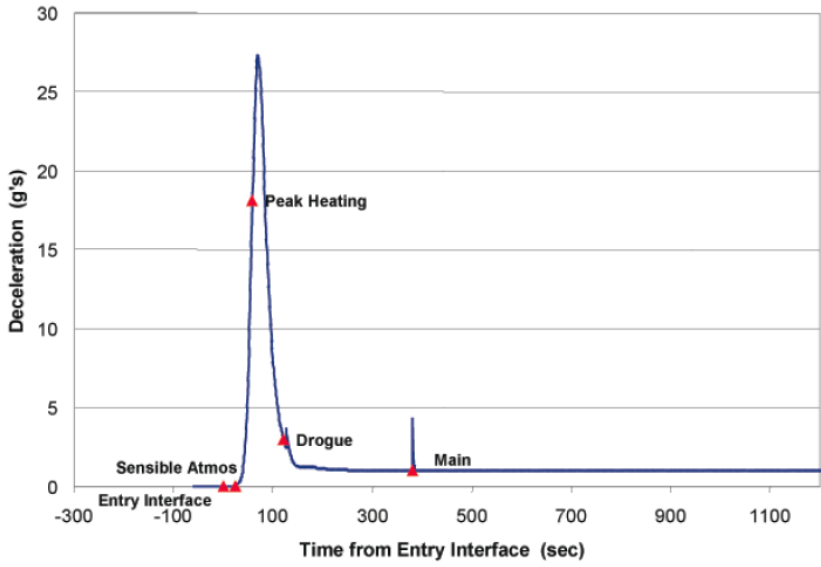


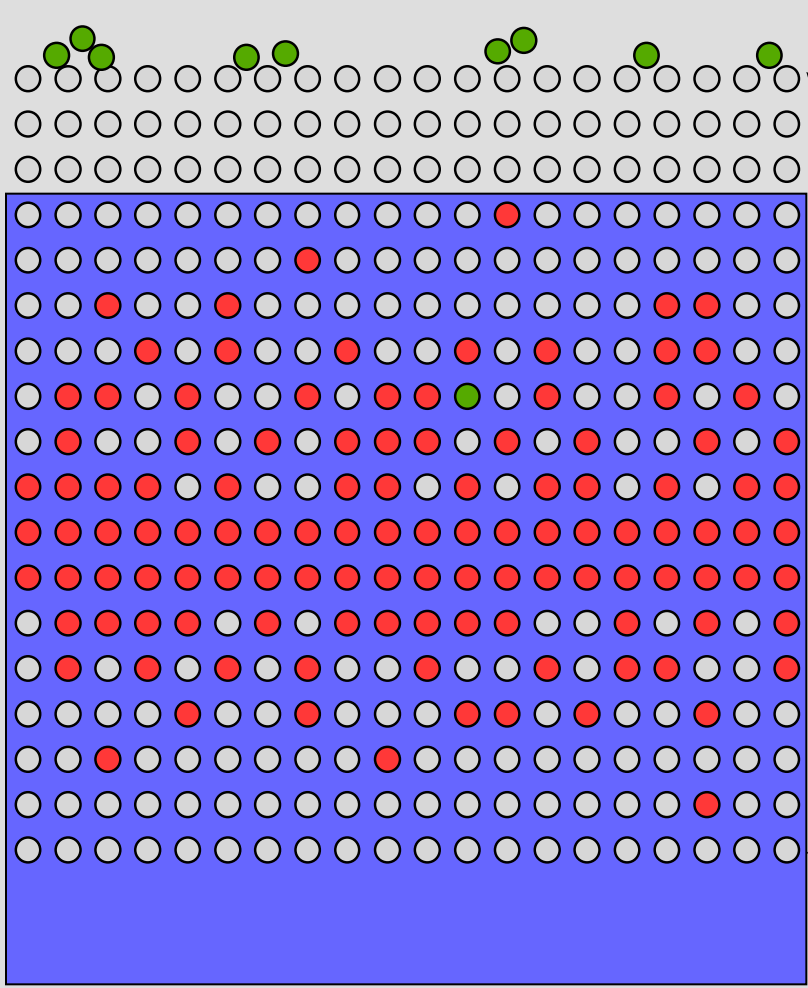


8 Septembre 2004

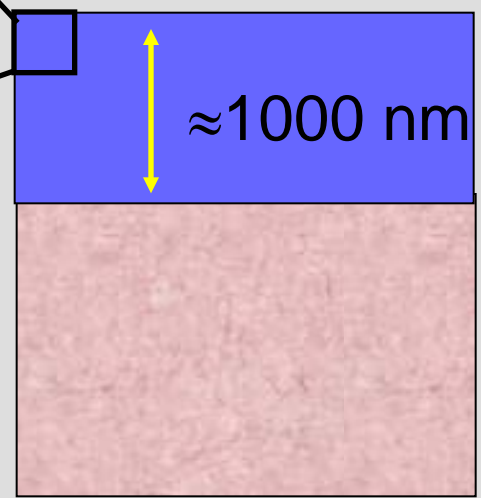


Genesis EDL Using REF08 Return, Time Based





- Ions du collecteur
- contamination
- Vent solaire implanté

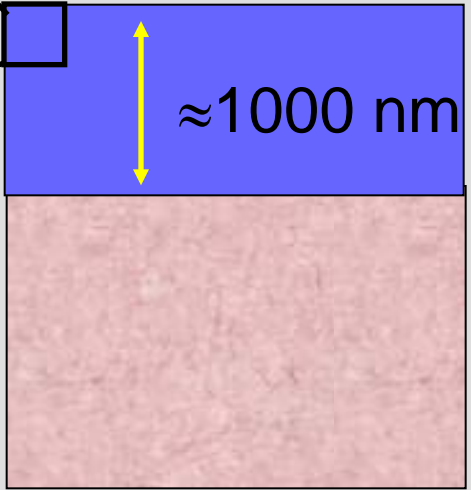
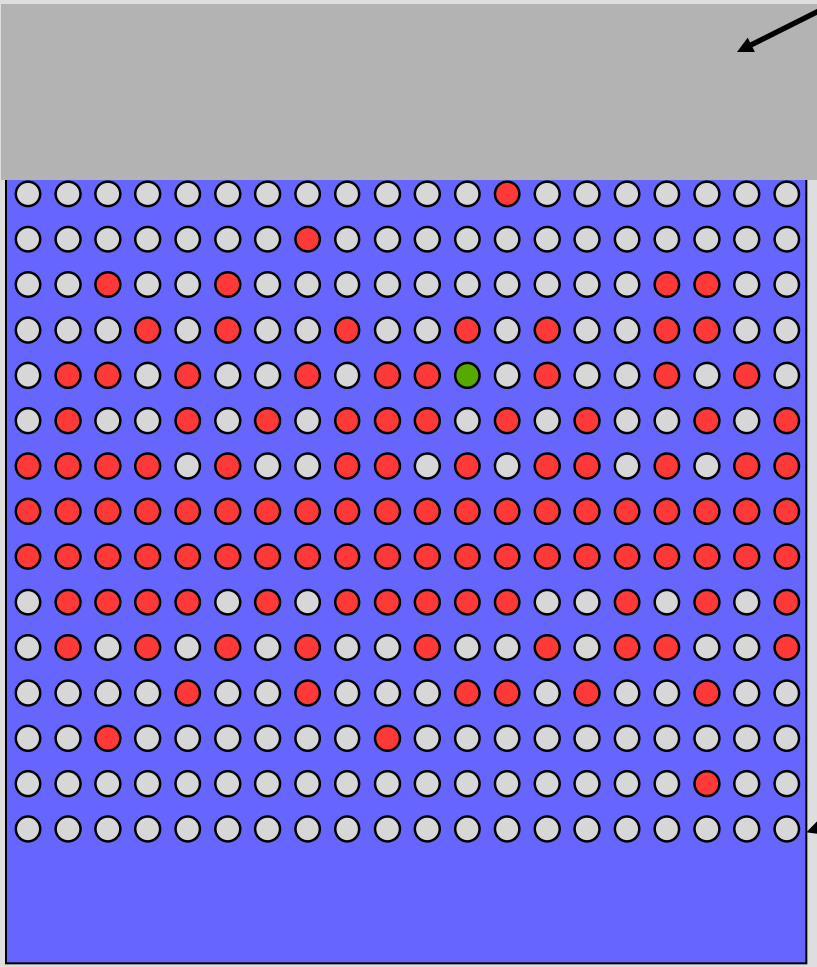


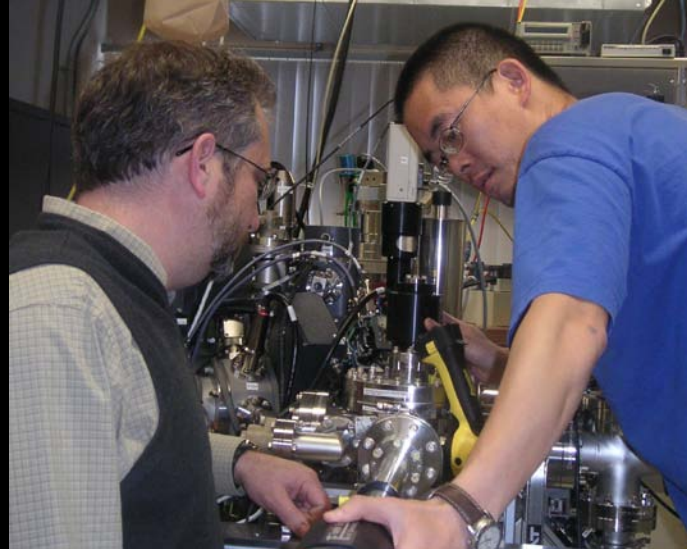
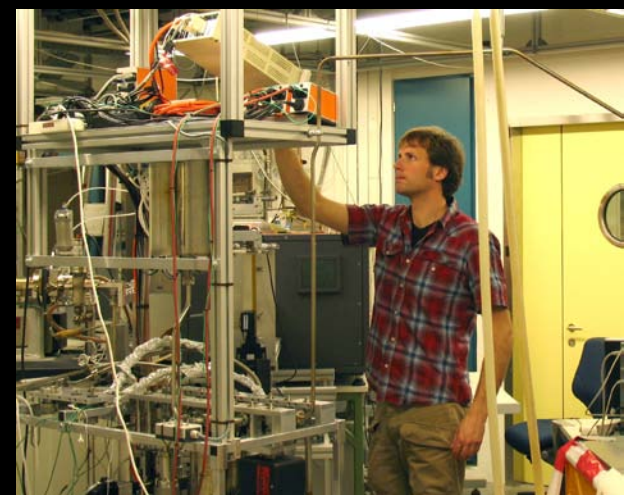


Peler la surface externe

10 nm

≈100 nm

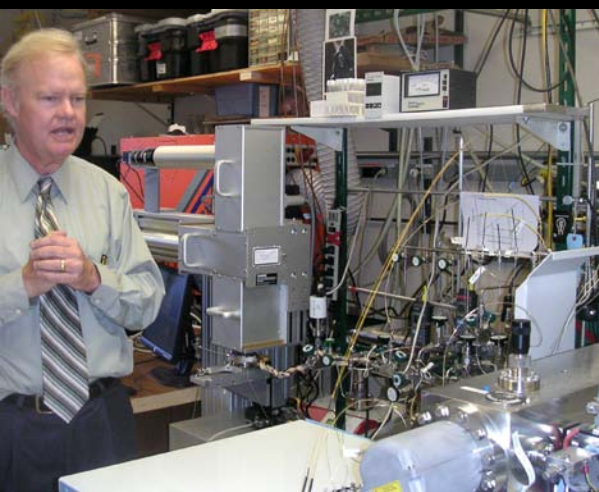




Acid attack under vacuum
Laser ablation (St Louis, Zurich)

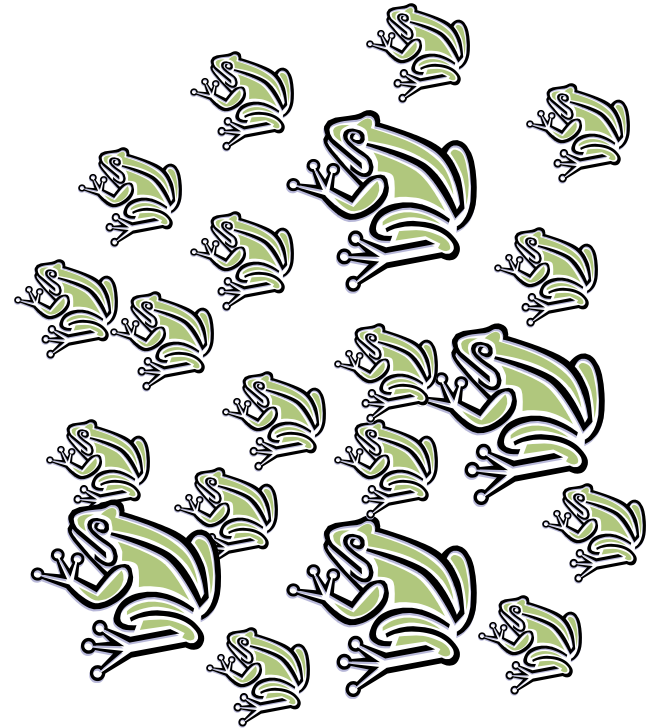
Megasisms (Los Angeles)

Laser ablation, sims (Milton Keynes & Nancy)



Fluorination
(San Diego)





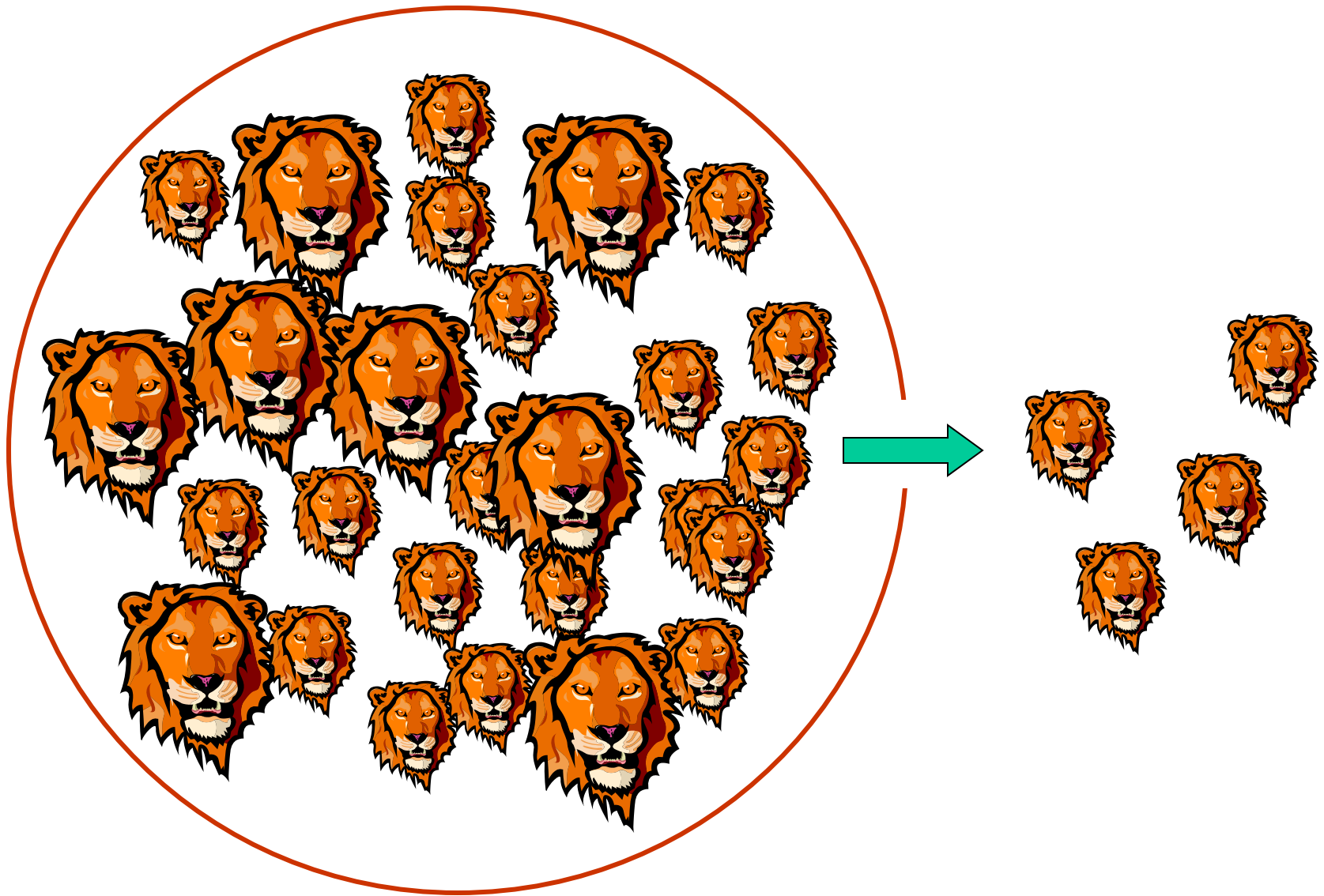
Les tribus d'isotopes



Rapport isotopique =



Caractérise l'histoire de l'élément



Variation isotopique \sim fractionnement

Fractionnement isotopique :

Variation des rapports isotopiques d'un élément
En fonction de la masse



Oxygène : 3 isotopes ^{16}O , ^{17}O , ^{18}O

$$\Delta^{18}\text{O}/^{16}\text{O} \sim 2 \times \Delta^{17}\text{O}/^{16}\text{O}$$

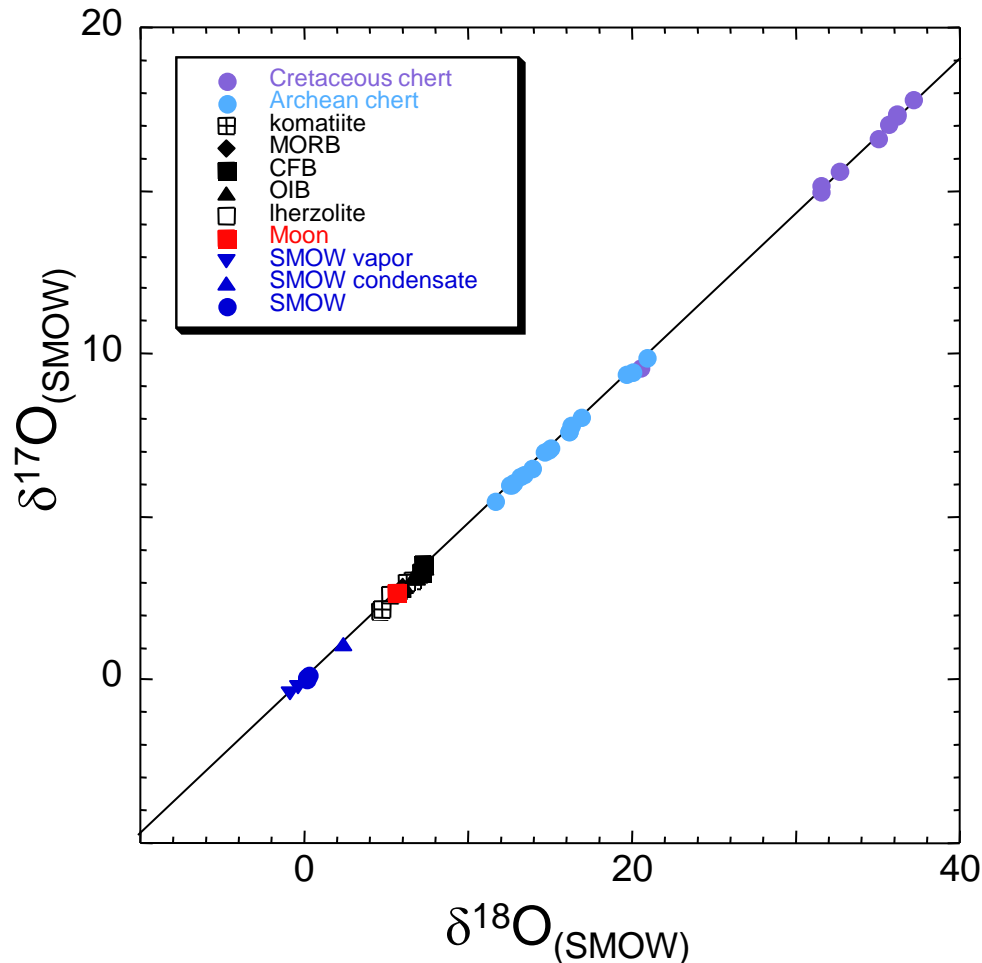
On définit :

$\delta^{18}\text{O}$ et $\delta^{17}\text{O}$ comme les écart un parties pour mille de
 $^{18}\text{O}/^{16}\text{O}$ et $^{17}\text{O}/^{16}\text{O}$ par rapport à une référence
(l'oxygène terrestre)

Cosmochimie isotopique de l'oxygène

^{16}O , ^{17}O , ^{18}O

$(^{18}\text{O}/^{16}\text{O} \approx 2 \times 10^{-3} \text{ \& } ^{17}\text{O}/^{16}\text{O} \approx 4 \times 10^{-4})$



- Produits dans des étoiles différentes
- Élément le plus abondant dans les roches
- Également important (CO , H_2O) dans la nébuleuse proto-solaire
- Fractionnements dépendants, et indépendants, des masses

$$\delta^{18}\text{O} = \left(\frac{(^{18}\text{O}/^{16}\text{O})}{(^{18}\text{O}/^{16}\text{O})_{\text{SMOW}}} - 1 \right) \times 1000$$

➡ $\delta^{17}\text{O} \approx 0.52 \times \delta^{18}\text{O}$

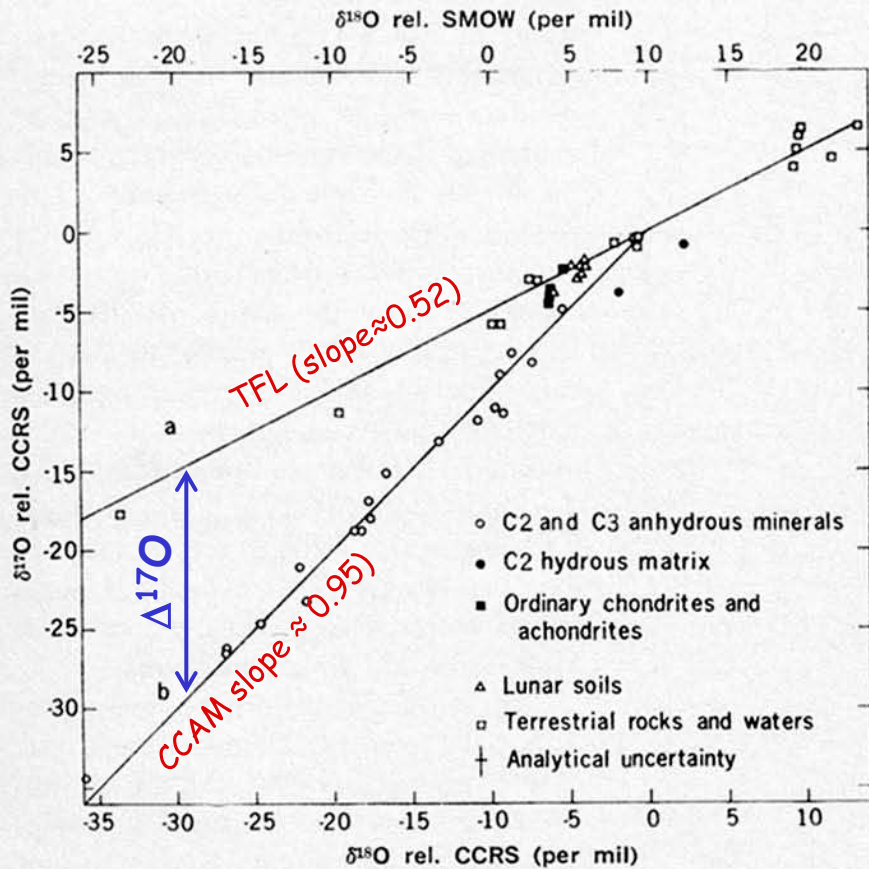
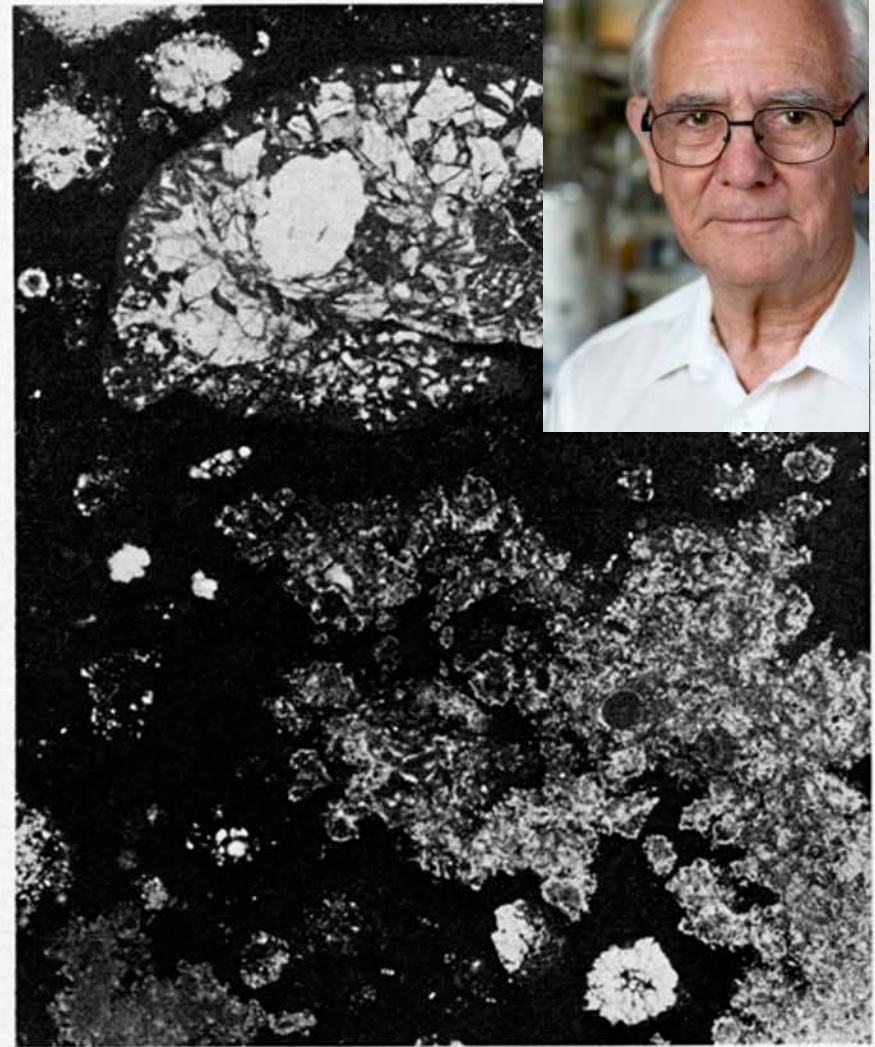
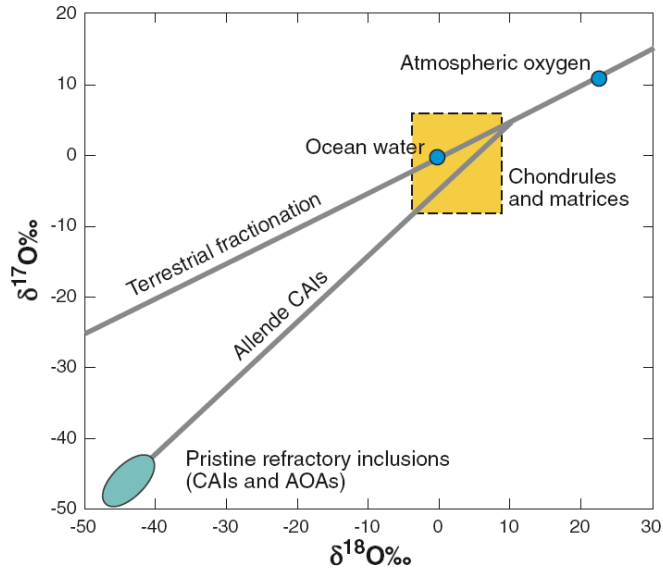


Fig. 1 (left). Relationship between $^{17}\text{O}/^{16}\text{O}$ variations and $^{18}\text{O}/^{16}\text{O}$ variations for terrestrial, lunar, and meteoritic samples. Points lying along line a, with a slope of $+\frac{1}{2}$, define the trend for chemical isotope effects; points lying along line b, with a slope of $+1$, define a mixing line between "normal" oxygen and an ^{18}O -rich component. The points on line b are all from phases in carbonaceous chondrites. The reference standards are SMOW [standard mean ocean water (13)] and CCRS [carbonaceous chondrite reference standard (see text)].

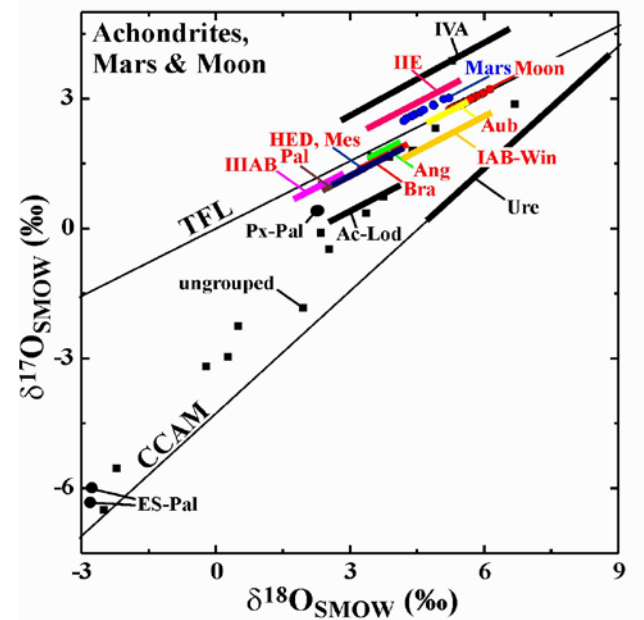
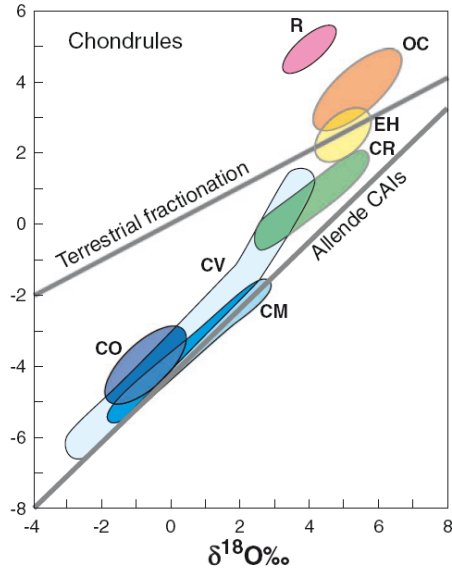
Fig. 2 (right). Photomicrograph of a section of the Allende meteorite, showing two large white inclusions (see text). Area of section, 8 by 10 mm. [Courtesy Richard J. Kjarval, Graphic Arts Facility, Physical Sciences Division, University of Chicago]



Cosmochimie isotopique de l'oxygène



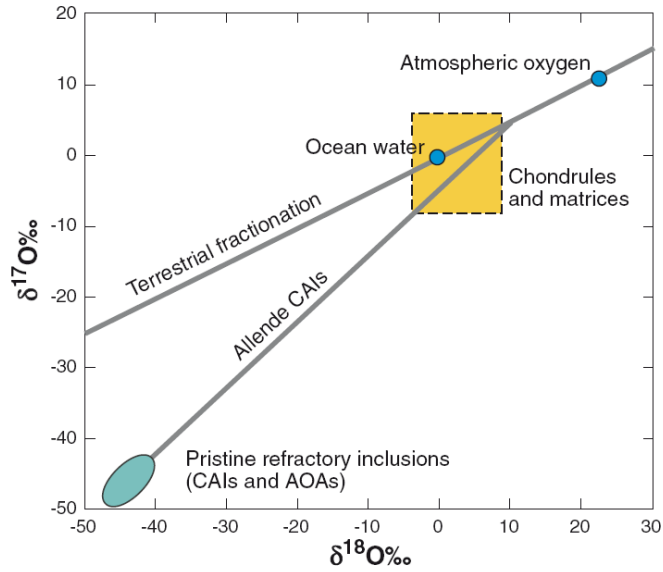
Scott, 2007



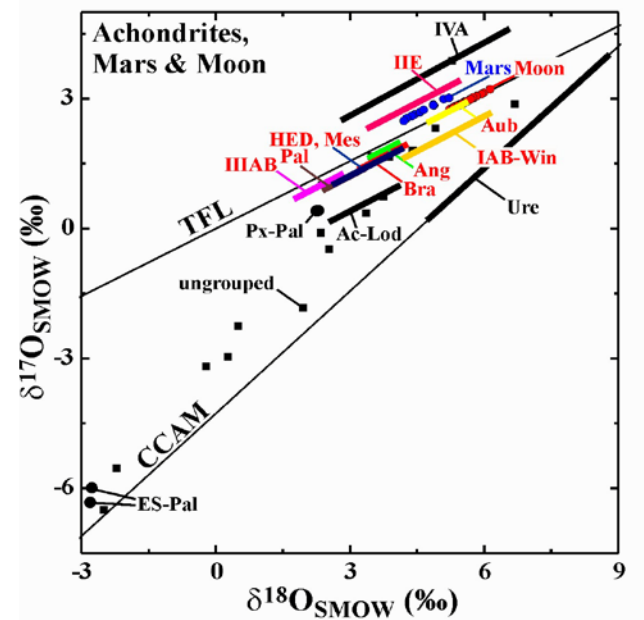
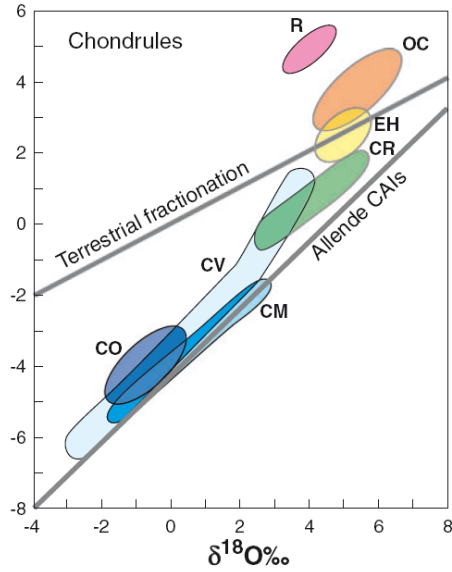
Krot, 2007

Définit plusieurs familles à l'échelle des corps planétaires
mais...

Cosmochimie isotopique de l'oxygène



Scott, 2007

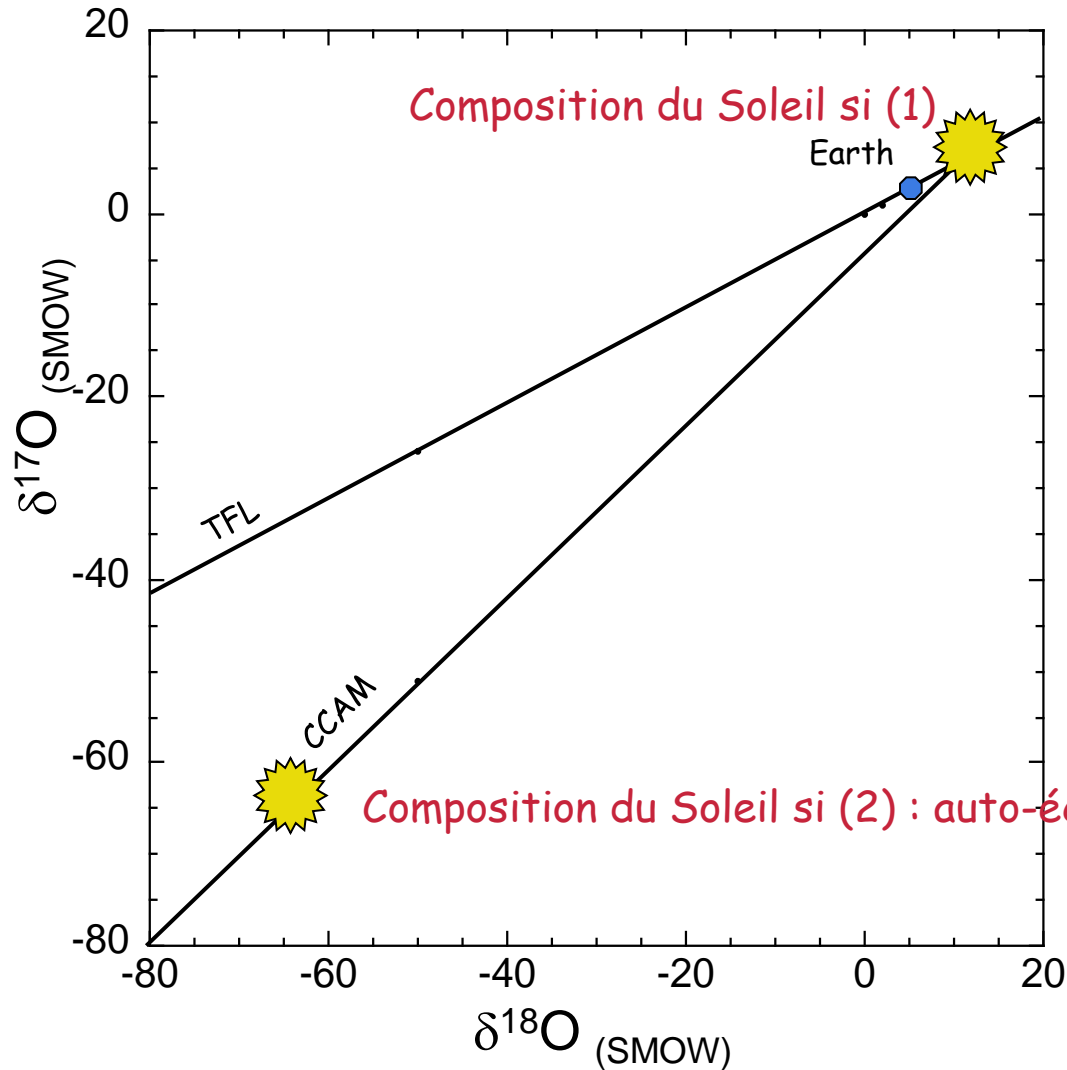


Krot, 2007

Ou se trouve le soleil ?



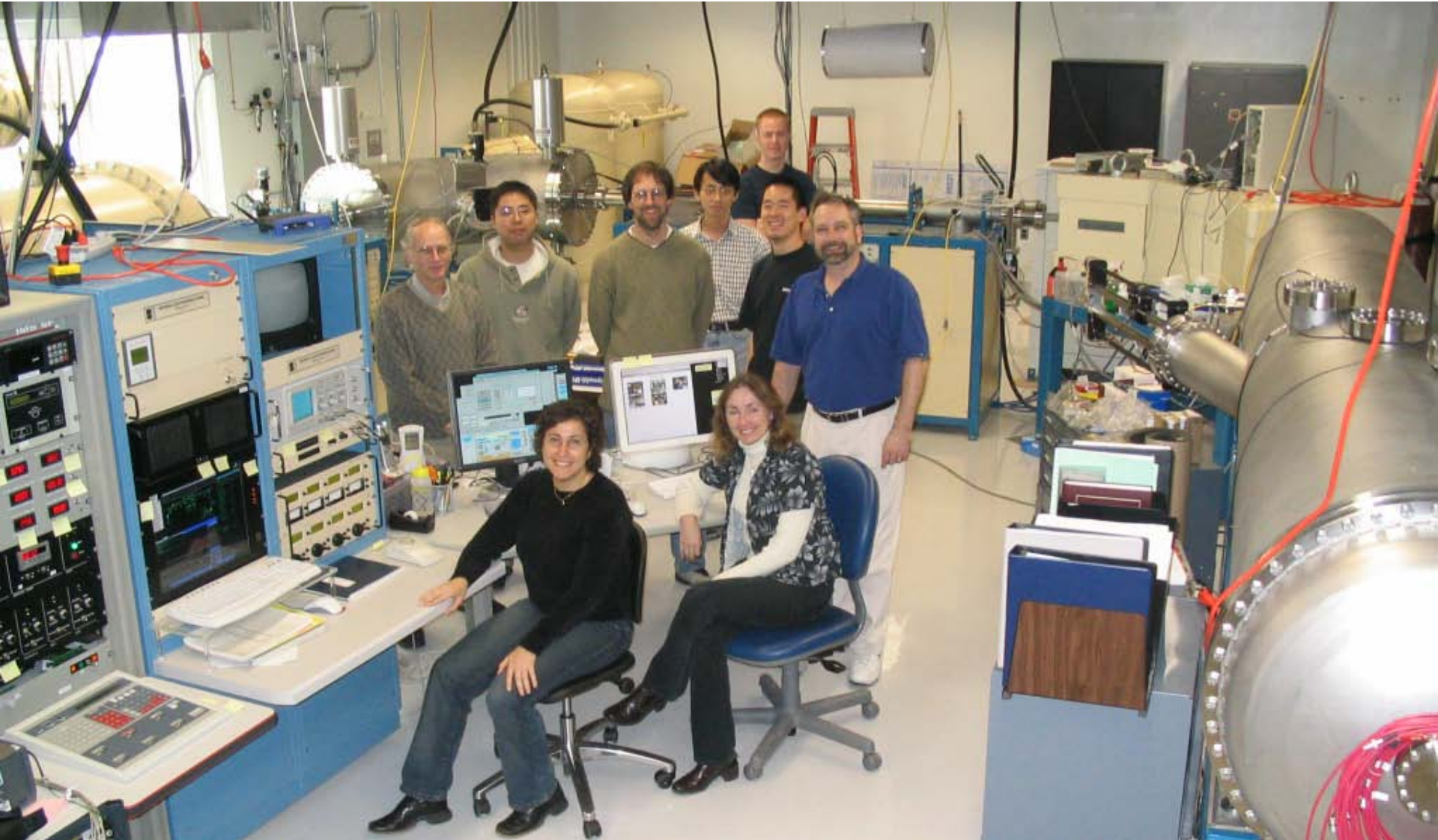
Origine des variations indépendantes de la masse ?

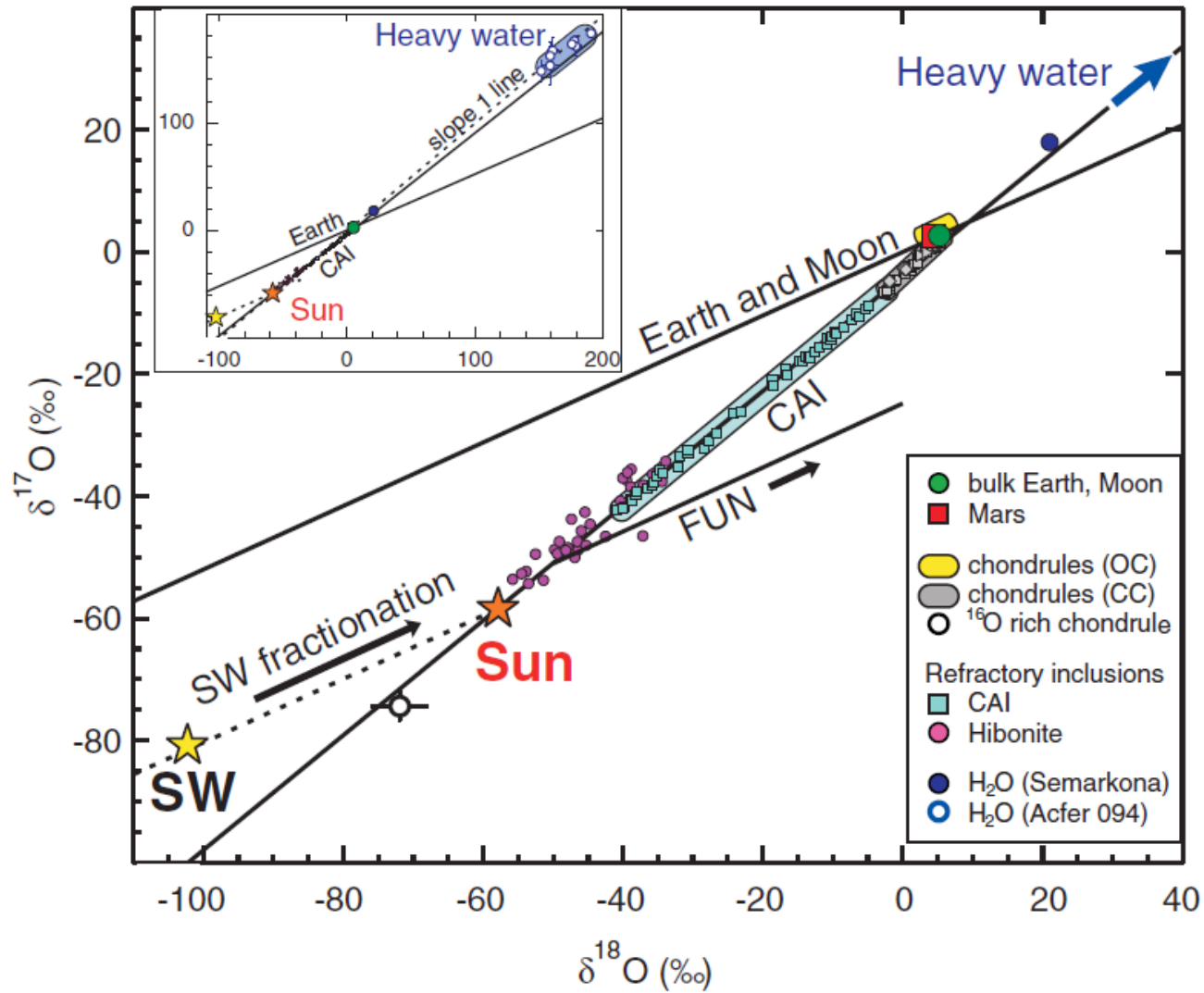


(1) : Injection d'une composante pré-solaire (Clayton et al., 1973)

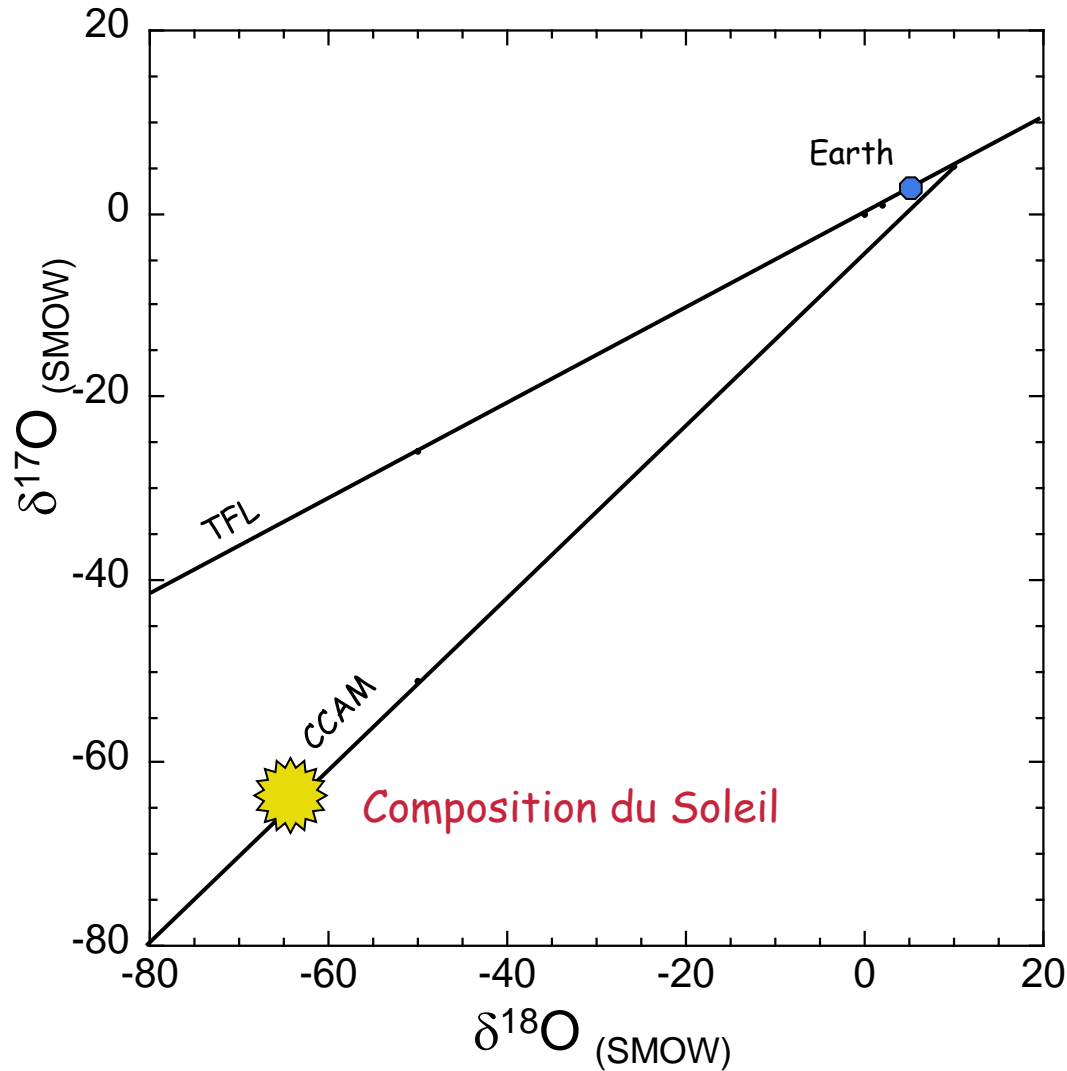
(2) : réactions photo-chimiques de type ozone ou de type auto-écranage (self shielding) (Thiemens & Heidenreich, 1983) (Clayton, 2002)

UCLA MegaSIMS laboratory





Origine des variations indépendantes de la masse ?

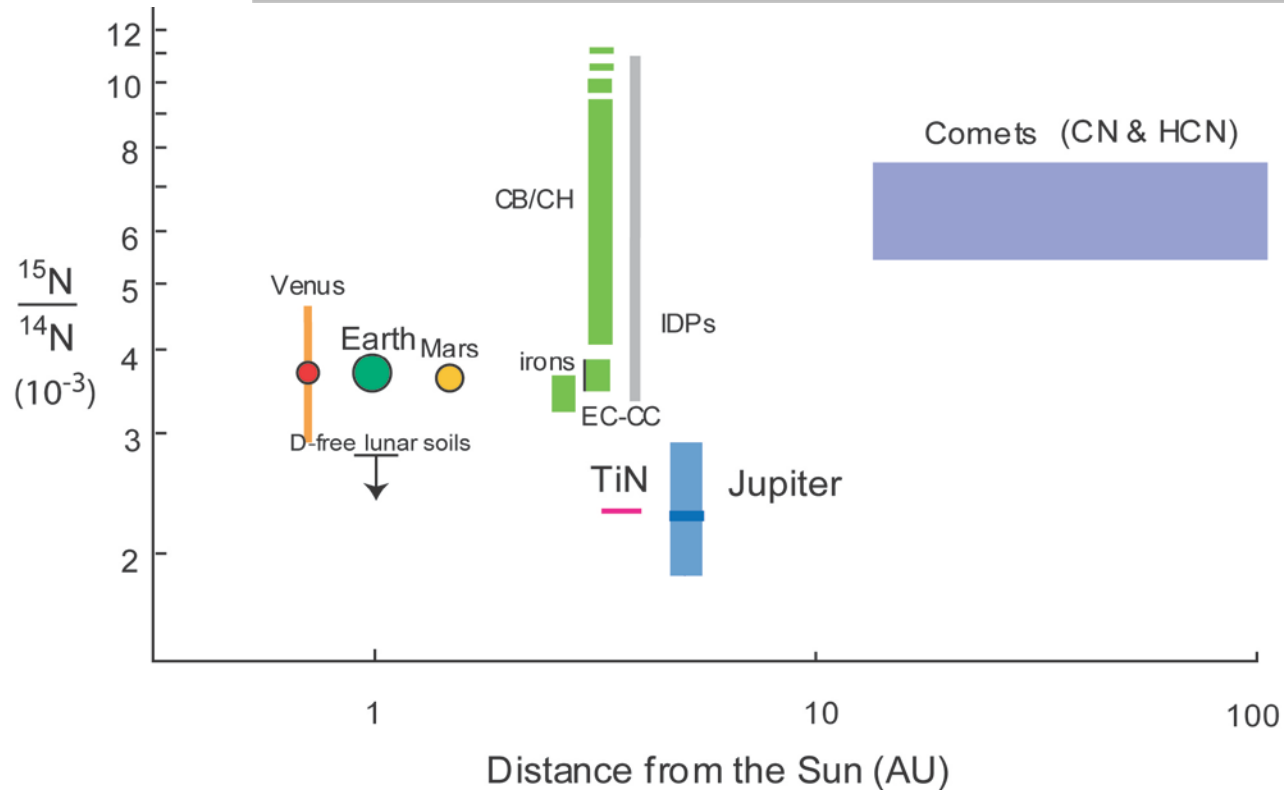


réactions photo-chimiques de type auto-écrantage (self shielding) (Thiemens & Heidenreich, 1983) (Clayton, 2002)

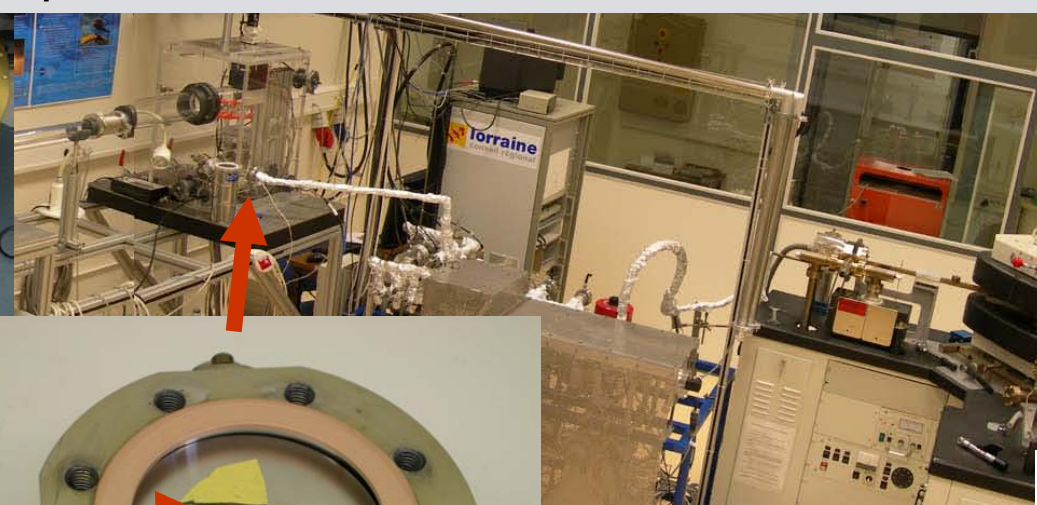
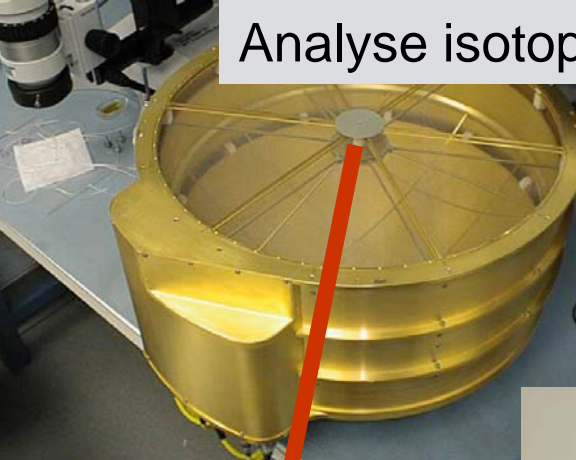
→ interactions entre le gaz et l'irradiation précoce + intense du Soleil jeune.

Cosmochimie isotopique de l'azote

- 2 isotopes :
Atmosphère ^{14}N : 272, ^{15}N : 1
- Origines stellaires différentes
- Principalement dans la matière organique, les nitrures, et les atmosphères planétaires

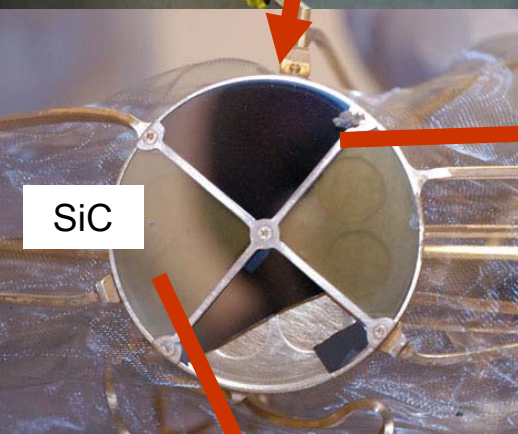


Analyse isotopique de l'azote de Genesis au CRPG à Nancy

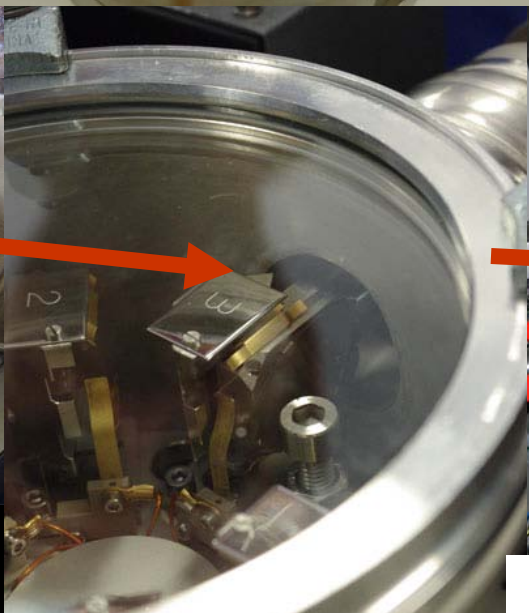
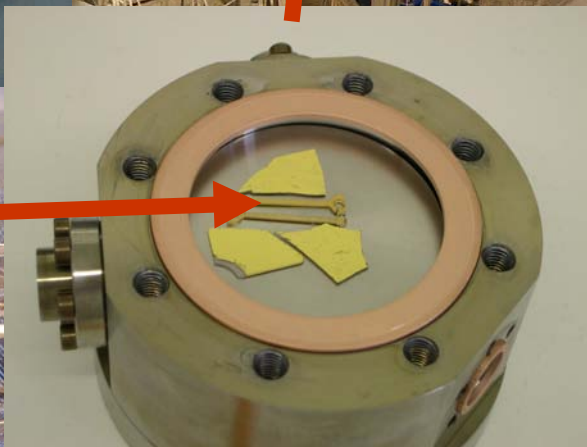


Pete Burnard & Laurent Zimmermann

Laser ablation – static mass spectrometry



SiC

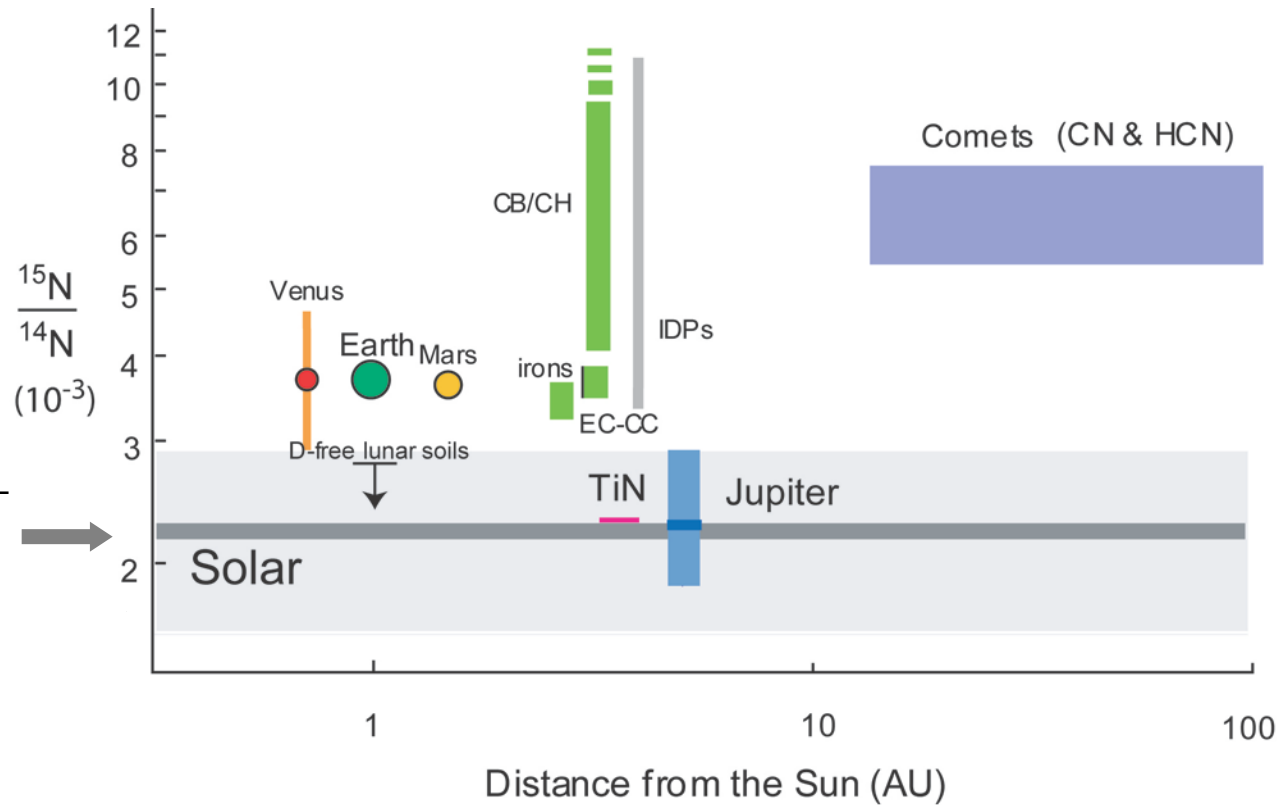


Ions 1280 HR2 ion probe

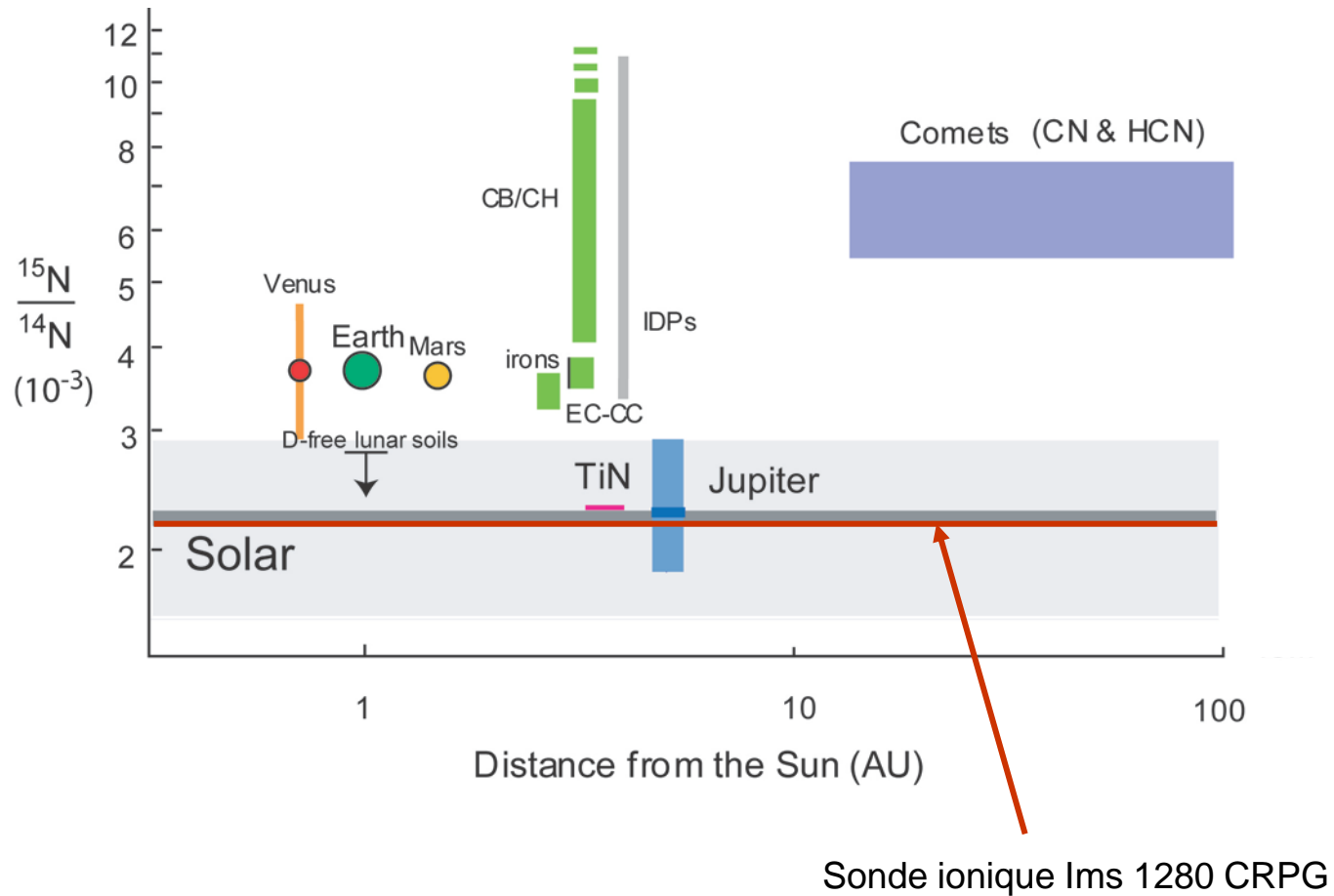


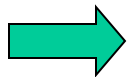
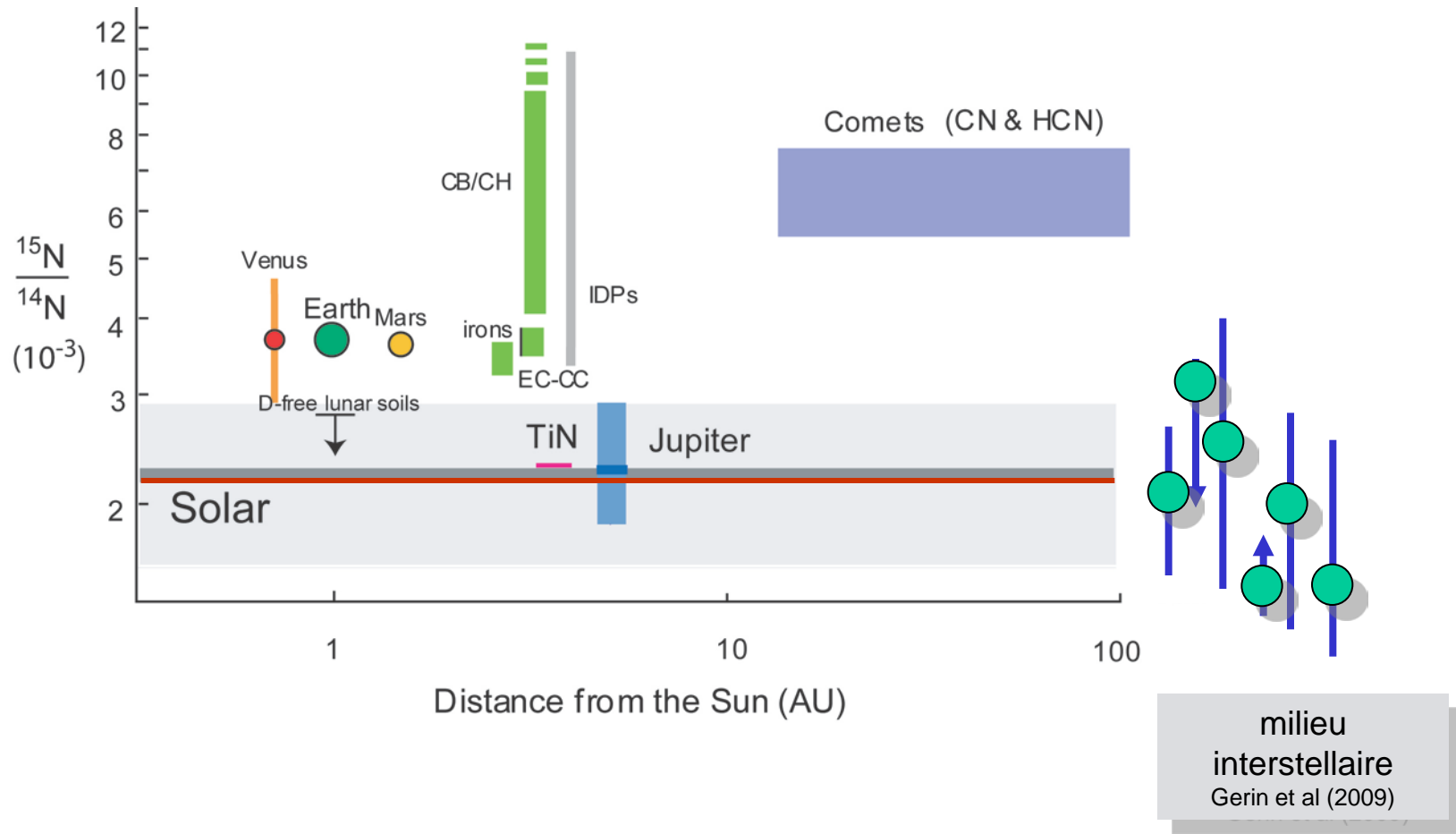
Marc Chaussidon

Cosmochimie isotopique de l'azote



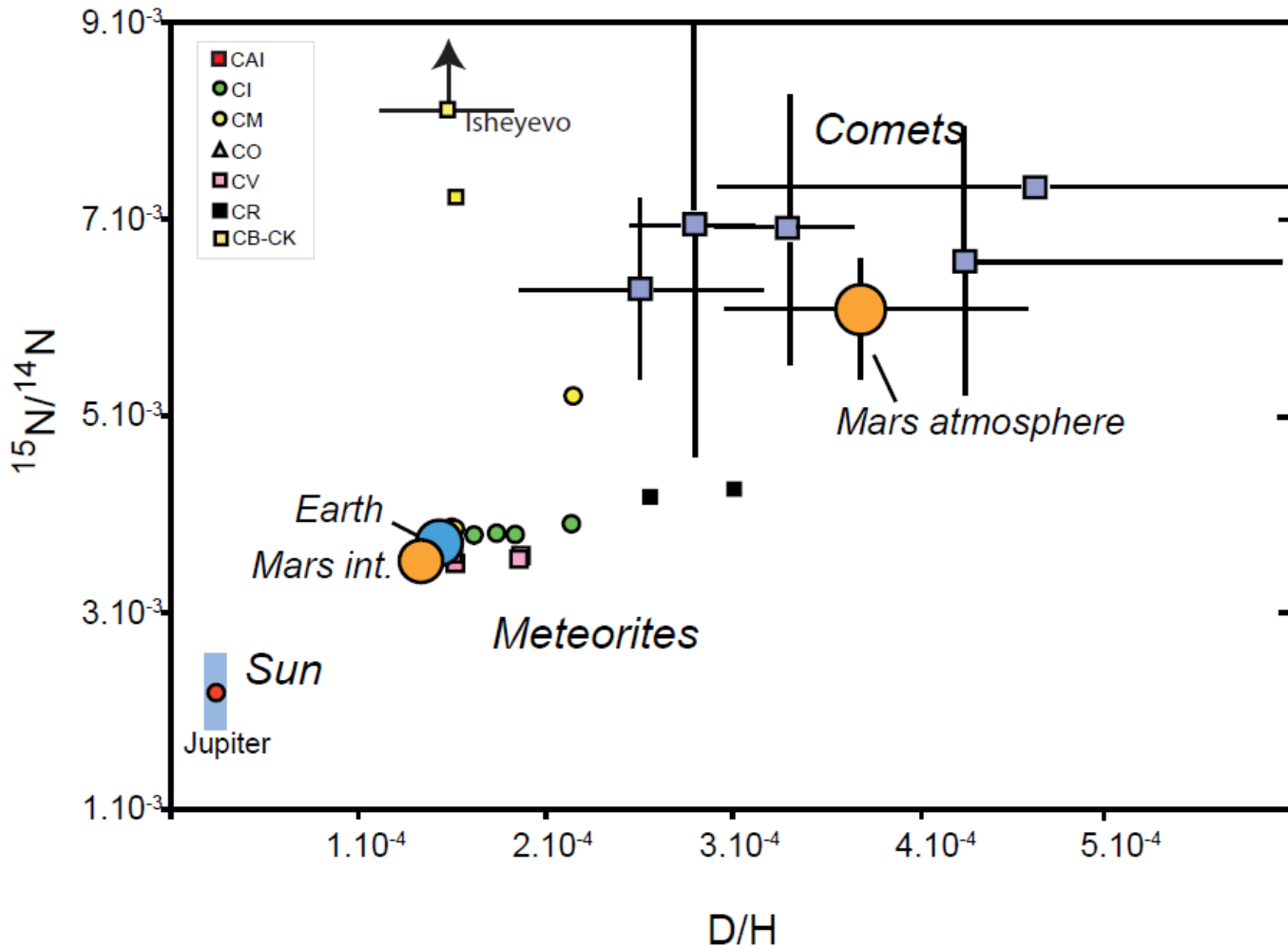
Cosmochimie isotopique de l'azote





Les enrichissements en ^{15}N ont été produits
 dans le système solaire

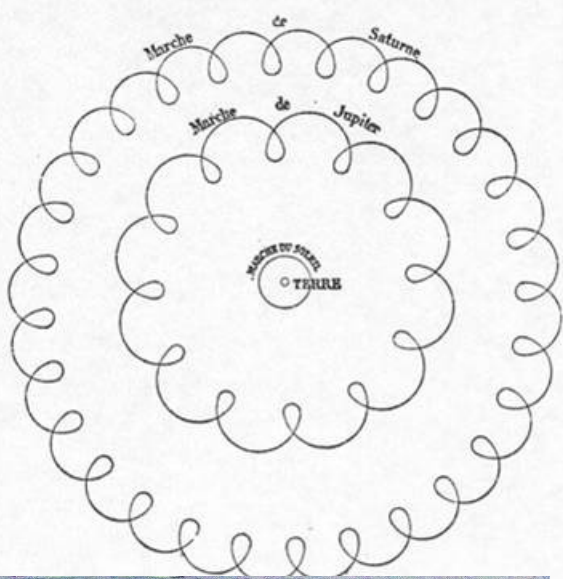
Origine des océans : source astéroïdale et non cométaire



- Tous les réservoirs cosmochimiques échantillonnés (à part Jupiter) sont anormaux
- Il faut maintenant comprendre la cause de ces variations isotopiques très importantes capables d'enrichir les solides en ^{17}O , ^{18}O , et ^{15}N , par rapport aux majeurs ^{16}O et ^{14}N

Intéactions matière-rayonnement aux confins du système solaire ?

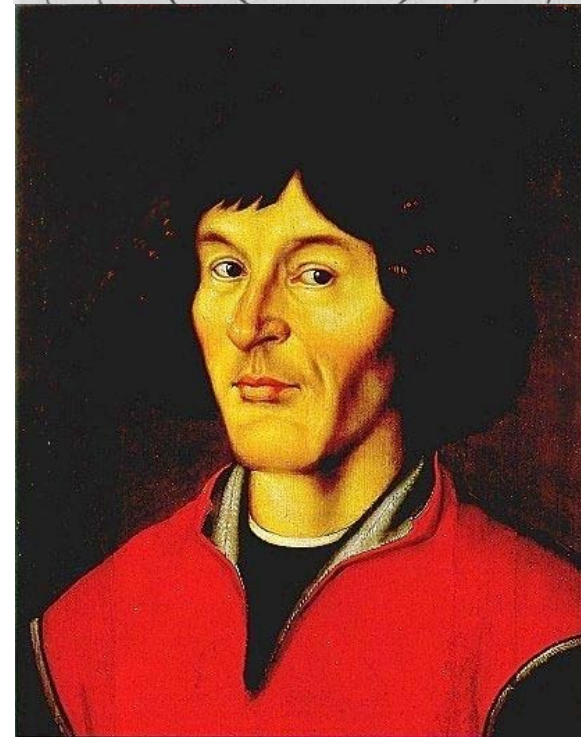
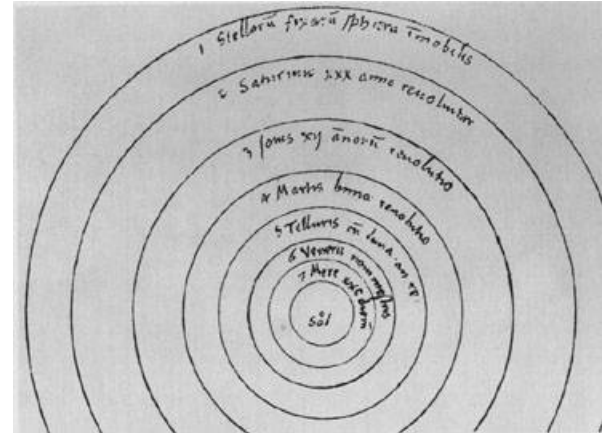




Ptolémée 90-168.

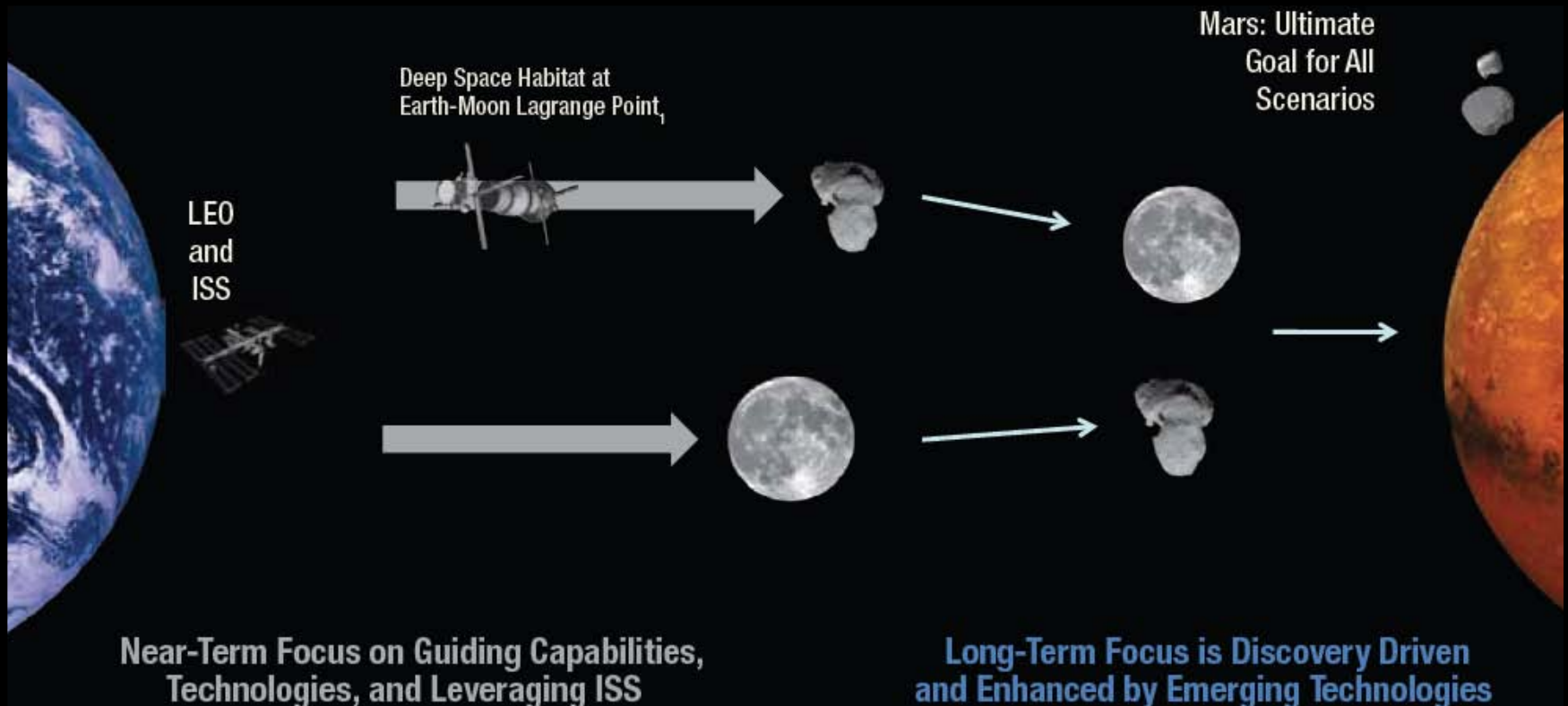
Il aura fallu 14 siècles pour passer d'une vision ptoléméenne d'un système centré sur la Terre à une vision copernicienne centrée sur le Soleil

Et 3 décennies pour s'en convaincre dans le cas des isotopes !



Nicolas Copernic (1473-1543)

La route de l'exploration du système solaire

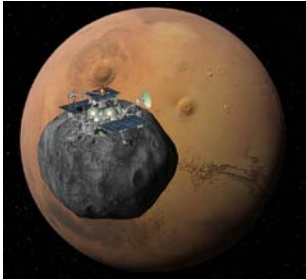


Prochaines missions de retours d'échantillons



Osiris-Rex : NASA, Retour d'échantillon d'un astéroïde primitif

Départ en 2016, retour en 2023



Phobos-Grunt : Agence spatiale russe, collab. CNES, retour d'échantillon de Phobos, l'une des deux lunes de Mars,

Départ en 2011



Marco-Polo-R : ESA, retour d'échantillon d'un astéroïde primitif, peut être un noyau cométaire,

Sélectionnée, en concurrence avec 3 autres missions, décision fin 2013, départ en 2021, retour en 2026



Hayabusa 2, JAXA, astéroïde primitif

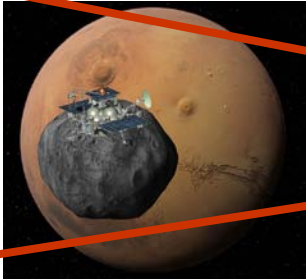
Départ en 2014

Prochaines missions de retours d'échantillons



Osiris-Rex : NASA, Retour d'échantillon d'un astéroïde primitif

Départ en 2016, retour en 2023



Phobos-Grunt : Agence spatiale russe, collab. CNES, retour d'échantillon de Phobos, l'une des deux lunes de Mars,

Départ en 2011



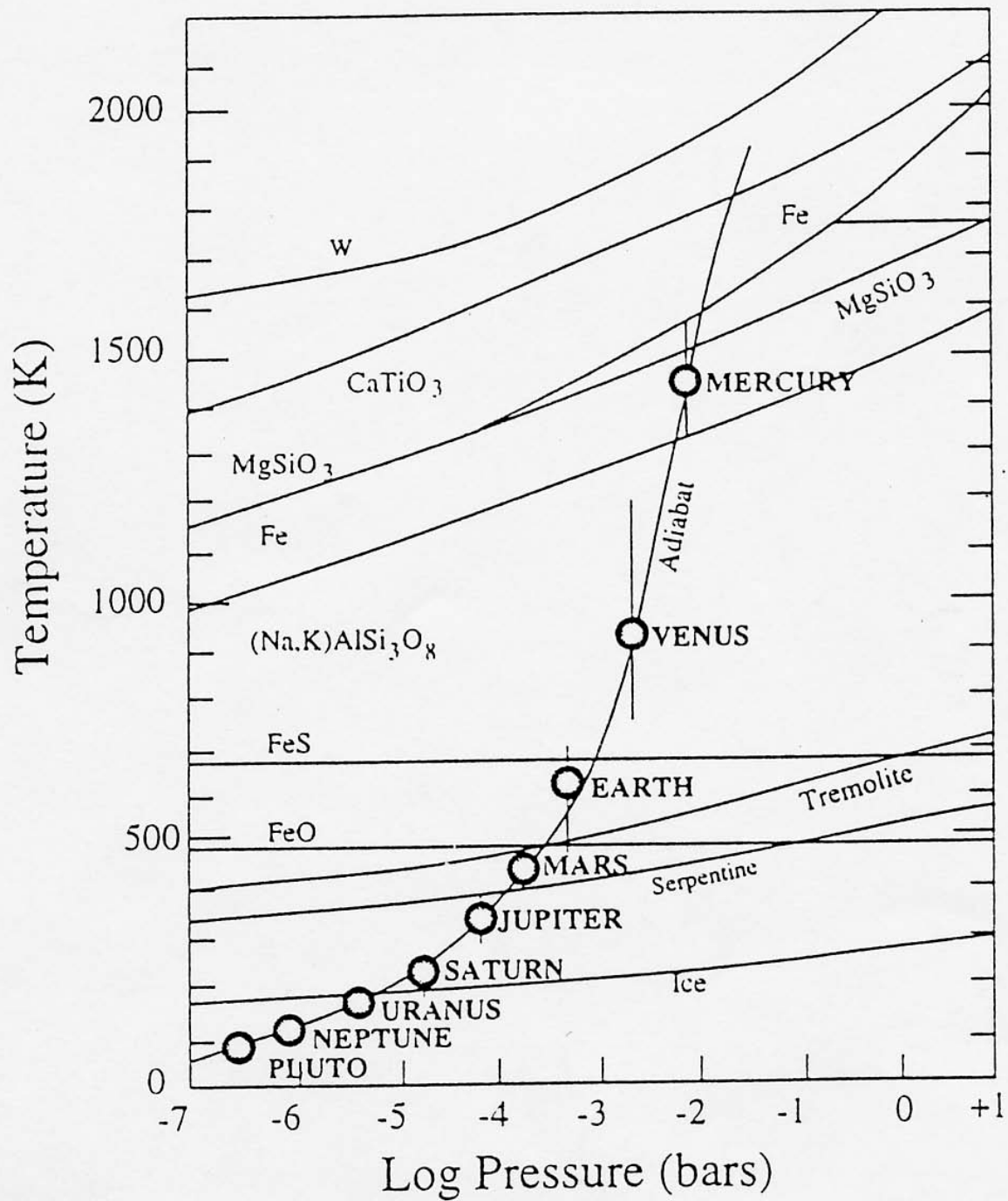
Marco-Polo-R : ESA, retour d'échantillon d'un astéroïde primitif, peut être un noyau cométaire,

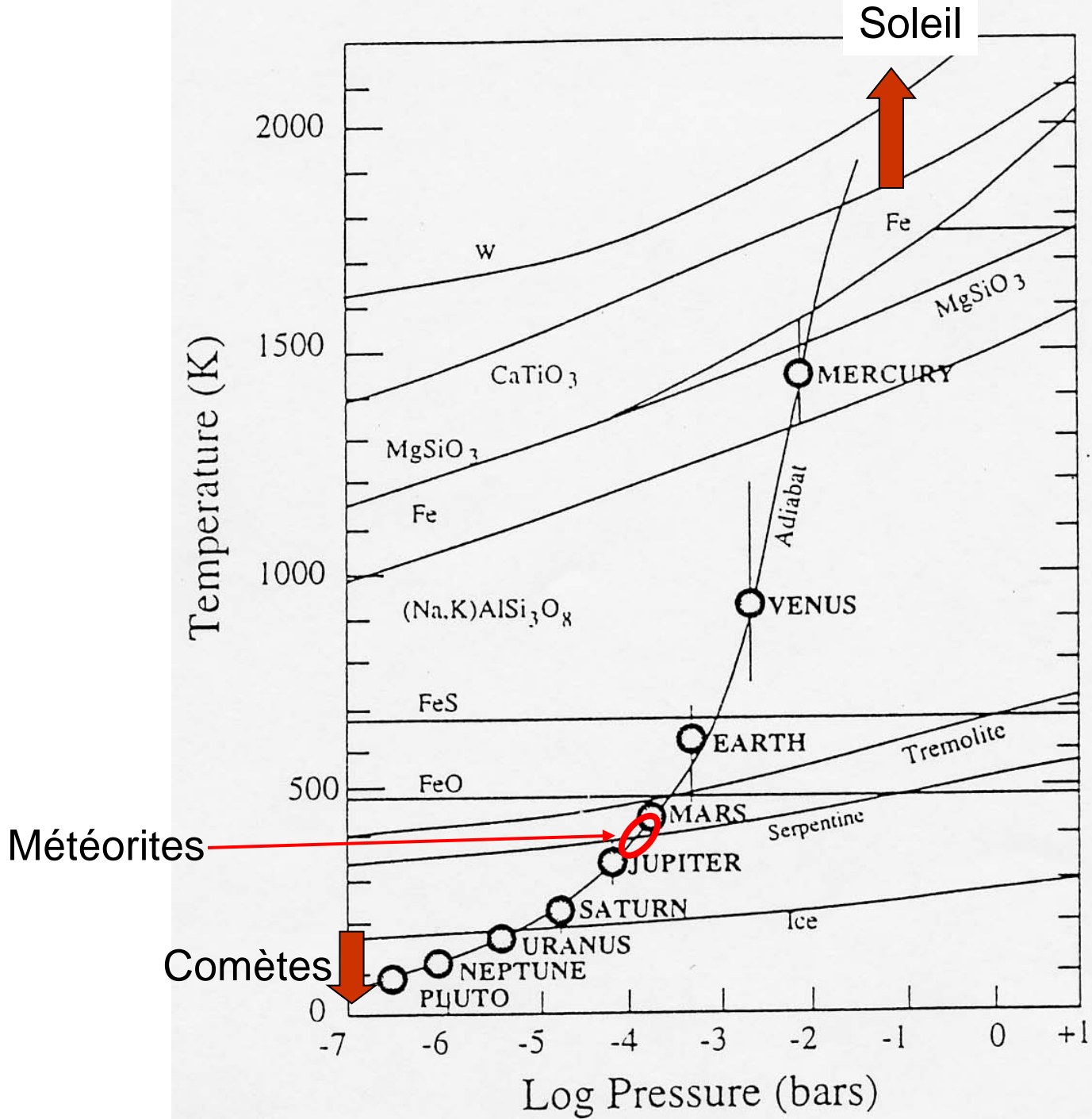
Sélectionnée, en concurrence avec 3 autres missions, décision fin 2013, départ en 2021, retour en 2026



Hayabusa 2, JAXA, astéroïde primitif

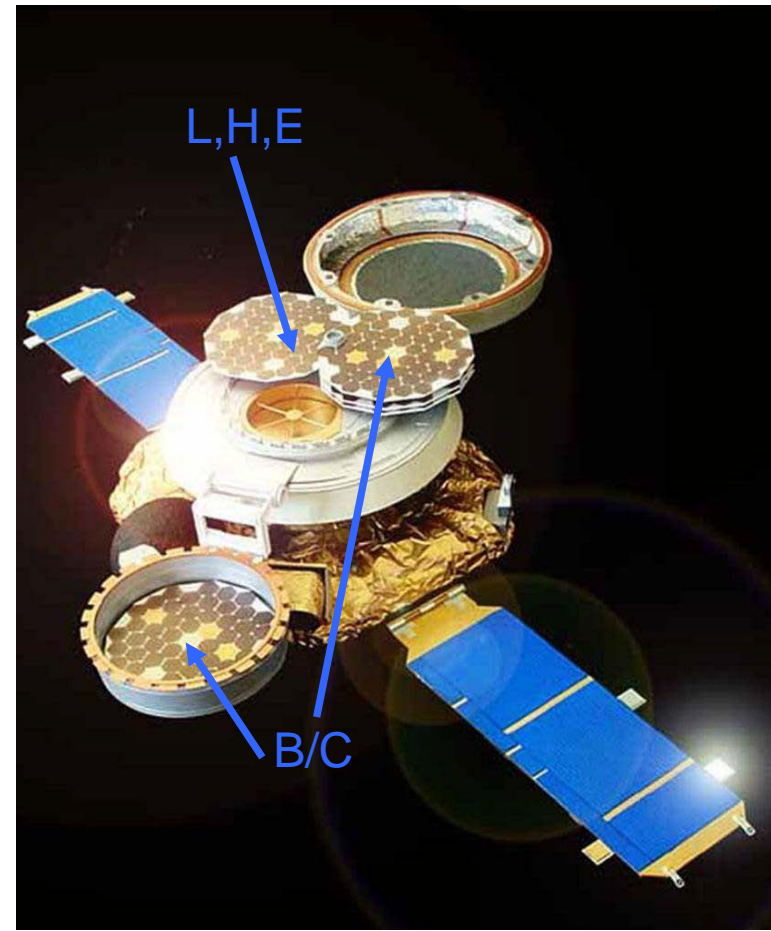
Départ en 2014

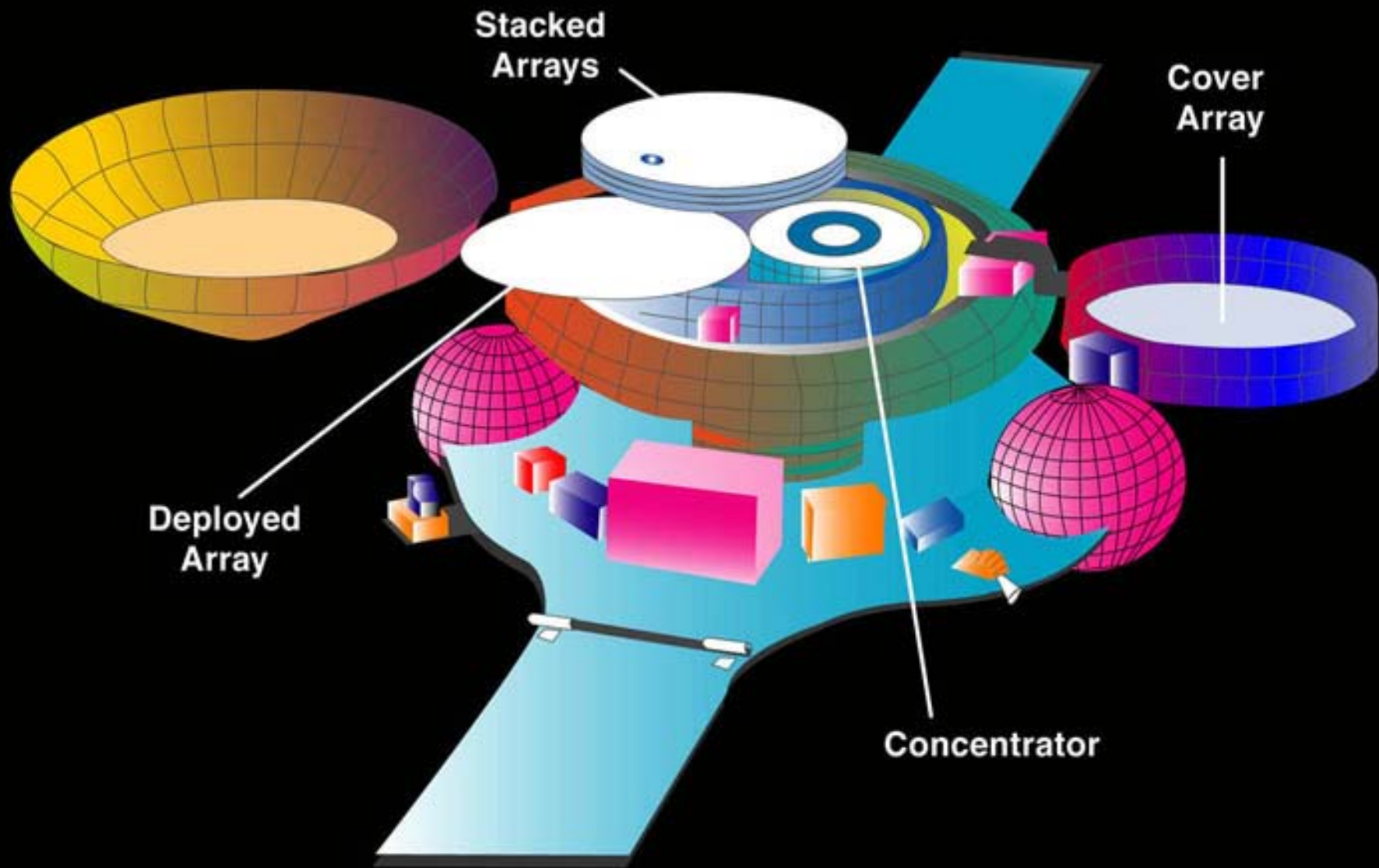




Vent solaire échantillonné spécifiquement à plusieurs énergies

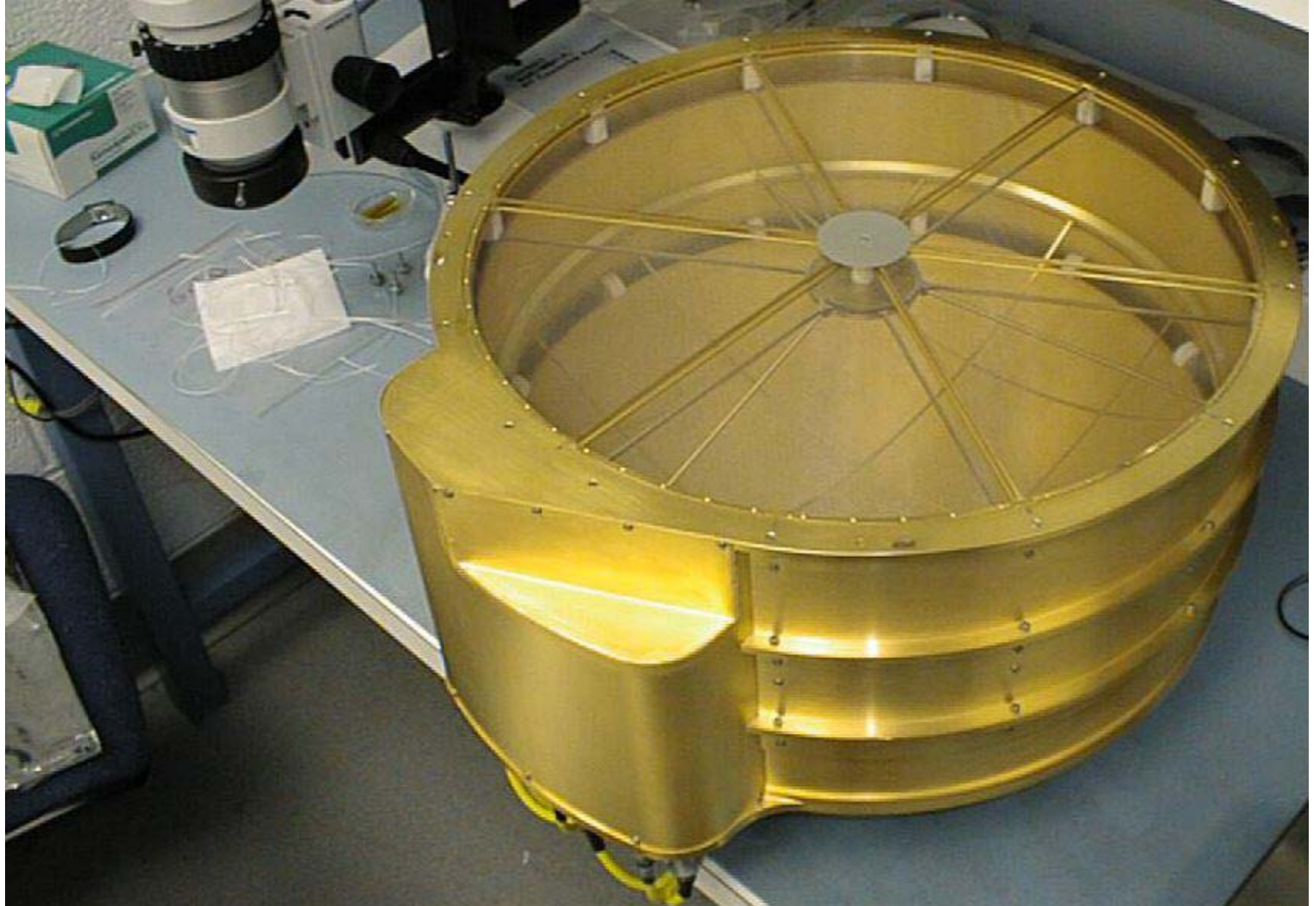
Array	Description	Days exposed
B/C	bulk solar wind	852.83
H	high-speed (500-800 km/s)	313.01
L	low-speed (<500 km/s)	333.67
E	coronal mass ejection (CME)	193.25



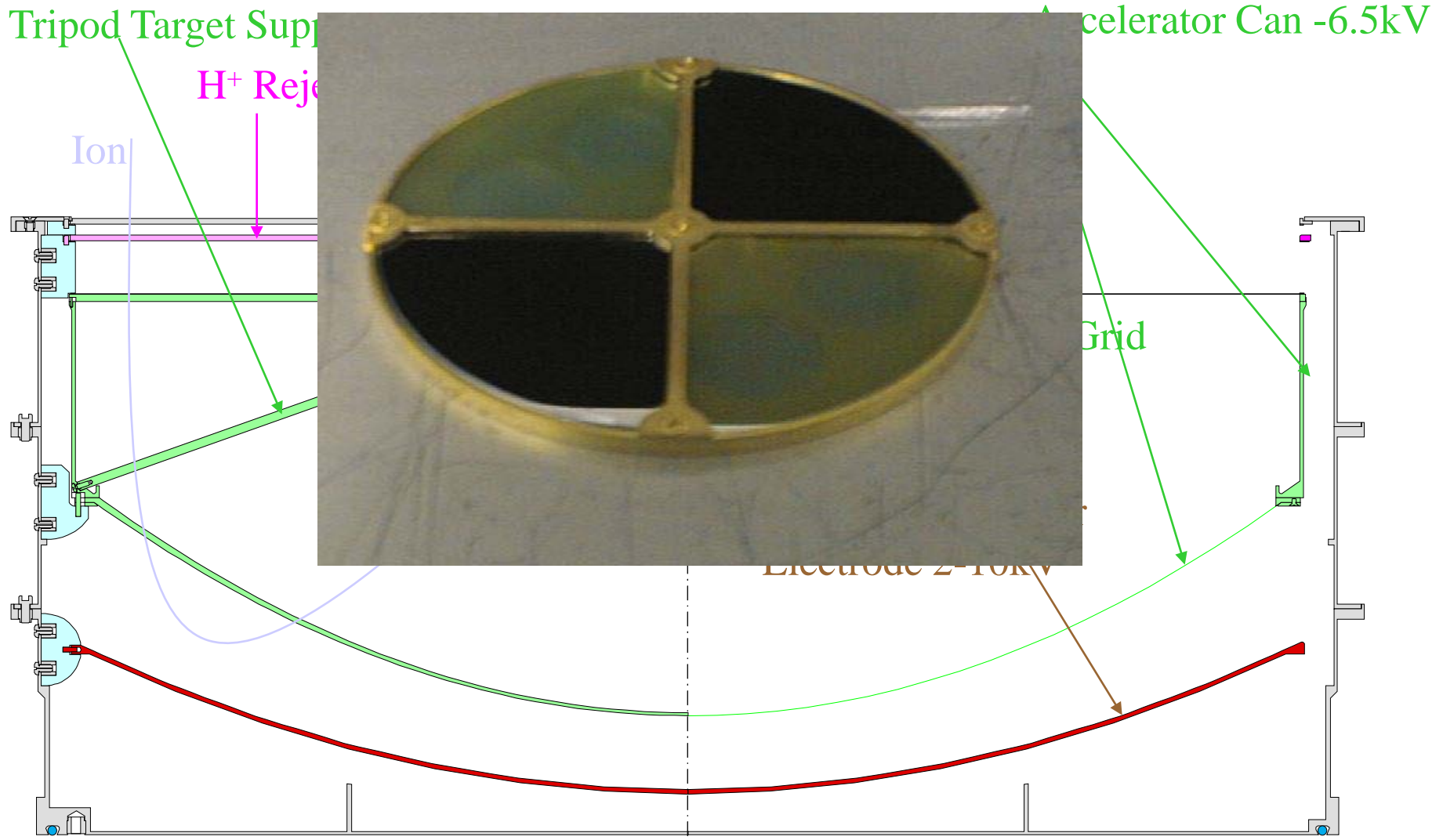




1/2/1998



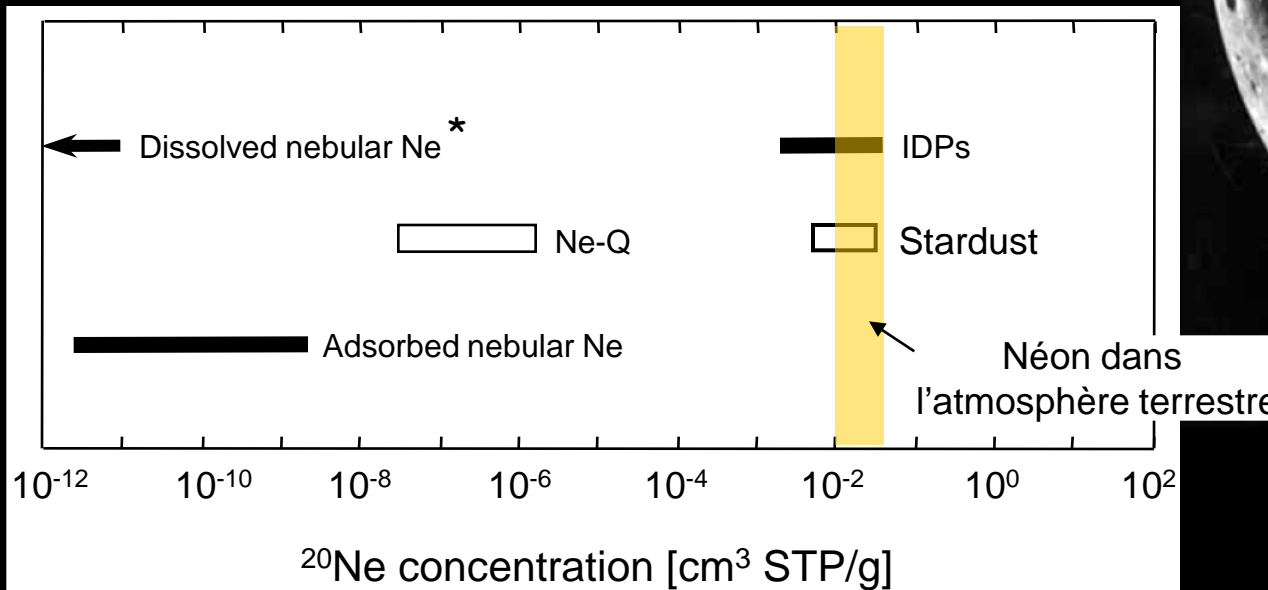
Concentrator Cross-section

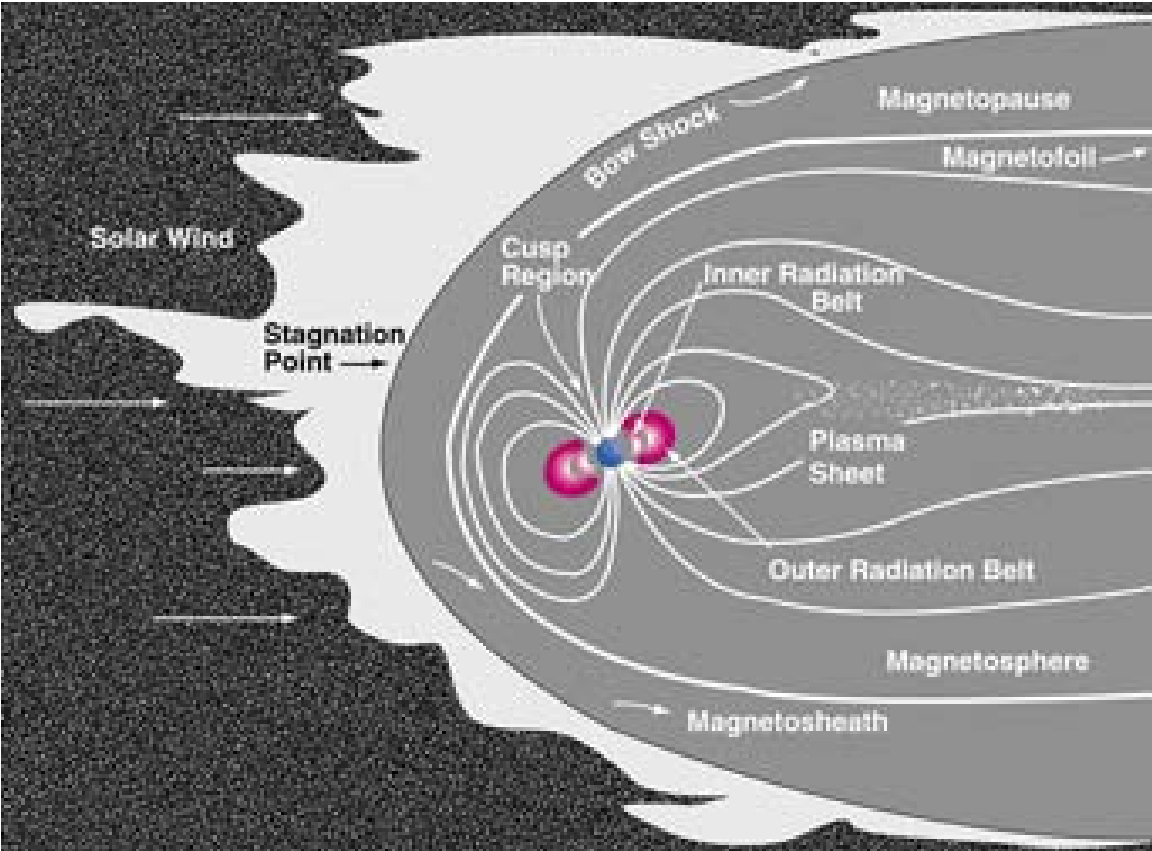


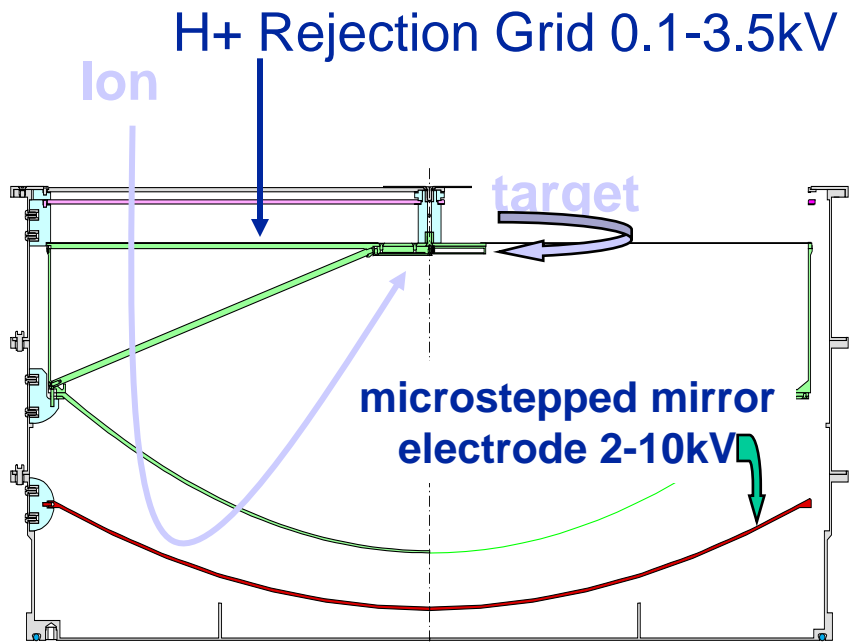
**Stardust au CRPG : très riche en gaz rares
Contribution significative aux gaz rares des atmosphères planétaires**



Apollo and Luna landing sites
Lick Observatory
Photograph

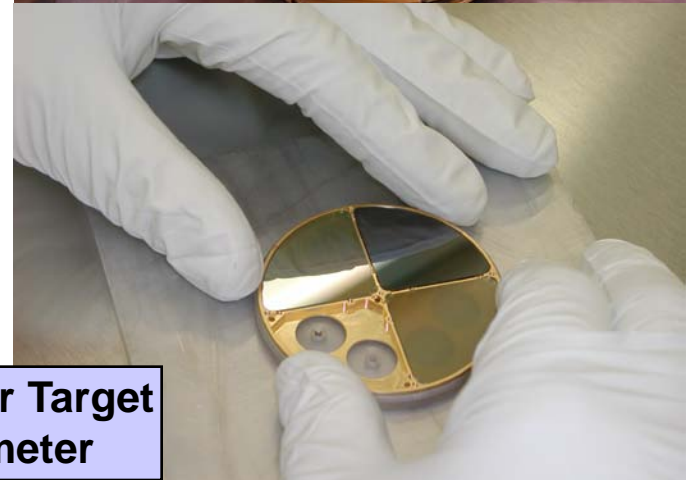
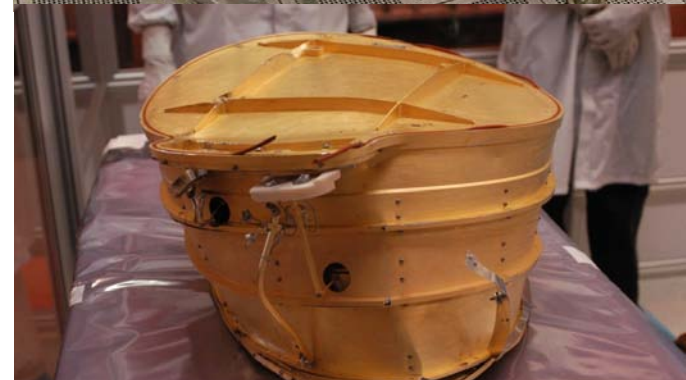




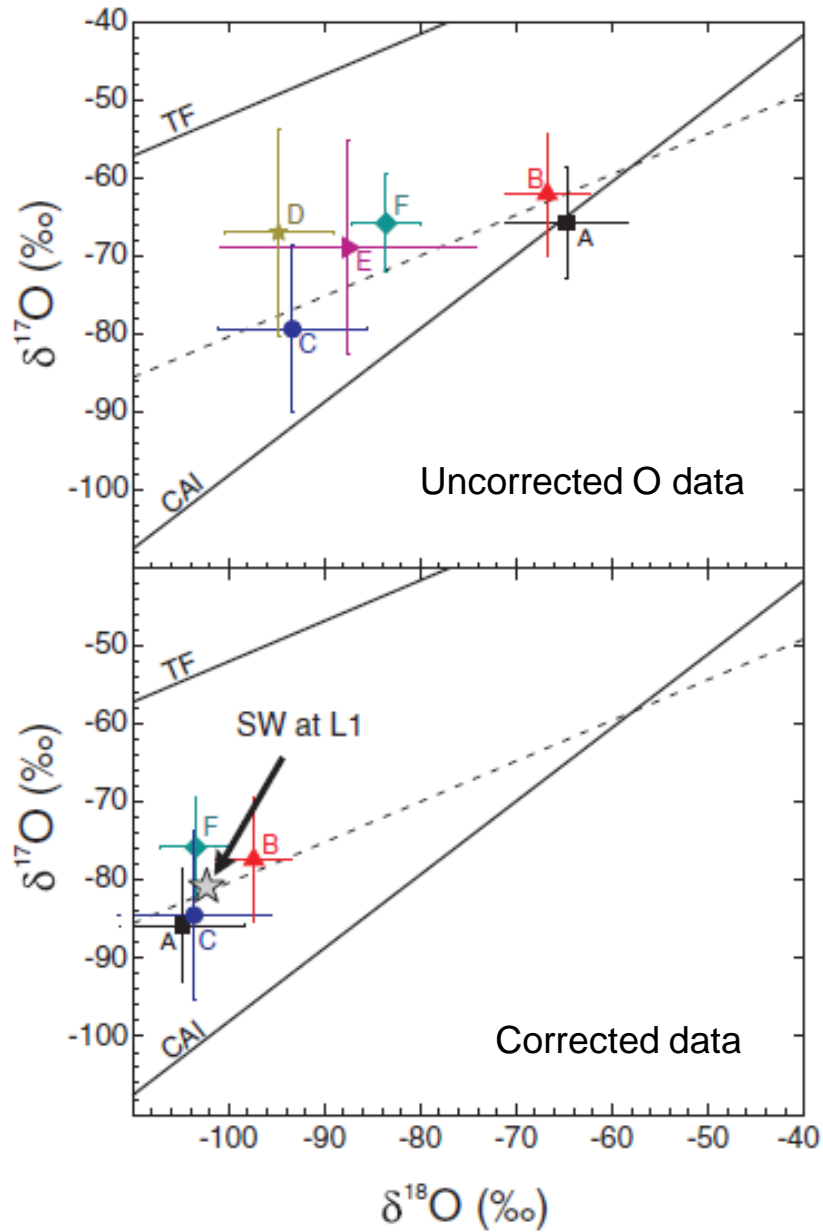


Target materials:

- Silicon Carbide
- diamond-like C film
- ^{13}C CVD Diamond

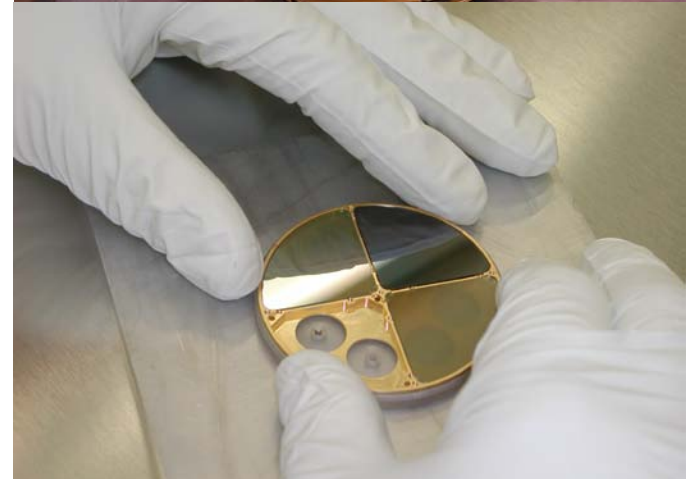
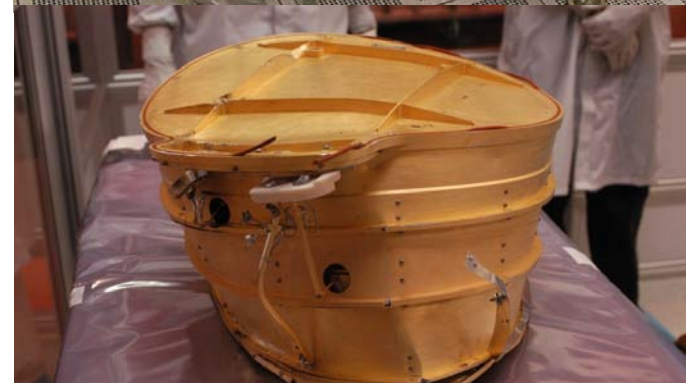


**Concentrator Target
6 cm diameter**

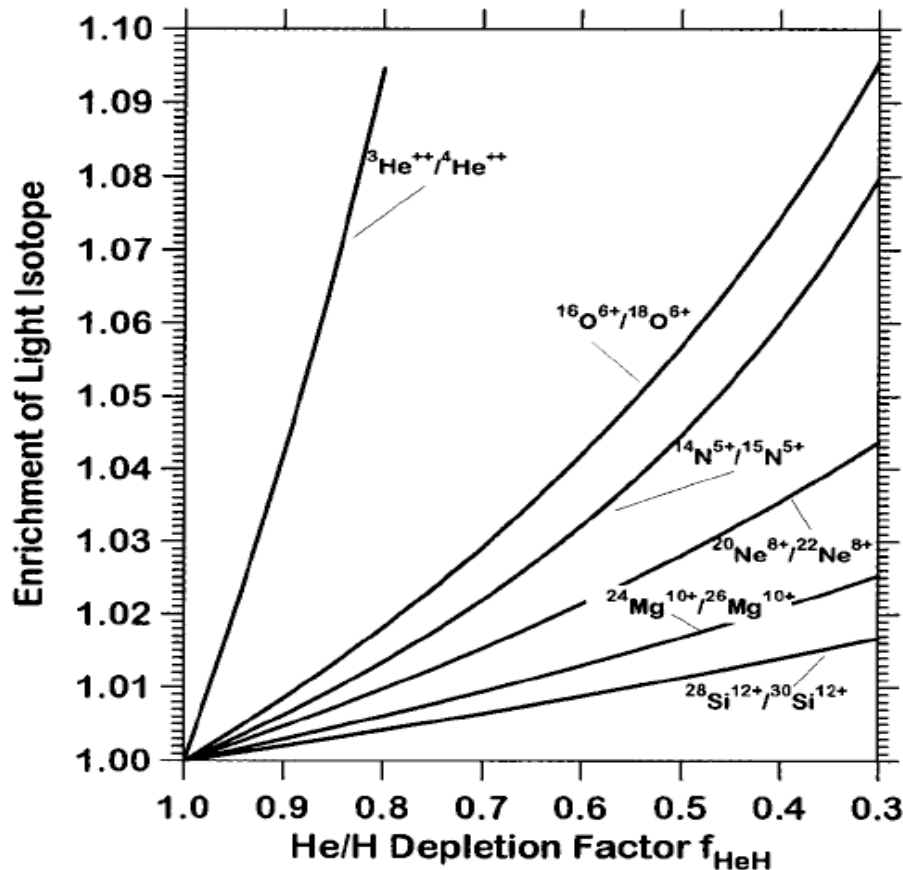


SiC quadrant analyzed for O and N isotopes

O isotope data corrected for Concentrator's fractionation using Ne isotopes analyzed at ETH zurich along the same radius



Bochsler (2000) Coulomb Drag Model

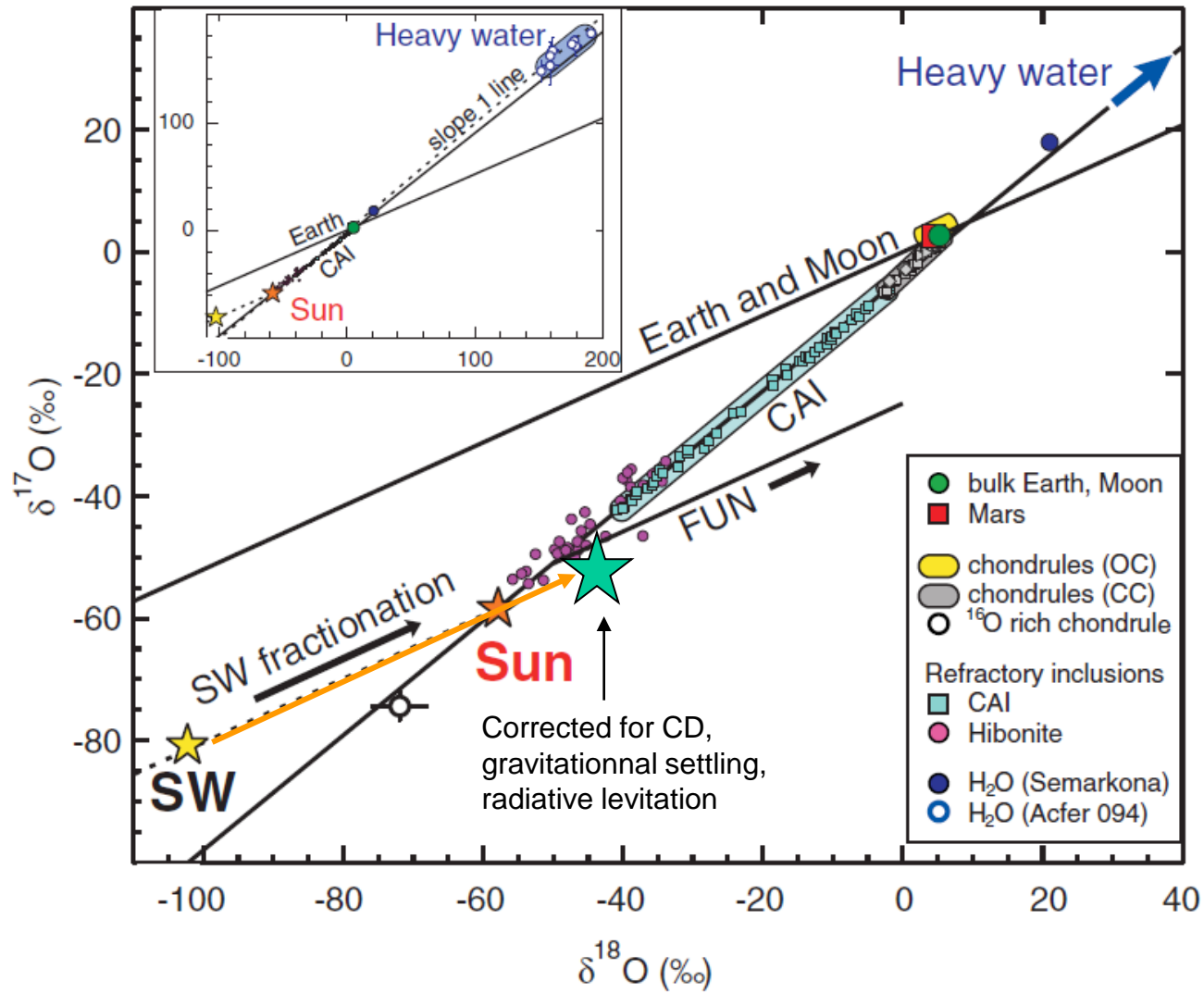


All solar wind samples are depleted in He/H *elemental* relative to helioseismology solar ratio by about a factor of 2.5.

Model *assumes* that all He/H fractionation all due to Coulomb Drag.

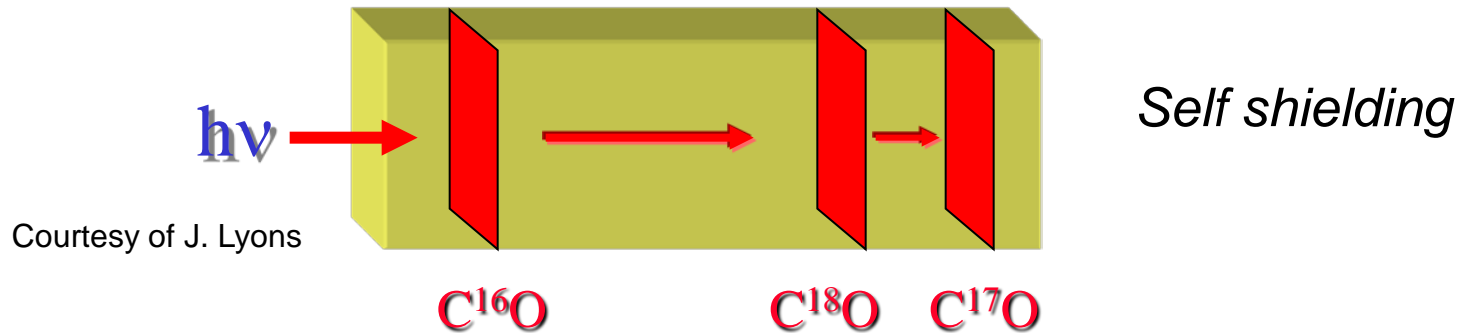
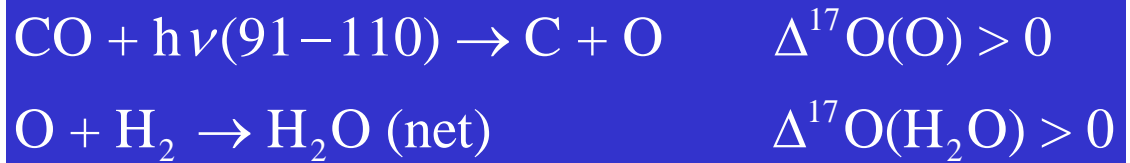
With this assumption, fractionations for other isotope ratios can be calculated.

Figure 5. Expected isotope fractionation factors associated with He/H depletion factors. For instance, a depletion of He/H to 30% of its normal value in the equatorial streamer belt implies an enhancement of the $^{28}\text{Si}^{12+}/^{30}\text{Si}^{12+}$ ratio up to 1.7% over its normal coronal value.



Origin of the oxygen isotope anomaly

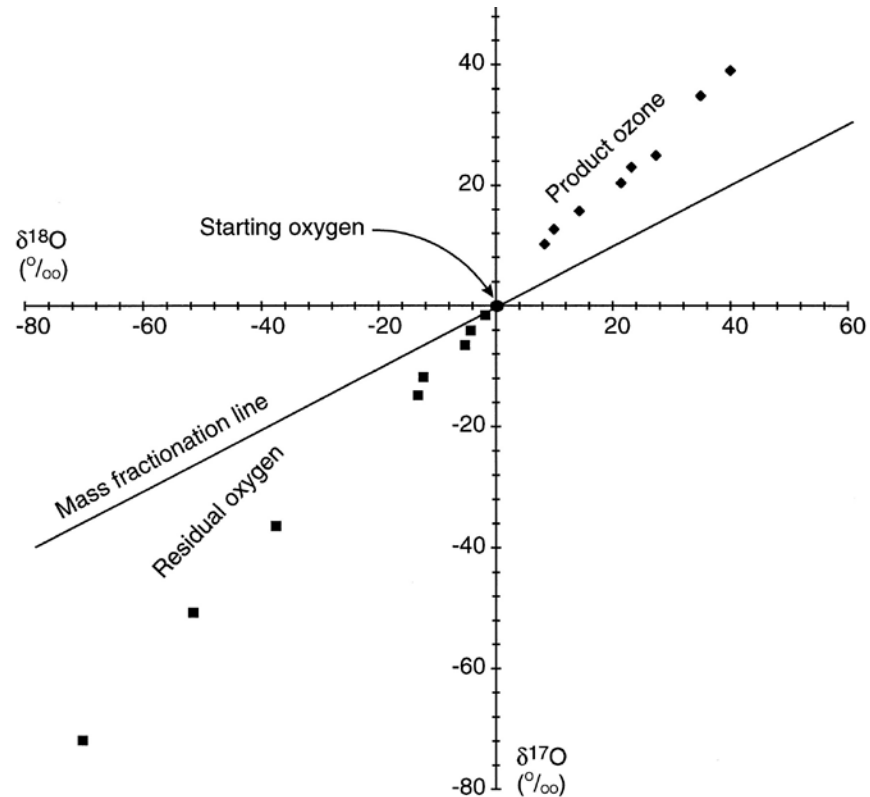
- Requires process(es) able to increase ^{17}O and ^{18}O at equal rates
- Injection of nucleosynthetic ^{16}O unlikely (and no correlation with other isotope anomalies in cations (^{32}Si , ^{48}Ca , ^{50}Ti , ^{26}Al , etc.))
- Photodissociation of CO
transfert of signal to H_2O



- Could take place either at the disk surface through illumination by nearby stars (Lyons & Young, 2005), or in the collapsing cloud core (Yurimoto & Kuramoto, 2004)

Origin of the oxygen isotope anomaly

- The issue of having $(^{17}\text{O}/^{16}\text{O})/(^{18}\text{O}/^{16}\text{O})$ equal exactly to 1 or not
- Absorption bands for predissociation of CO are, or are not, self-shielding
- requires more precise absorption cross sections in the bandwidths of interest
- “mass-independent” anomalies with a slope of 1 can be produced by some gas-phase chemical reactions (e.g., ozone production, Thiemens et al., 1999)



*experimental data
from Thiemens, 1999*